

Computergrafik

Vorlesung im Wintersemester 2024/25

**Kapitel 8: Prozedurale Modelle,
Texturen & Geometrie**

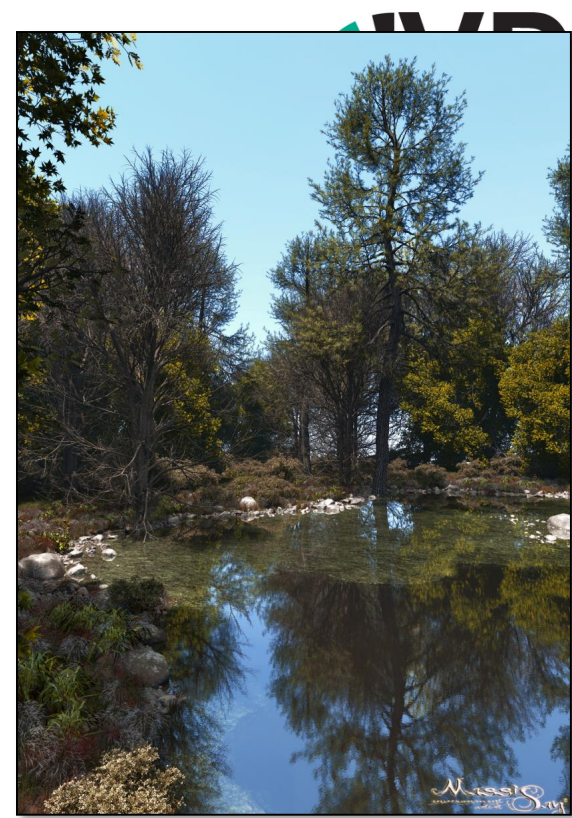
Prof. Dr.-Ing. Carsten Dachsbacher
Lehrstuhl für Computergrafik
Karlsruher Institut für Technologie



Überblick

Motivation: prozedurale Modellierung

- ▶ Erzeugung von großen Szenen/viel Content
- ▶ kompakte(re) Beschreibung statt Speicherung
- ▶ kein Übertragen/Streaming großer Daten:
Berechnung „am Ort“, ggf. zur Laufzeit
(z.B. auch auf der GPU)



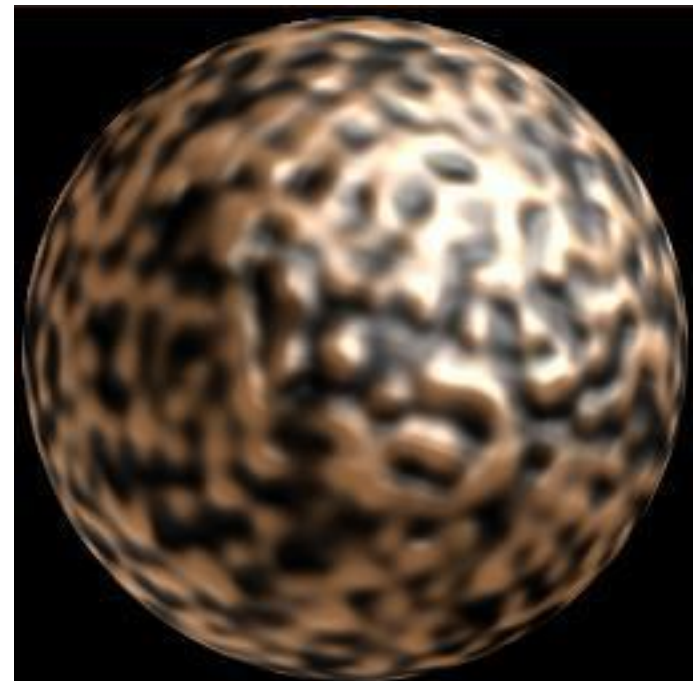
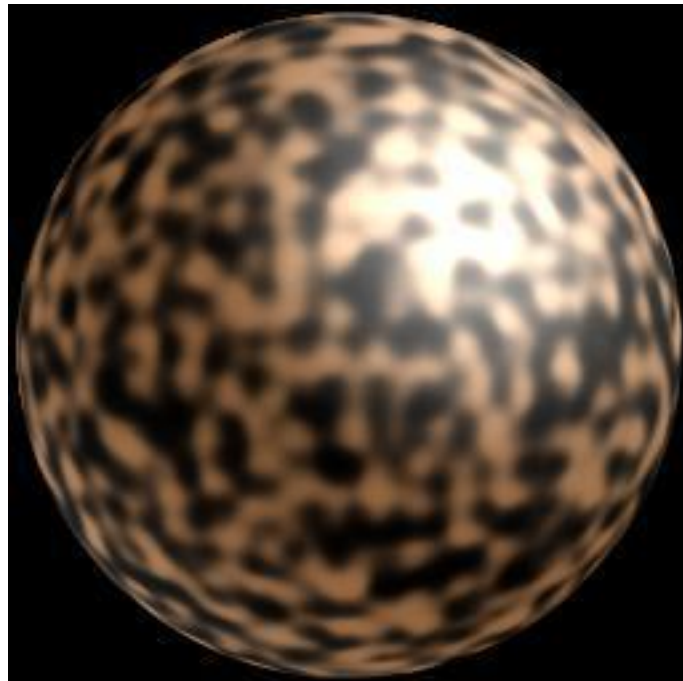
- ▶ Rauschen, Turbulenz und prozedurale Texturen
 - ▶ nachbilden von natürlichen Phänomenen, aber Zufall („Rauschen“) statt phys. Simulation, z.B. Wolken, Wasseroberfläche, Terrain, ...
 - ▶ Rausch-/Noise Texturen: Rauschen ist ein Signal mit bestimmter Energie in einem Frequenzbereich → „spektrale Synthese“
- ▶ Hypertextures und Distanzfelder
- ▶ Textursynthese
- ▶ L-Systeme



Rauschen und Rauschtexturen

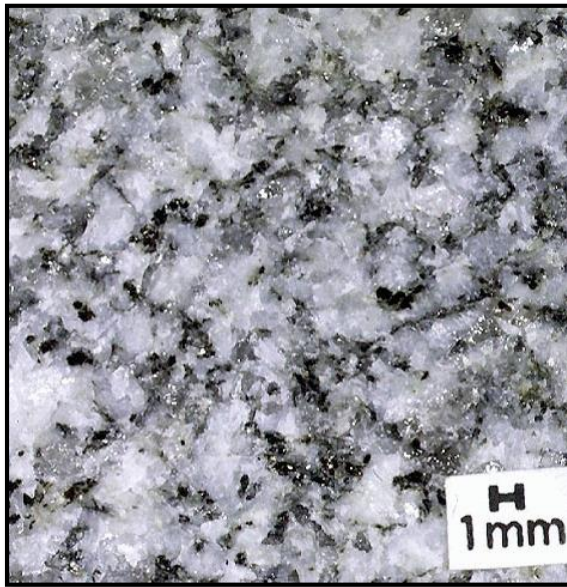
Noise-Funktionen nach Ken Perlin (1985)

- ▶ ...die Grundlage für stoch. Modellierung/proz. Texturen
- ▶ die Basis bilden **Pseudo-Zufallszahlen** aus denen wir Bilder mit den gewünschten Eigenschaften erzeugen
- ▶ Perlin erhielt einen „Academy Award for Technical Achievement“ der „Academy of Motion Picture Arts and Sciences“ (1997) für seine Arbeit über prozeduraler Texturierung mit Noise- und Turbulenz-Funktionen



Motivation

- ▶ natürliche Objekte zeigen stochastische Variationen – auf unterschiedlichen Längenskalen – bei räumlicher Kohärenz
- ▶ versuche solche zufälligen Strukturen aus Rauschtexturen/-funktionen mit unterschiedlichen Frequenzspektren zu berechnen (Turbulenz)



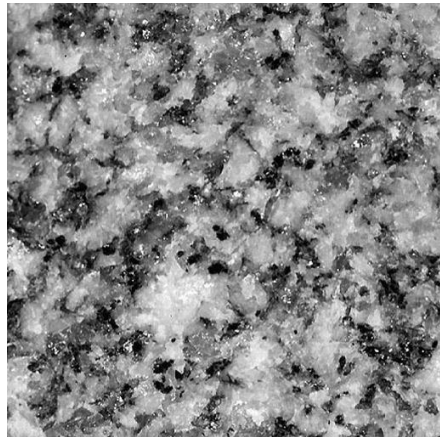
Granit



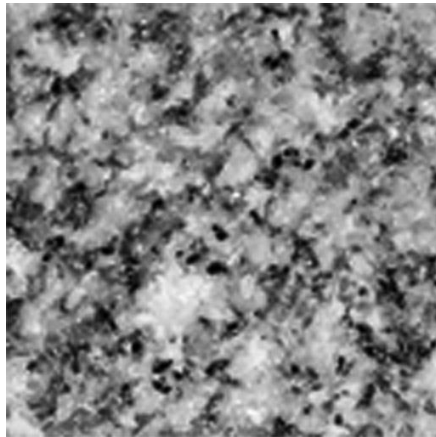
Marmor

Rauschtexturen und Strukturen

Motivation: Auflösungspyramide Granittextur

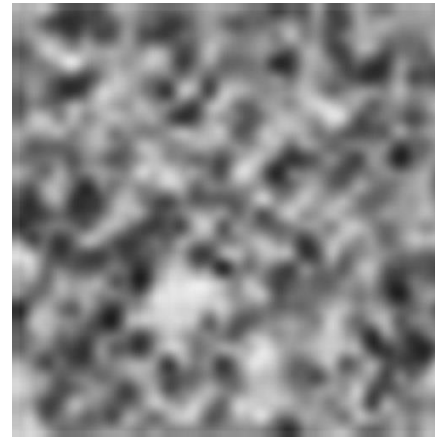


512^2

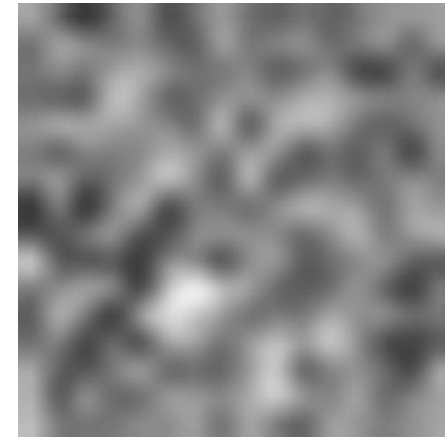


256^2

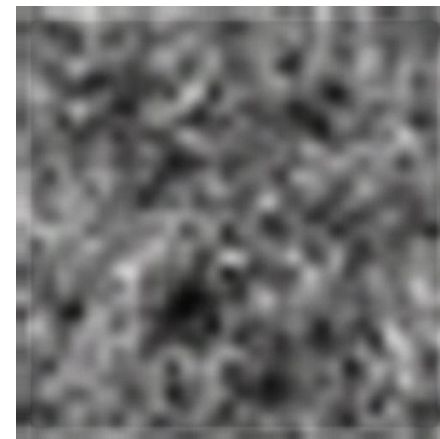
...



32^2



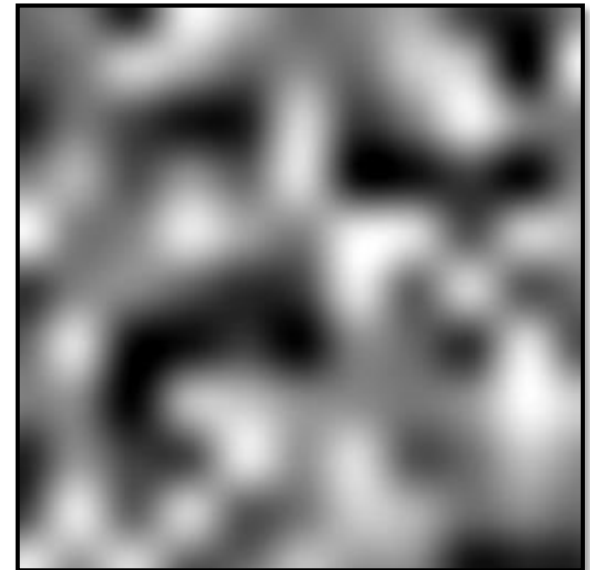
16^2



Differenz 32^2 und 16^2

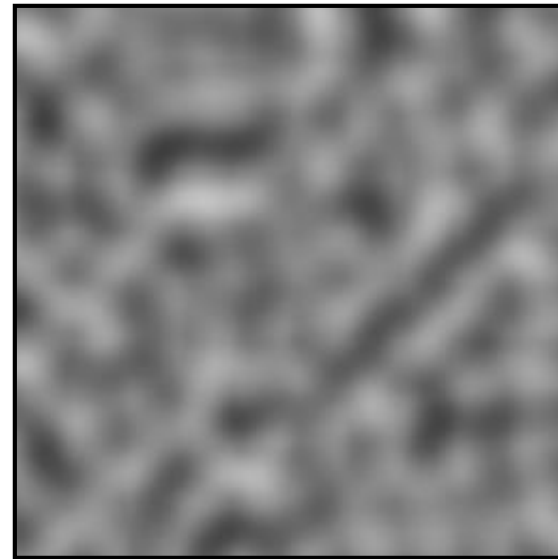
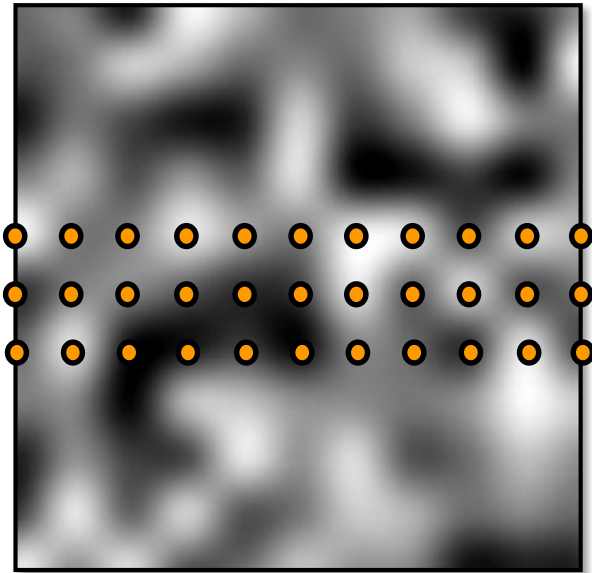
Eigenschaften/Anforderungen

- ▶ Rausch-/Noise-Funktion $n(\mathbf{x}) = c$ mit $\mathbf{x} \in \mathbb{R}^n$, $c \in \mathbb{R}$
 - ▶ reproduzierbar: $n(\mathbf{x})$ liefert für jede Auswertung bei gleichem \mathbf{x} dasselbe Resultat
 - ▶ keine Periodizität (zumindest nicht sichtbar)
 - ▶ begrenzter Wertebereich (Abb. auf Farben etc.)
 - ▶ definierte Frequenzverteilung, bandlimitiert (Aliasing reduzieren)
 - ▶ Stetigkeit, räumliche Korrelation: $n(\mathbf{x}) \approx n(\mathbf{x} + \epsilon)$
(hängt mit Bandbegrenzung zusammen)



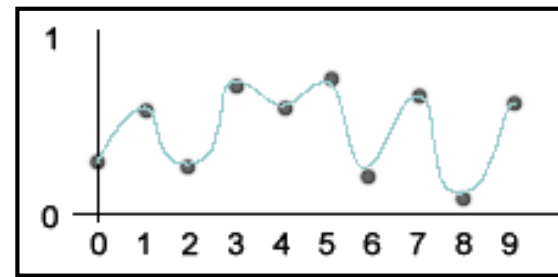
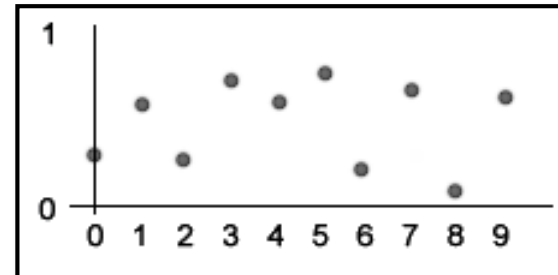
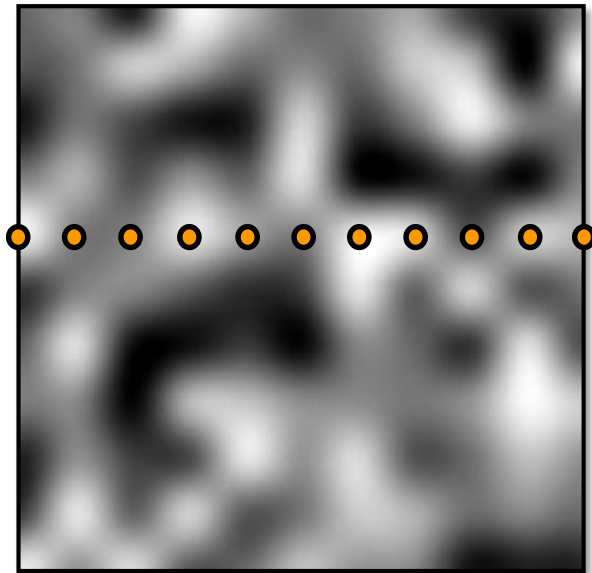
Noise-Funktionen nach Ken Perlin (1985)

- ▶ ...die Grundlage für stochastische Modellierung/prozedurale Texturen
- ▶ die Basis bilden **Pseudo-Zufallszahlen** aus denen wir Bilder mit den gewünschten Eigenschaften erzeugen
- ▶ es gibt zwei häufig verwendete Klassen von Noise-Funktionen:
 - ▶ Lattice Value Noise (lattice value = Werte auf einem 1D/2D/3D-Gitter)
 - ▶ Lattice Gradient Noise (Grad. statt Absolutwerte, nicht i.d. Vorlesung)



Noise-Funktionen nach Ken Perlin (1985)

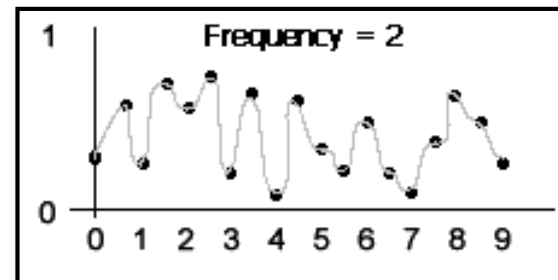
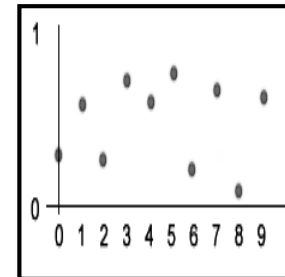
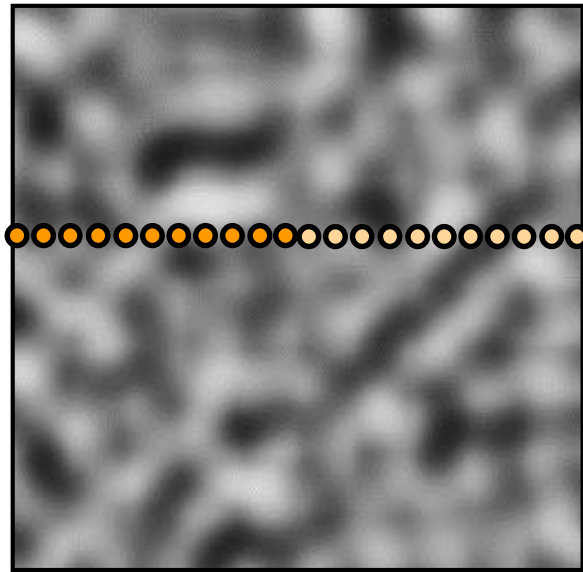
- ▶ ...die Grundlage für stochastische Modellierung/prozedurale Texturen
- ▶ die Basis bilden **Pseudo-Zufallszahlen** aus denen wir Bilder mit den gewünschten Eigenschaften erzeugen
- ▶ es gibt zwei häufig verwendete Klassen von Noise-Funktionen:
 - ▶ Lattice Value Noise (lattice value = Werte auf einem 1D/2D/3D-Gitter)
 - ▶ Lattice Gradient Noise (Grad. statt Absolutwerte, nicht i.d. Vorlesung)



$$n(x) \in [0; 1]$$

Noise-Funktionen nach Ken Perlin (1985)

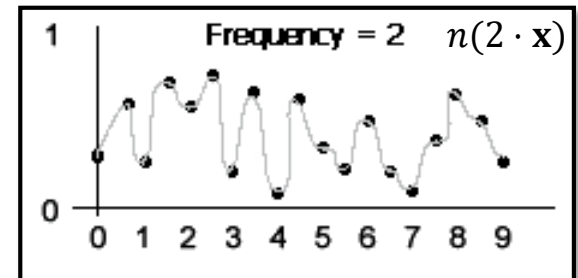
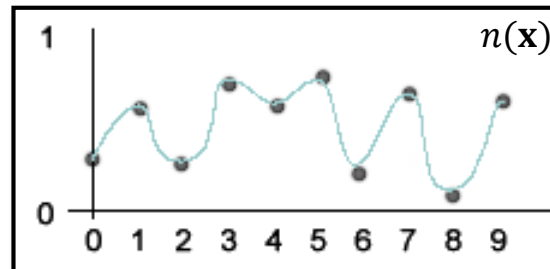
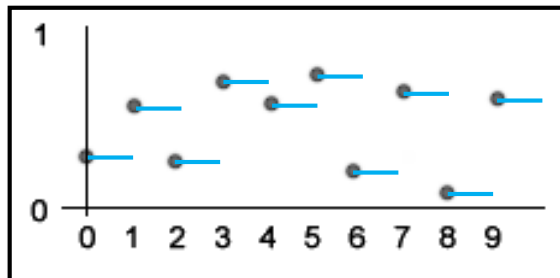
- ▶ ...die Grundlage für stochastische Modellierung/prozedurale Texturen
- ▶ die Basis bilden **Pseudo-Zufallszahlen** aus denen wir Bilder mit den gewünschten Eigenschaften erzeugen
- ▶ es gibt zwei häufig verwendete Klassen von Noise-Funktionen:
 - ▶ Lattice Value Noise (lattice value = Werte auf einem 1D/2D/3D-Gitter)
 - ▶ Lattice Gradient Noise (Grad. statt Absolutwerte, nicht i.d. Vorlesung)



$$n(2x) \in [0; 1]$$

(Pseudo-)Zufallszahlen auf einem Gitter

- ▶ Abbildung $\mathbf{x} = (x, y, z) \in \mathbb{R}^3 \mapsto Z \in [0; 1]$ mit $Z(\mathbf{x}) := \text{random}(\lfloor x \rfloor, \lfloor y \rfloor, \lfloor z \rfloor)$, d.h. Komponenten von \mathbf{x} abgerundet
 - ▶ nicht glatt sondern stückweise-konstant (unendlich hohe Frequenzen)
- ▶ räumliche Korrelation und Bandbegrenzung durch **Interpolation**
 - ▶ Noise-Funktion $n(\mathbf{x}) = \text{Interpolation zwischen den Werten von } Z(\mathbf{x})$
 - ▶ Bsp. in 1D: $n(x) = Z(x) \cdot (1 - f_x) + Z(x + 1) \cdot f_x$ mit $f_x = x - \lfloor x \rfloor$
 - ▶ in 2D/3D: bi-/trilineare Interpolation aus $Z(\mathbf{x})$, **besser bi-/trikubisch**
- ▶ unterschiedlicher Abstand liefert anderes Frequenzspektrum
 - ▶ z.B. $n(2 \cdot \mathbf{x})$ hat doppelt so hohe Frequenzen wie $n(\mathbf{x})$



Beispiel: Interpolation einer 3D-Noise-Funktion

- ▶ das menschliche Auge nimmt keine Unstetigkeiten in der Krümmung (2. Ableitung) wahr
 - ▶ (bi-/tri-)lineare Interpolation verursacht Bandeffekte wg. Unstetigkeit
 - ▶ kubische Interpolation ist zweimal stetig differenzierbar, also „glatt“

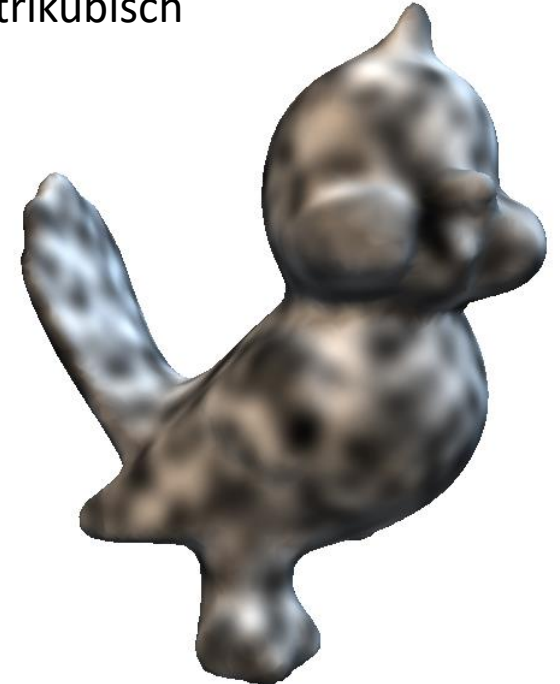
nearest neighbor



trilinear



trikubisch



(Pseudo-)Zufallszahlen auf einem Gitter in der Praxis

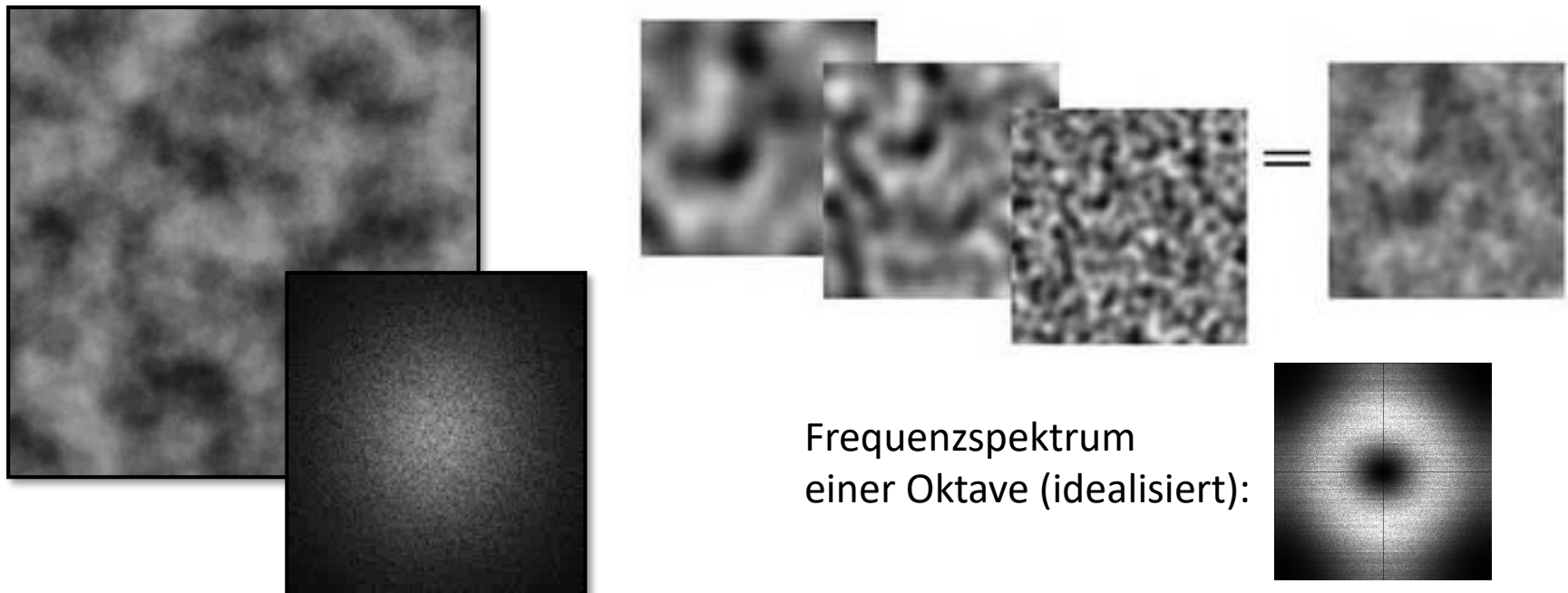
- ▶ **naiver Ansatz:** erzeuge großes 2D/3D Gitter gefüllt mit Zufallszahlen
 - ▶ $Z(\mathbf{x})$ gibt Werte aus dem Gitter zurück
 - ▶ ist natürlich unpraktisch wg. großer Datenmenge und Periodizität

- ▶ **eleganter:** erzeuge einmalig ein 1D-Array mit Zufallszahlen aus $[0; 1]$
 - ▶ z.B. `float rtab[256];`
 - ▶ verwende Hash-Funktion um darauf zuzugreifen:
$$Index(\lfloor x \rfloor, \lfloor y \rfloor, \lfloor z \rfloor) := P \left(\lfloor x \rfloor + P(\lfloor y \rfloor + P(\lfloor z \rfloor)) \right)$$
 - ▶ $P(\cdot)$ ist eine Permutation (z.B. bijektive Abbildung von i auf j mit $i, j \in [0, 255]$, d.h. $\lfloor \cdot \rfloor$ wird skaliert), vermeidet wiederholende Muster
 - ▶ **ergibt die Zufallszahlen für die Noise-Funktion:**
$$Z(\mathbf{x}) := rtab[Index(\lfloor x \rfloor, \lfloor y \rfloor, \lfloor z \rfloor)]$$
 mit $\mathbf{x} = (x, y, z)$

Spektrale Synthese: Kombination unterschiedlicher Frequenzbereiche

▶ $\text{turbulence}(\mathbf{x}) = \sum_k \left(\frac{1}{f}\right)^k n(f^k \cdot \mathbf{x})$

- ▶ Aufsummieren von k **Oktaven**, mit Amplitudenskalierung $\left(\frac{1}{f}\right)^k$
- ▶ höhere Oktaven erzeugen höherfrequente Anteile (= feinere Strukturen), deren Amplitude wird aber geringer
- ▶ hier: Frequenzspektrum $\frac{1}{f}$ (mit $f = 2$ erzeugt man „rosa Rauschen“)

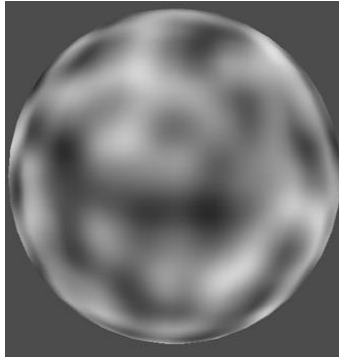


Rauschen und Turbulenz

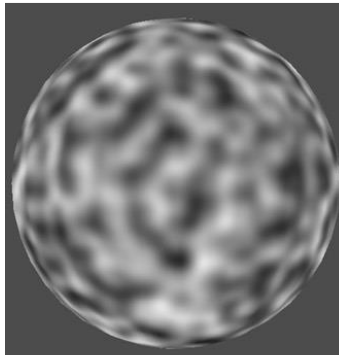
▶ Abbildung der Rausch-/Turbulenzfkt. häufig mittels einer Farbtabelle

Rauschfunktionen

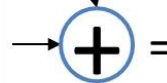
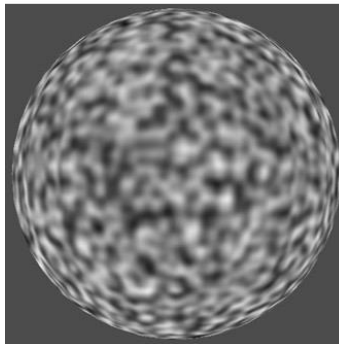
$n(\mathbf{x})$
niedrige Frequenzen



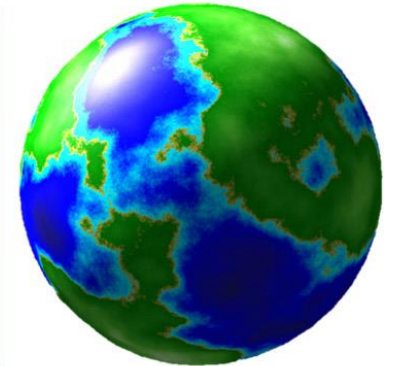
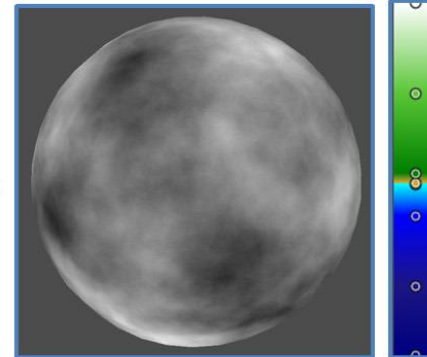
$n(2\mathbf{x})$
mittlere Frequenzen



$n(4\mathbf{x})$
hohe Frequenzen



Turbulenzfunktion
aus 3 Oktaven

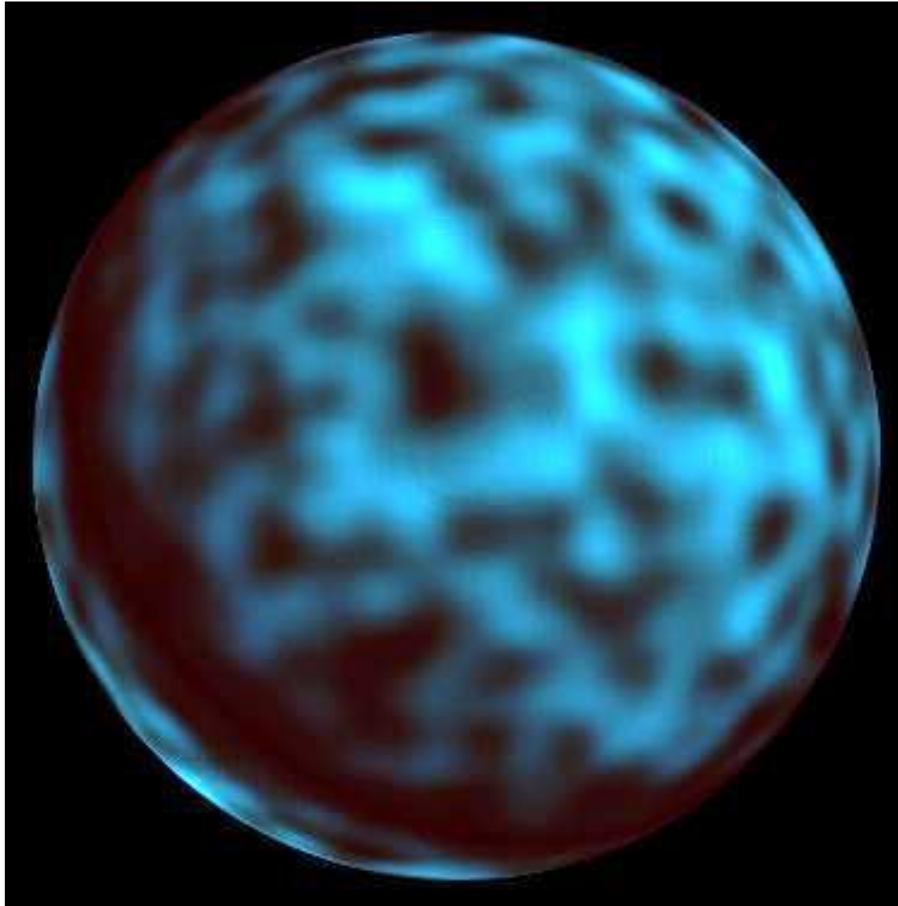


Beispiel

- ▶ einzelne Noise-Funktion (links) und Turbulenz mit k Oktaven (rechts)

$n(\mathbf{x})$

$$\sum_k \left(\frac{1}{f}\right)^k n(f^k \mathbf{x})$$



Turbulenz mit Strukturen (und Abb. auf Farbe)



- ▶ links: Turbulenz-Variante (Diskontinuitäten in Ableitung wg. Betrag)
- ▶ rechts: „Color-Mapping“ durch eine Sinus-Funktion

$$\sum_k \left(\frac{1}{f}\right)^k |2n(f^k \mathbf{x}) - 1|$$

$$\sin\left(x + \sum_k \left(\frac{1}{f}\right)^k n(f^k \mathbf{x})\right)$$



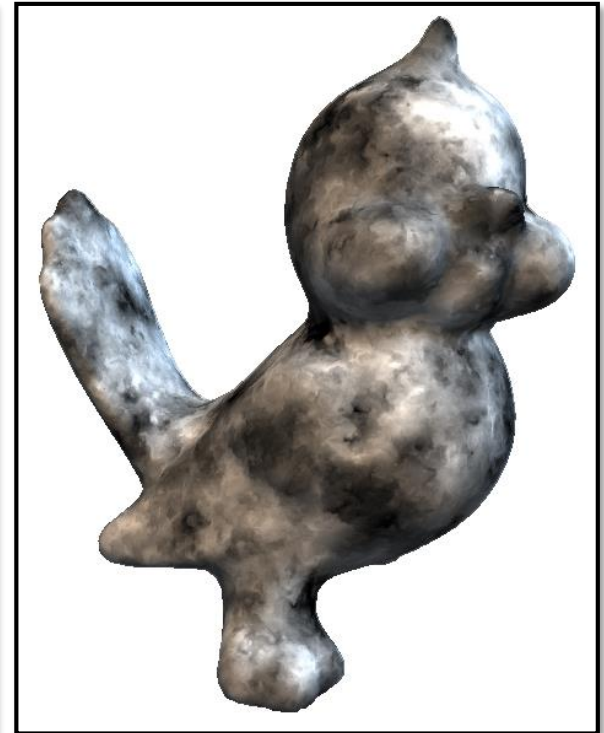
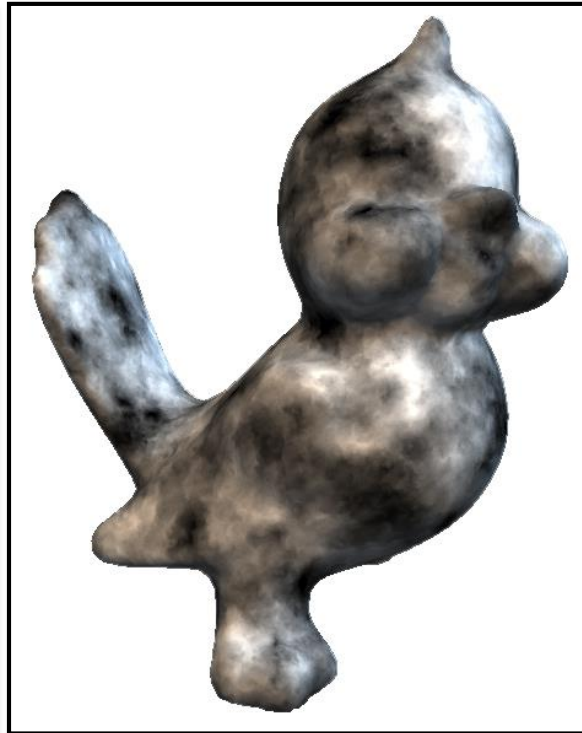
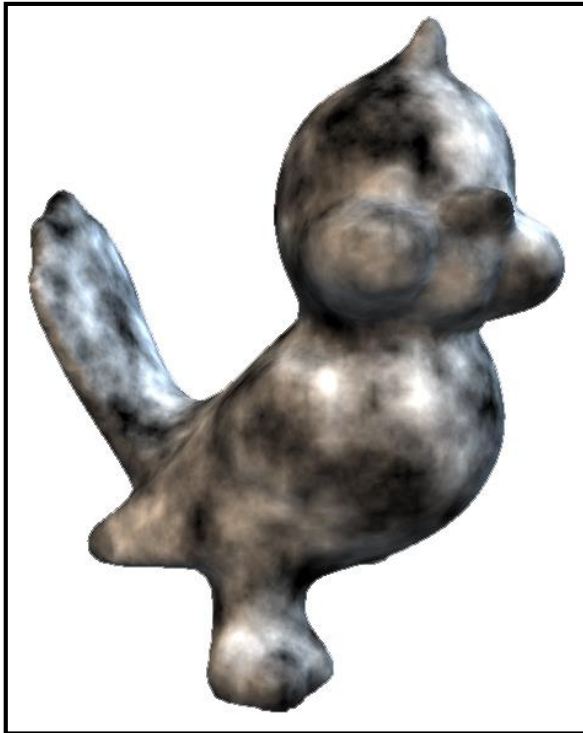
Kombination mehrerer Turbulenz-Texturen

▶ Bsp. ineinander verschachtelte Turbulenzfunktionen („Marmor“)

▶ links: $\text{turbulence}(\mathbf{x}) = \sum_k (1/2)^k |n(2^k \mathbf{x})|$

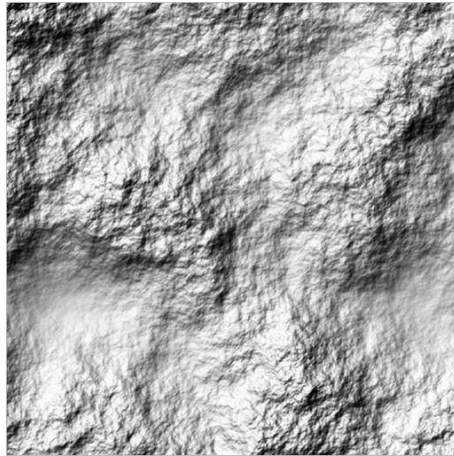
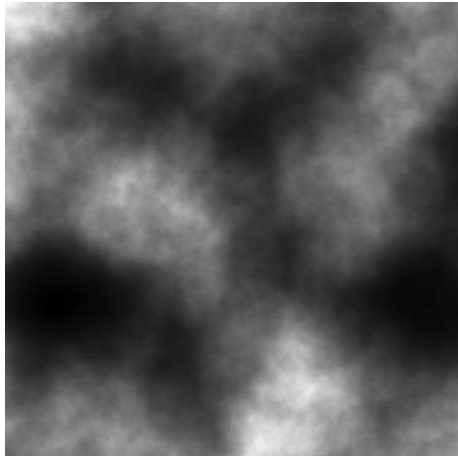
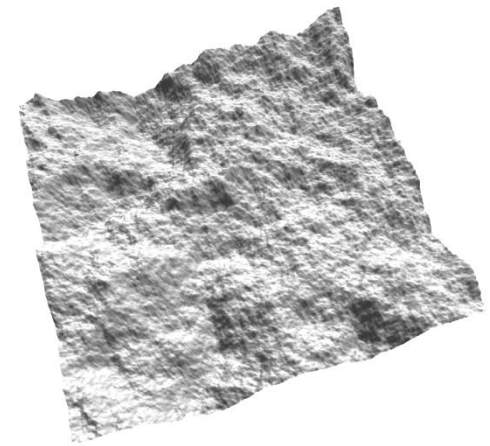
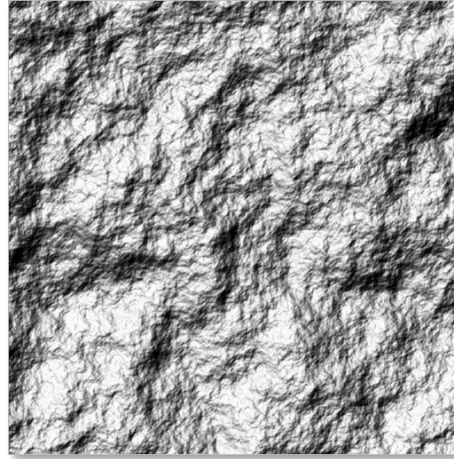
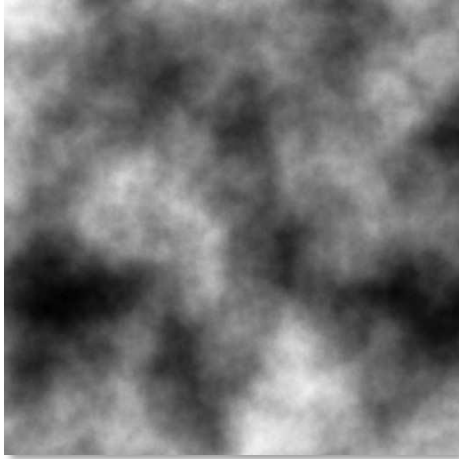
▶ mitte: $\text{turbulence}(\mathbf{x} + 1/2 \text{turbulence}(\mathbf{x}))$

▶ rechts: $\text{turbulence}(\mathbf{x} + \text{turbulence}(\mathbf{x}))$



Beispiele: Höhenfelder aus Noise-Funktionen

Unterschiedliche Verknüpfung (additiv, multiplikativ, ...) von Rauschfkt.



Prozedurale Landschaften

- ▶ Höhenfelder und Texturen generiert aus Noise-Funktionen



Prozedurale Landschaften

- ▶ Höhenfelder und Texturen generiert aus Noise-Funktionen
... nicht in diesem Beispiel ;-)

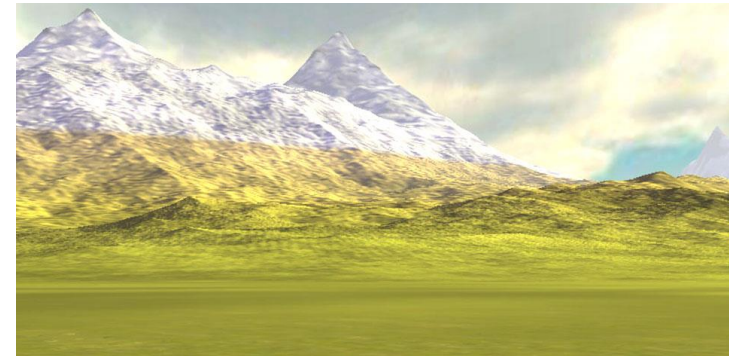
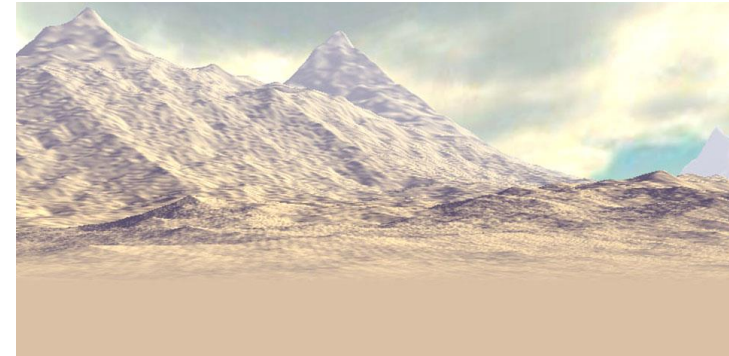


Northern Territory, Australien (Foto: www.spiegel.de)

Prozedurale Landschaften

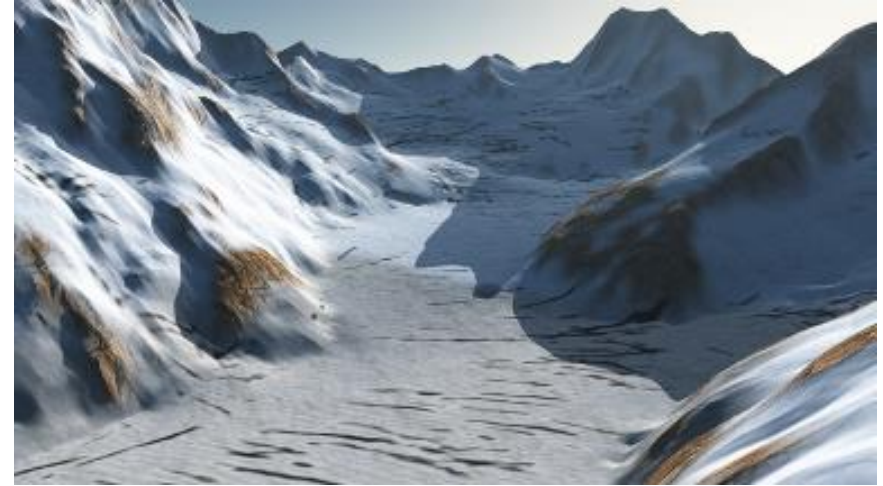
Prozedurale Texturierung (häufig verwendeter Ansatz, z.B. Terragen)

- ▶ keine Textur
- ▶ Texturierung abhängig von Höhe $h(\mathbf{x})$
if $(h(\mathbf{x}) > 1000m)$ *color = white;*
- ▶ Textur mit Steigung $s(\mathbf{x})$ und Noise
if $\left(\begin{array}{l} (h(\mathbf{x}) + n_1(\mathbf{x})) \text{ in } [h_{min}; h_{max}] \wedge \\ (s(\mathbf{x}) + n_2(\mathbf{x})) \text{ in } [s_{min}; s_{max}] \end{array} \right)$
color = green;



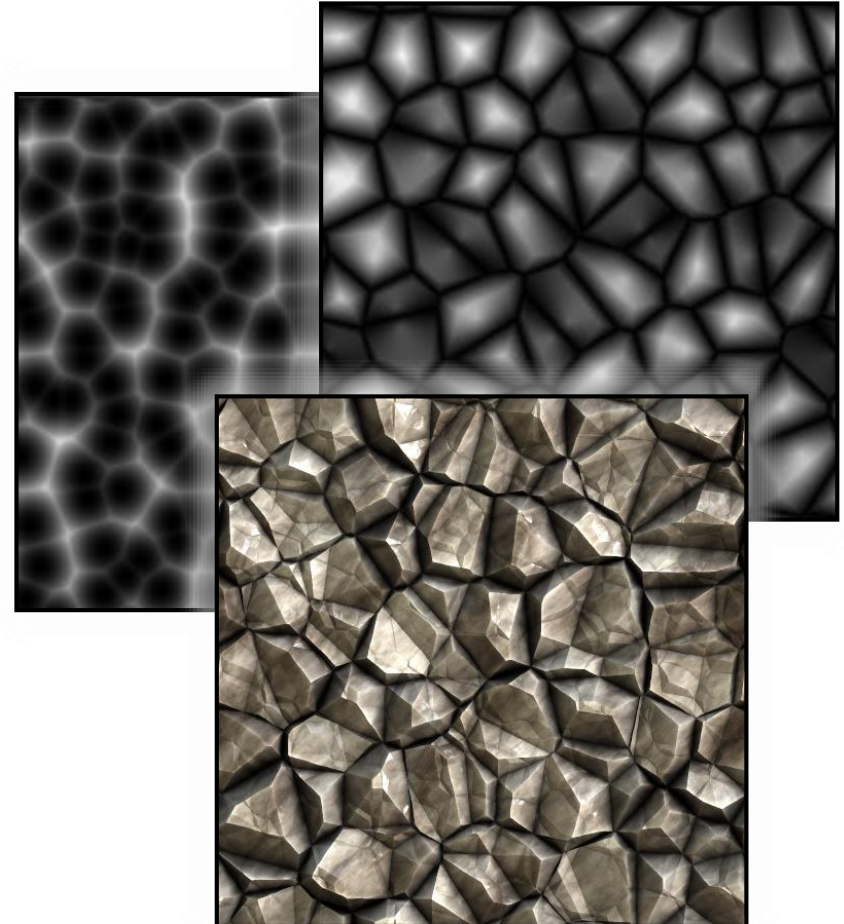
Aktuelle Forschung

- ▶ Höhlen, Gletscher, Tektonik, Wolken, Flussläufe, ...
Bilder: Eric Galin (<https://perso.liris.cnrs.fr/eric.galin>)



Beispiele

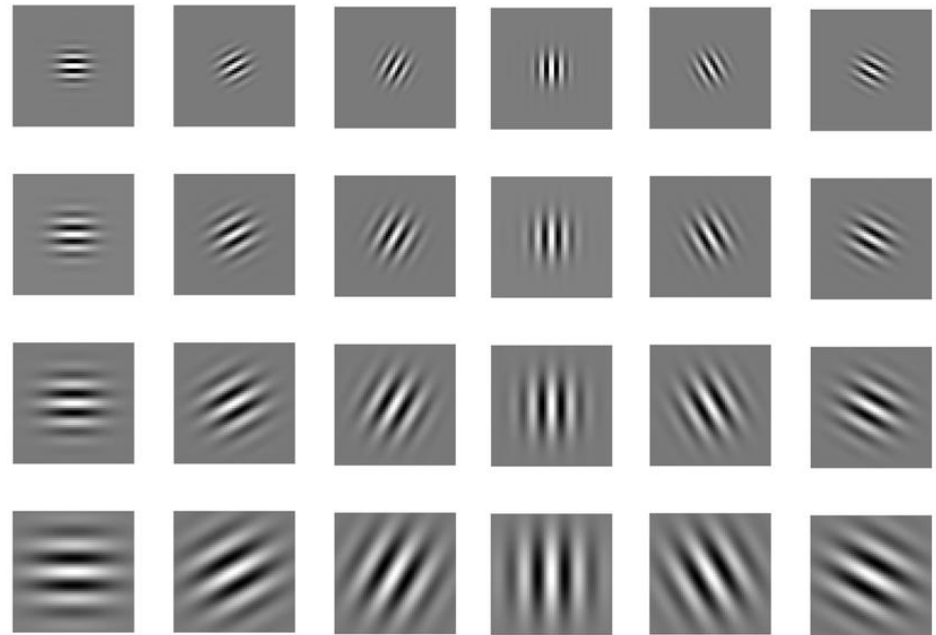
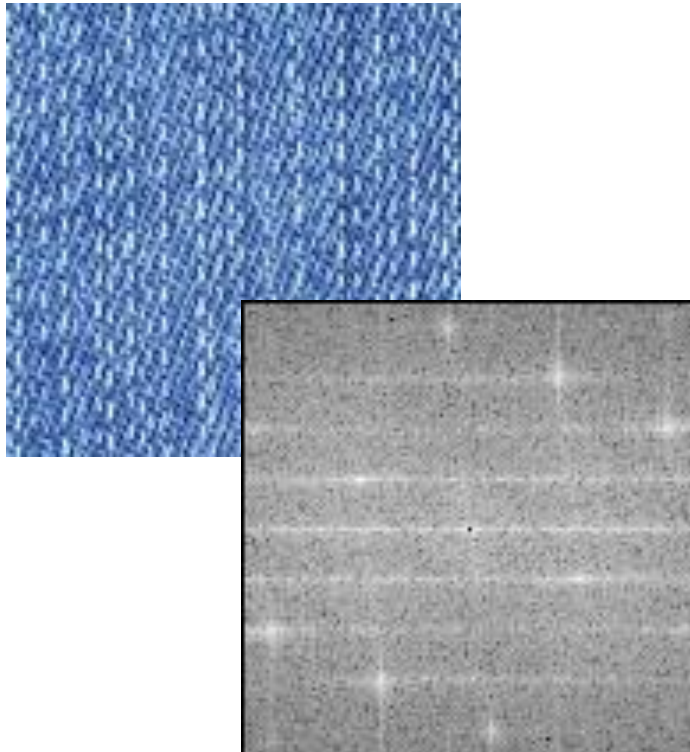
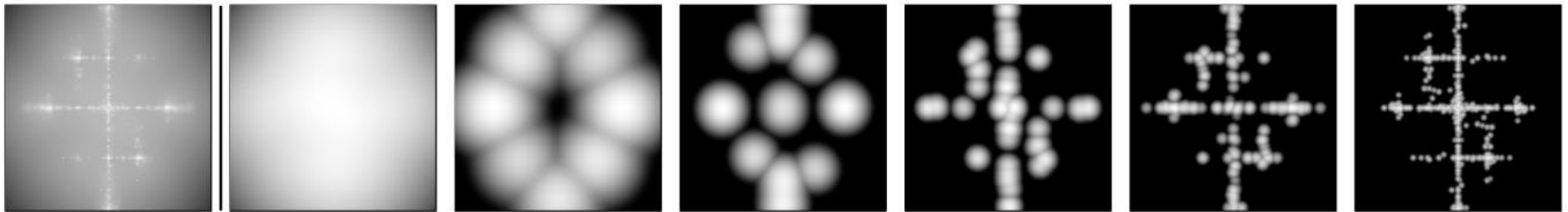
- ▶ viele weitere Beispiele und mehr Infos:
„Texturing and Modeling, A Procedural Approach“ (687 Seiten!)
David S. Ebert, F. Kenton Musgrave, Darwyn Peachey, Ken Perlin, Steve Worley



Worley's Cellular Textures

Gabor Noise by Example

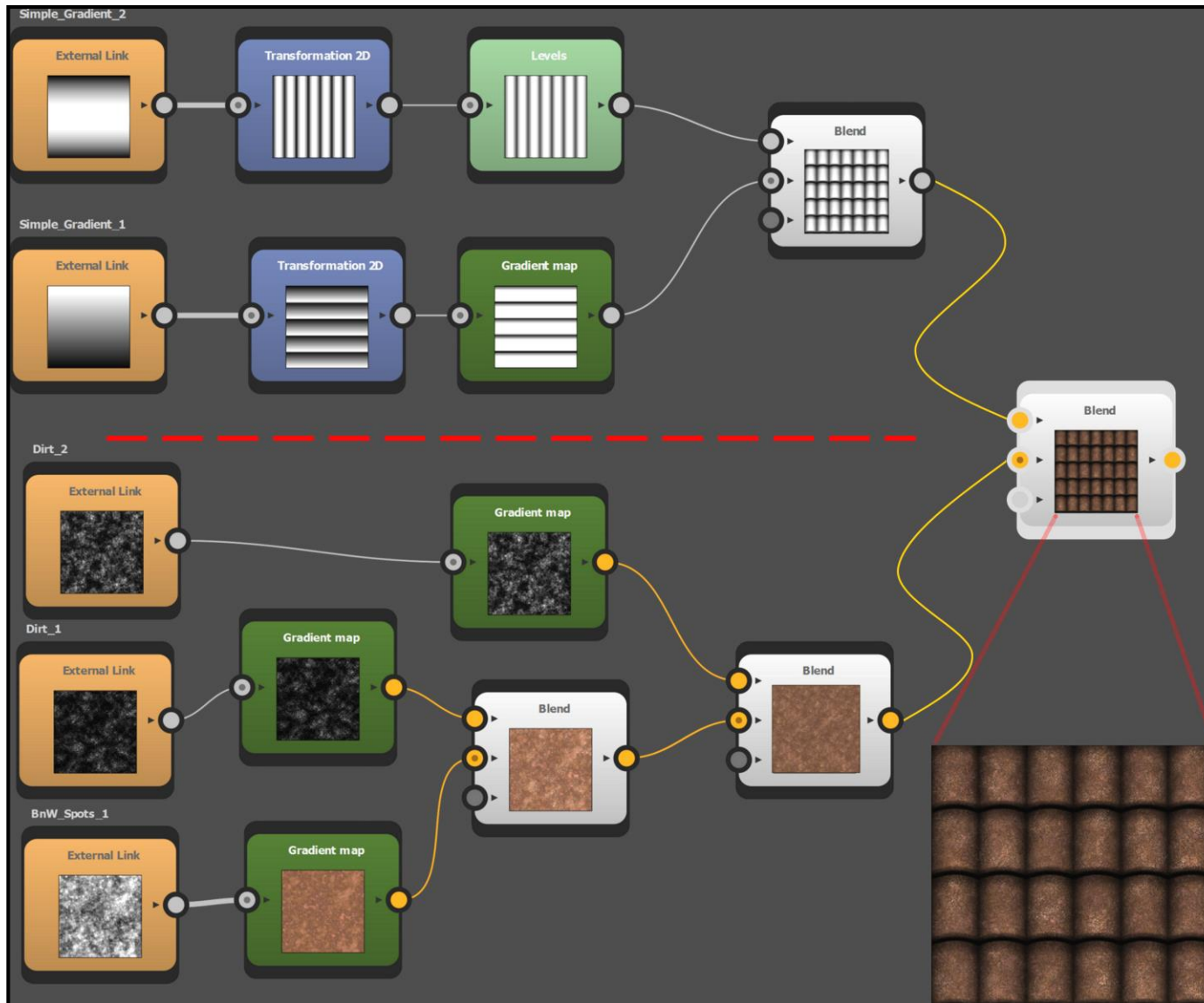
- ▶ gezielte Reproduktion eines Frequenzspektrums mit Gabor-Noise
<https://graphics.cs.kuleuven.be/publications/GLLD12GNBE/2>



https://www.researchgate.net/figure/Gabor-Kernel-using-4-Scales-and-6-orientations_fig1_281995750

Ausblick: prozedurale Texturen in der Praxis

► Kombination mit regelbasierten Systemen

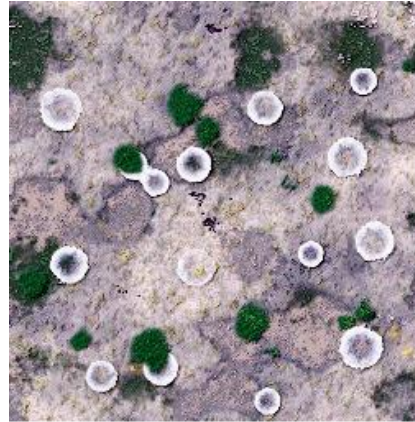


Ausblick: aktuelle Forschungsthemen



- ▶ Modelle mit semantischen Parametern
(Software: Substance/Allegorithmic)

- ▶ Forschungsprojekte,
z.B. ReProcTex
<https://www.shadertoy.com/view/wstcRH>



Moss_02_Amount

White_Molds_01_Amount

White_Molds_02_Amount

Yellow_Molds_Amount



Moss_02_Amount

White_Molds_01_Amount

White_Molds_02_Amount

Yellow_Molds_Amount

Zwischenfazit: Prozedurale Texturen

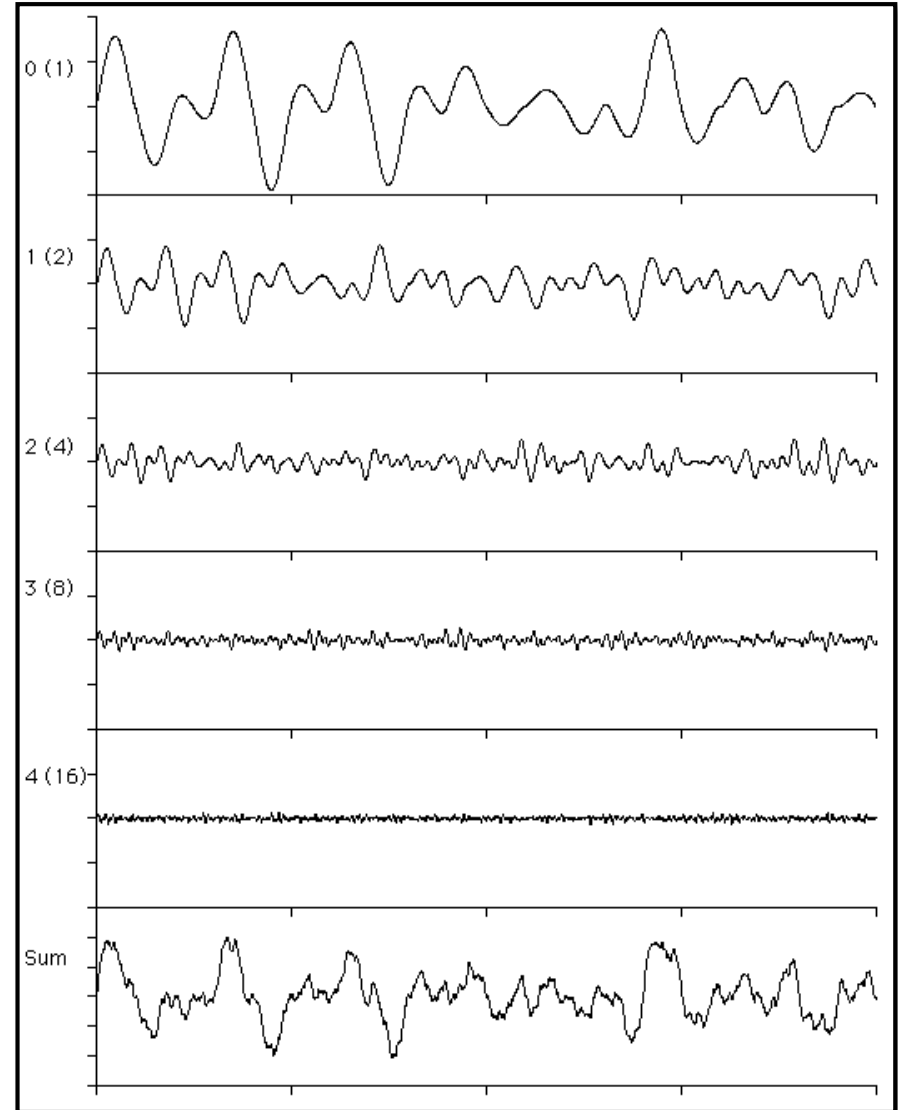
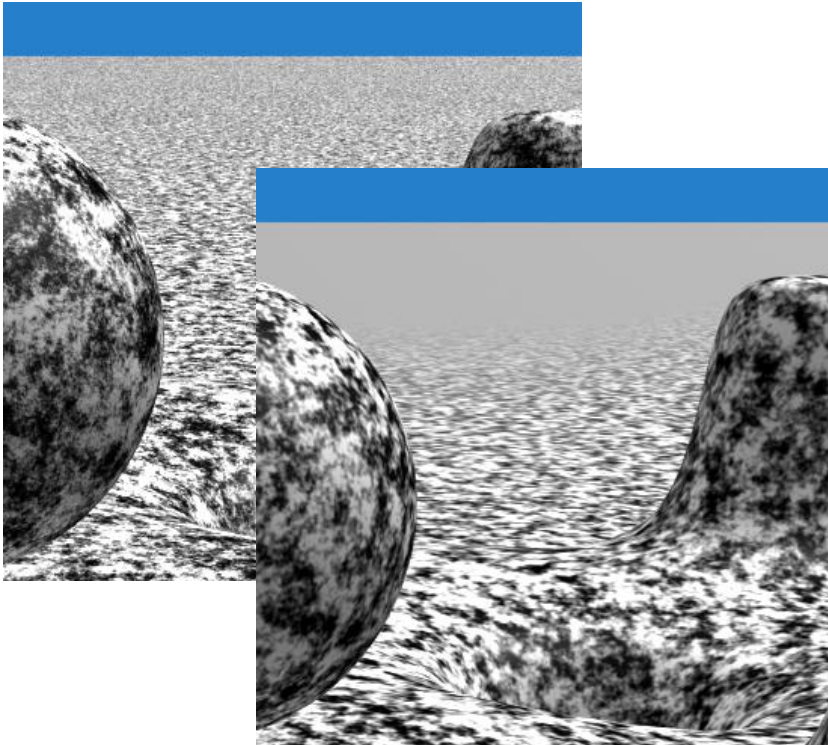


- ▶ algorithmische Beschreibung von Texturen
 - ▶ kompakte Repräsentation: wenige Zeilen Code
 - ▶ auflösungsunabhängig, beliebig große Flächen ohne sichtbare Wdh.
 - ▶ parametrisierbar (z.B. mehrere Sorten Holz, Terrains, ...)
- ▶ **implizite Methode:** Aufruf des Shaders für jeden Pixel/Schnittpunkt
 - ▶ benötigt evtl. Zugriff auf benachbarte Pixel (z.B. Ableitungen für prozedurale Normalmaps)
 - ▶ Filterung ist i.A. nicht trivial (nur bei einfacher Turbulenz u.ä., siehe nächste Folie)
- ▶ **explizite Methode:** generiere 2D/3D-Textur vor der Verwendung
 - ▶ verwende Texture-Mapping wie bisher
 - ▶ Vorteil: Texture-Filtering ist einfach, Nachteil: Speicherverbrauch
- ▶ **Vorteile beider Welten:** on-demand Synthese und Caching

Filterung bei Turbulenz

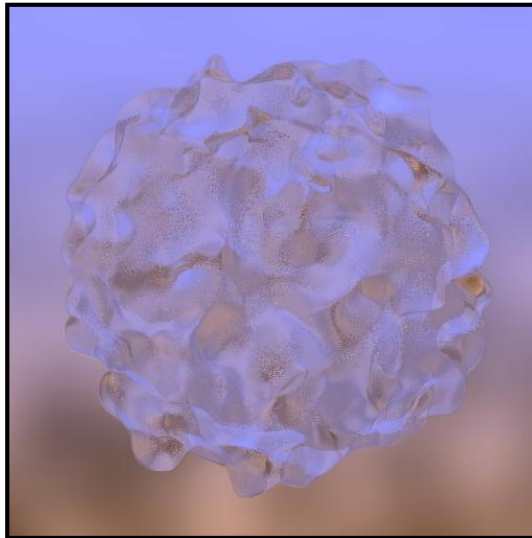
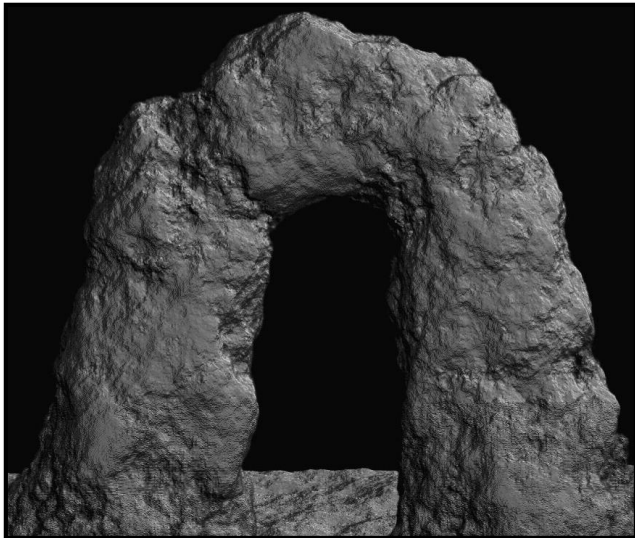
Spektrale Synthese: Kombination unterschiedlicher Frequenzbereiche

- ▶ $\text{turbulence}(\mathbf{x}) = \sum_k \left(\frac{1}{f}\right)^k n(f^k \mathbf{x})$
- ▶ wie kann man hohe Frequenzen entfernen? (z.B. um beim Texturieren Aliasing zu vermeiden)
 - ▶ höhere Oktaven weglassen!



Hypertextures (Perlin 1989)

- ▶ Ziel: Erzeugung von komplexen 3D-Volumenmodellen (z.B. Feuer, Wolken)
 - ▶ Analogie zu Displacement-Mapping von Flächen:
verändern von volumetrischen Gebilden (vgl. animiertes Feuer gleich)
- ▶ Beschreibung eines Hypertexture-Objekts durch eine Dichtefunktionen (DF) $D(\mathbf{x})$ mit $\mathbf{x} \in \mathbb{R}^3$
 - ▶ opak $D(\mathbf{x}) = 1$, transparent $D(\mathbf{x}) = 0$, Übergangsbereich $0 < D(\mathbf{x}) < 1$
 - ▶ modifizierte eine einfache Grundform, um komplexe Strukturen durch Modulation mit Noise-Funktionen zu erhalten



Hypertextures

- ▶ Objekte werden beschrieben durch eine Dichtefunktionen (DF) im \mathbb{R}^3
 - ▶ innen $D(\mathbf{x}) = 1$, außen $D(\mathbf{x}) = 0$, Übergangsbereich $0 < D(\mathbf{x}) < 1$

- ▶ Bsp. Dichtefunktion ohne Transparenz

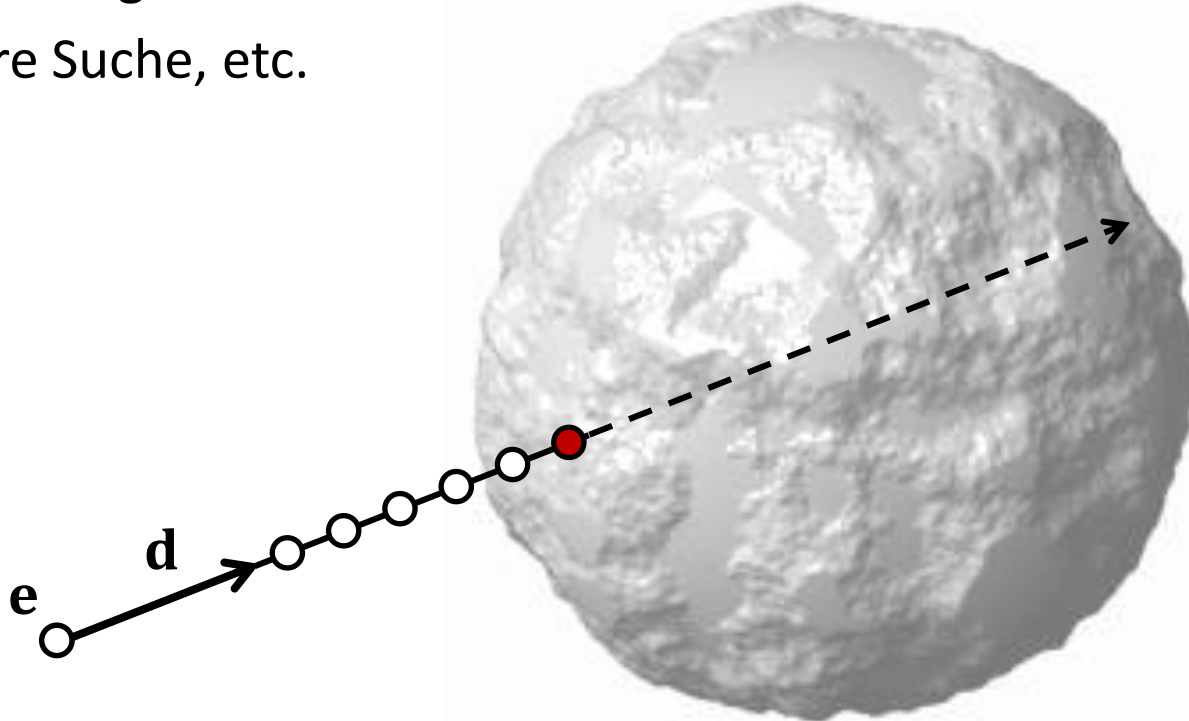
- ▶ $D(\mathbf{x}) = sphere(\mathbf{x} \cdot (1 + a \cdot turbulence(\mathbf{x})))$

- ▶ mit $sphere(\mathbf{x}) = \begin{cases} 1 & |\mathbf{x}| < 1 \\ 0 & sonst \end{cases}$



Ray Marching (opake Objekte)

- ▶ direkte Darstellung, Alternative zur Triangulierung der Oberfläche
- ▶ gehe in kleinen Schritten entlang des Strahls
- ▶ teste: wenn $D(\mathbf{x}) = 1$, dann **Schnittpunkt** gefunden
- ▶ viele verschiedene Optimierungen für Ray Marching
 - ▶ Anpassung der Schrittweite
 - ▶ binäre Suche, etc.



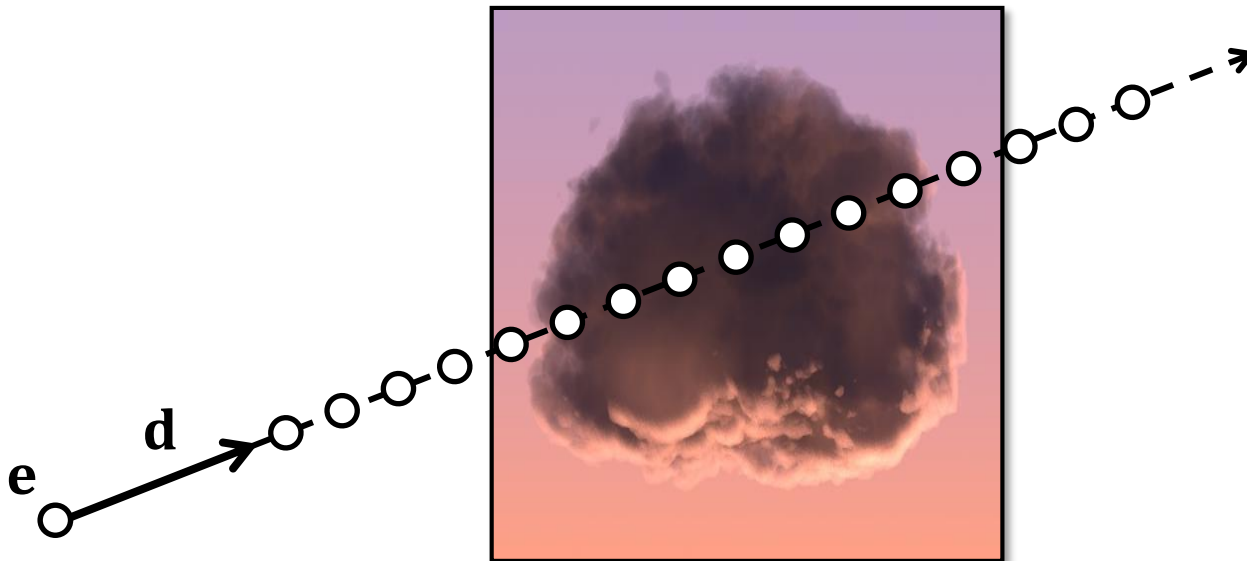
Hypertextures

Ray Marching (semitransparente Objekte)

- ▶ akkumuliere Opazität entlang des Strahls

- ▶ $D(\mathbf{x}) = sphere \left(\mathbf{x} + a \begin{pmatrix} turbulence(...) \\ turbulence(...) \\ turbulence(...) \end{pmatrix} \right)$

- ▶ mit $sphere(\mathbf{x}) = \begin{cases} 1 & |\mathbf{x}| < 1 \\ \max(0, 2 - |\mathbf{x}|) & sonst \end{cases}$



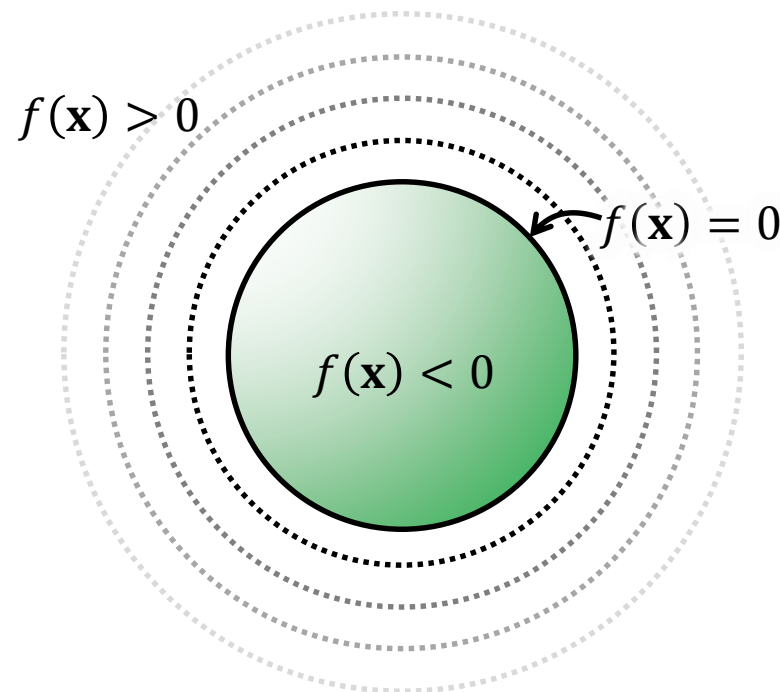
Beispiel: Feueranimation

- ▶ Feuer mit Hypertexture (Bild rechts):
Form einer undeformierten Flamme als Basis, $D(\mathbf{x})$ durch Verformung mit Turbulenzfunktion
<http://blog.char95.com/post/fire/>
<http://developer.download.nvidia.com/SDK/10.5/direct3d/~samples.html#PerlinFire>
- ▶ Alternative: 4D-Turbulenztextur
 - ▶ Zugriff mit Position (3D) und Zeit (1D):
3D-Schnitte aus 4D-Turbulenz-Textur, räumliche Kohärenz wird zu zeitlicher Kohärenz
 - ▶ Turbulenz wird auf Farbwerte und Semitransparenz abgebildet
 - ▶ zusätzlich zu Turbulenz:
nach oben hin transparenter



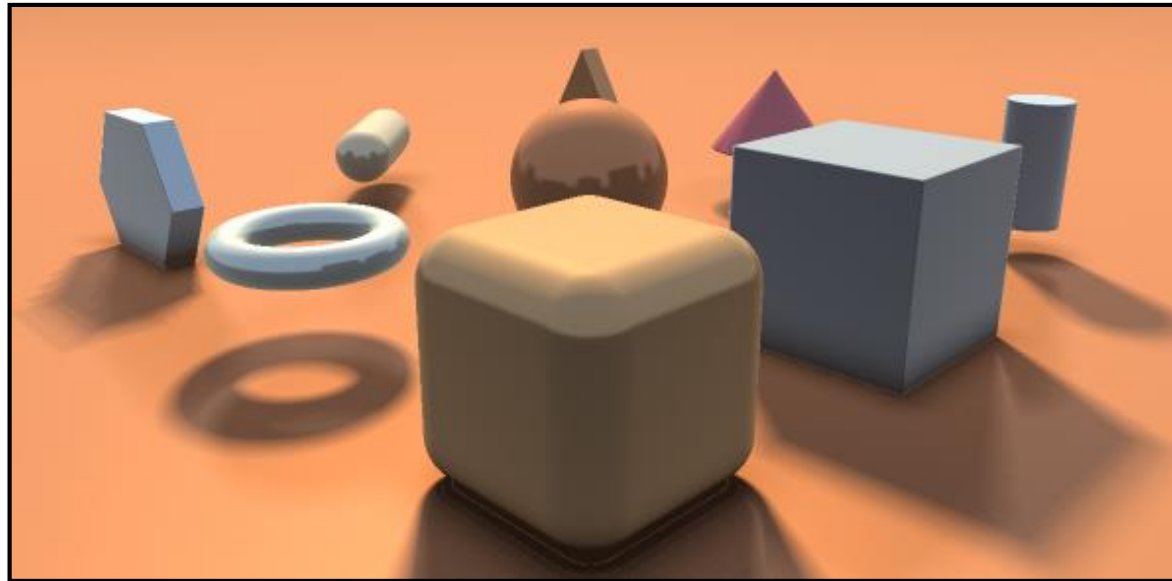
Implizite Darstellung von (soliden) Objekten

- ▶ **Distanzfunktion** $f(\mathbf{x})$, $\mathbf{x} \in \mathbb{R}^3$, die für jeden Punkt \mathbf{x} die kürzeste Entfernung zur Oberfläche $f(\mathbf{x}) = 0$ liefert
 - ▶ man spricht auch von der **Isofläche** für den Wert 0
 - ▶ idealerweise ist Abstand vorzeichenbehaftet, z.B. $f(\mathbf{x}) < 0$ im Inneren
- ▶ einfache Objekte durch Distanzfunktionen beschreibbar
 - ▶ z.B. Kugel $f(\mathbf{x}) = |\mathbf{x} - \mathbf{m}| - r$ (Mittelpunkt \mathbf{m} , Radius r)



Implizite Darstellung von (soliden) Objekten

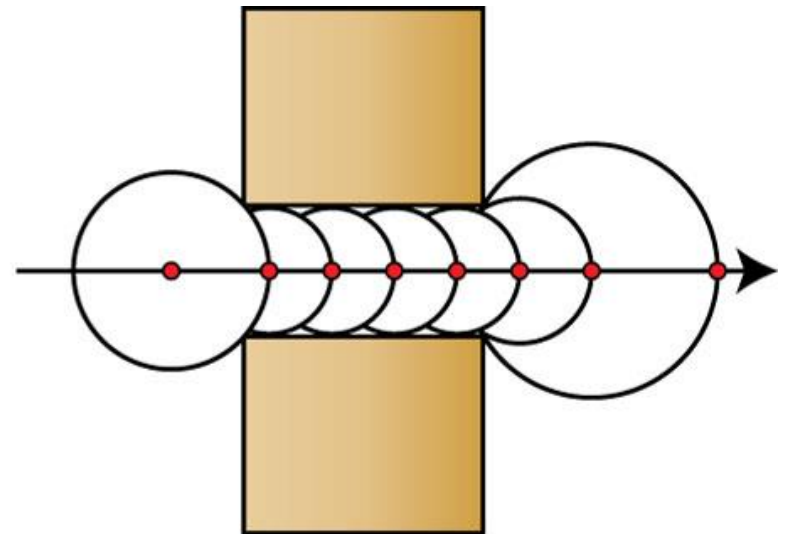
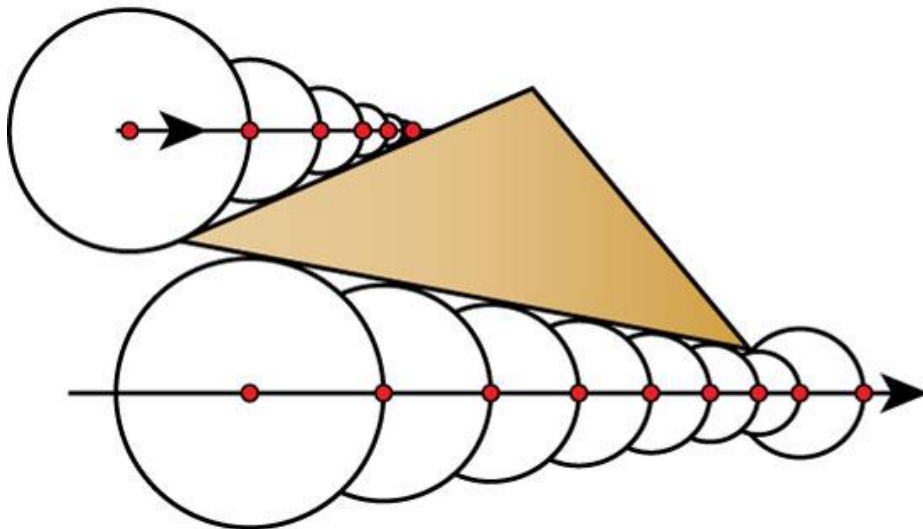
- ▶ **Distanzfunktion** $f(\mathbf{x})$, $\mathbf{x} \in \mathbb{R}^3$, die für jeden Punkt \mathbf{x} die kürzeste Entfernung zur Oberfläche $f(\mathbf{x}) = 0$ liefert
 - ▶ man spricht auch von der **Isofläche** für den Wert 0
 - ▶ idealerweise ist Abstand vorzeichenbehaftet, z.B. $f(\mathbf{x}) < 0$ im Inneren
- ▶ einfache Objekte durch Distanzfunktionen beschreibbar



- ▶ wird $f(\mathbf{x})$ diskret gespeichert (z.B. in einer 3D Textur) dann spricht man von einem **Distanzfeld**

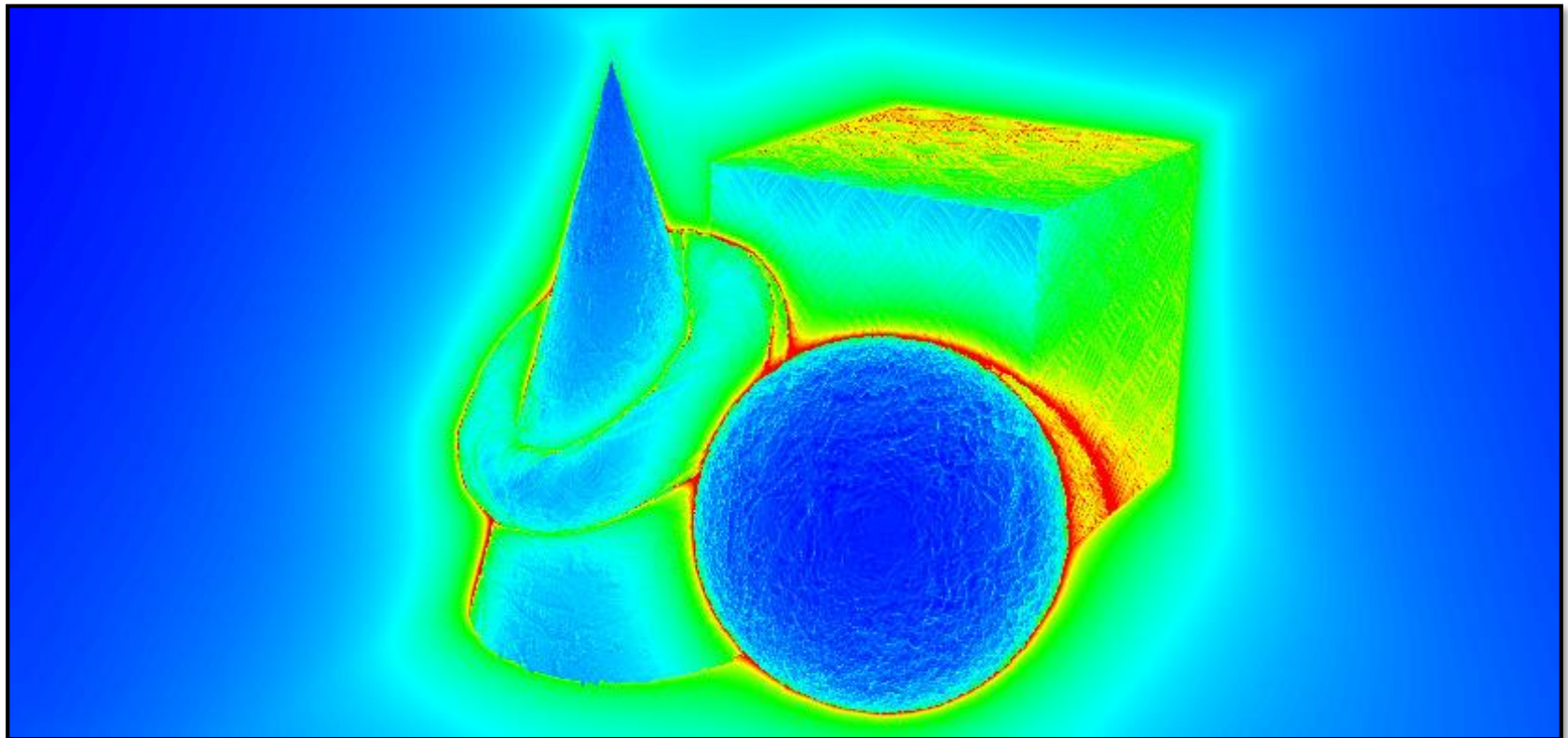
Schnittpunktberechnung mit Sphere Tracing

- ▶ Distanzpkt./-felder müssen für die Darstellung nicht trianguliert werden
- ▶ **Sphere Tracing**: Finden des Schnittpunkts durch Ray Marching *und* Ausnutzen der Distanzfunktion/-felds für die Schrittweite
 - ▶ $f(\mathbf{x})$ liefert die kürzeste Entfernung zur nächsten Oberfläche
 - ▶ man kann immer eine Strecke $f(\mathbf{x})$ zurücklegen (also auch entlang des Strahls), ohne einen Schnittpunkt zu verpassen



Schnittpunktberechnung mit Sphere Tracing

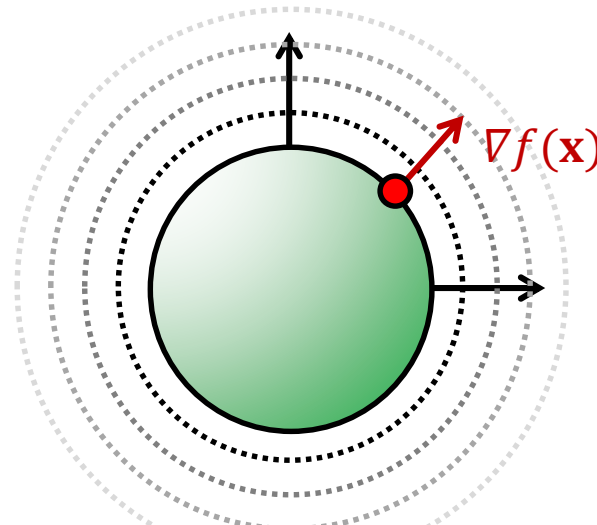
- ▶ **Sphere Tracing:** Finden des Schnittpunkts durch Ray Marching *und* Ausnutzen der Distanzfunktion/-felds für die Schrittweite
 - ▶ mehr Schritte für Strahlen, die Objekte knapp verpassen



Normale und Beleuchtungsberechnung (auch für Hypertexture-Flächen)

- ▶ der Gradient von $f(\mathbf{x})$ zeigt in die Richtung, in der die Distanz (also der Funktionswert) am schnellsten zunimmt
- ▶ auf einer Isofläche entspricht diese Richtung dem Normalenvektor
- ▶ Approximation des Gradienten über zentrale Differenzen:

$$\nabla f(\mathbf{x}) = \begin{bmatrix} d/dx \\ d/dy \\ d/dz \end{bmatrix} f(\mathbf{x}) \approx \begin{bmatrix} f(x + 1/2 h, y, z) - f(x - 1/2 h, y, z) \\ f(x, y + 1/2 h, z) - f(x, y - 1/2 h, z) \\ f(x, y, z + 1/2 h) - f(x, y, z - 1/2 h) \end{bmatrix}$$



Bsp. Unreal Engine

- ▶ Distanzfelder zur Approximation von
 - ▶ Strahl-Geometrie-Schnitten,
 - ▶ Ambient Occlusion,
 - ▶ Kollisionsberechnung, ...



Bild: <https://docs.unrealengine.com/4.27/en-US/BuildingWorlds/LightingAndShadows/MeshDistanceFields/>

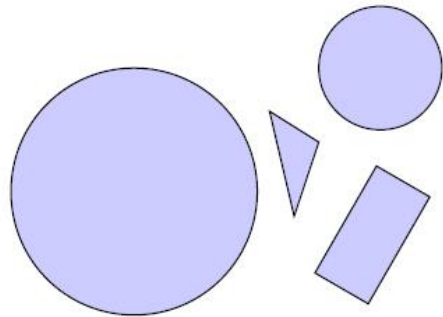
Constructive Solid Geometry (CSG)

► Boolesche Operatoren für Objekte (aus vorzeichenbehafteten DF)

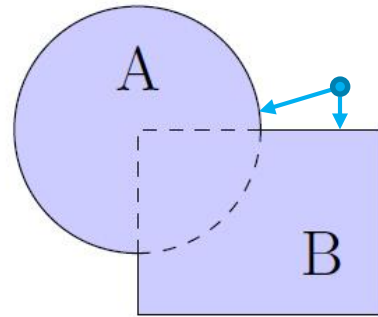
► Vereinigung: $f_{A \cup B}(\mathbf{x}) = \min(f_A(\mathbf{x}), f_B(\mathbf{x}))$

► Schnitt: $f_{A \cap B}(\mathbf{x}) = \max(f_A(\mathbf{x}), f_B(\mathbf{x}))$

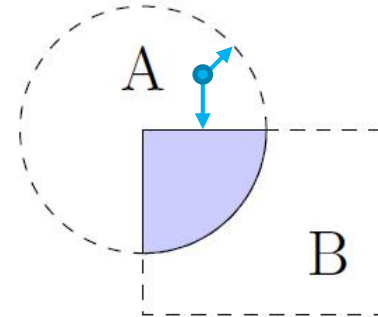
► Differenz: $f_{A \setminus B}(\mathbf{x}) = f_{A \cap -B}(\mathbf{x}) = \max(f_A(\mathbf{x}), -f_B(\mathbf{x}))$



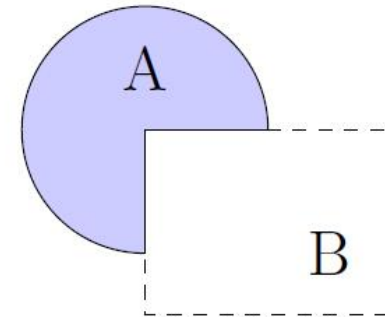
Vereinigung



$A \cup B$



$A \cap B$



$A \setminus B$

► Bemerkung:

► CSG ist auch mit anderen Repräsentationen, z.B. Dreiecksnetzen, möglich, aber u.U. aufwendiger

► CSG kann auch mit dem Stencil Buffer im Bildraum berechnet werden!

Ray Marching von DFs

- ▶ Distanzfkt. können wie $D(\mathbf{x})$ bei Hypertextures modifiziert werden
- ▶ <http://iquilezles.org/www/articles/raymarchingdf/raymarchingdf.htm>



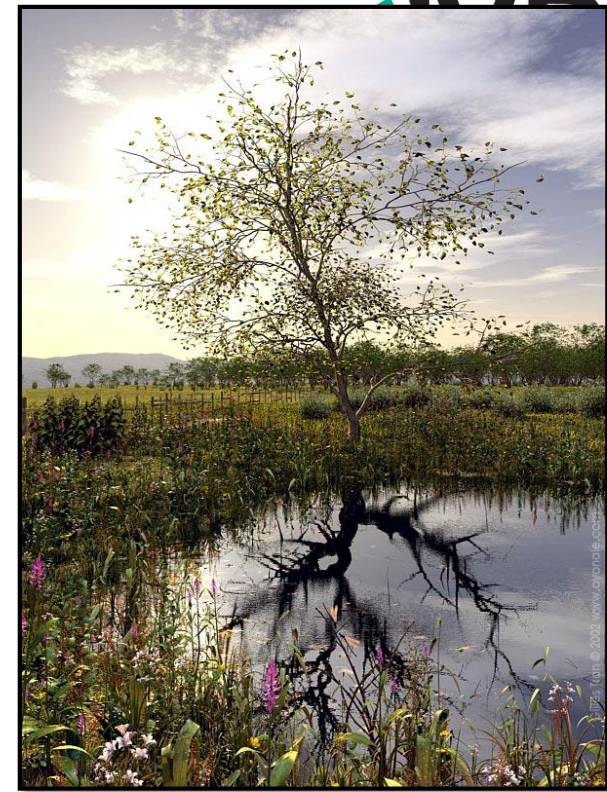
Ray Marching von DFs

▶ www.shadertoy.com/view/ld3Gz2



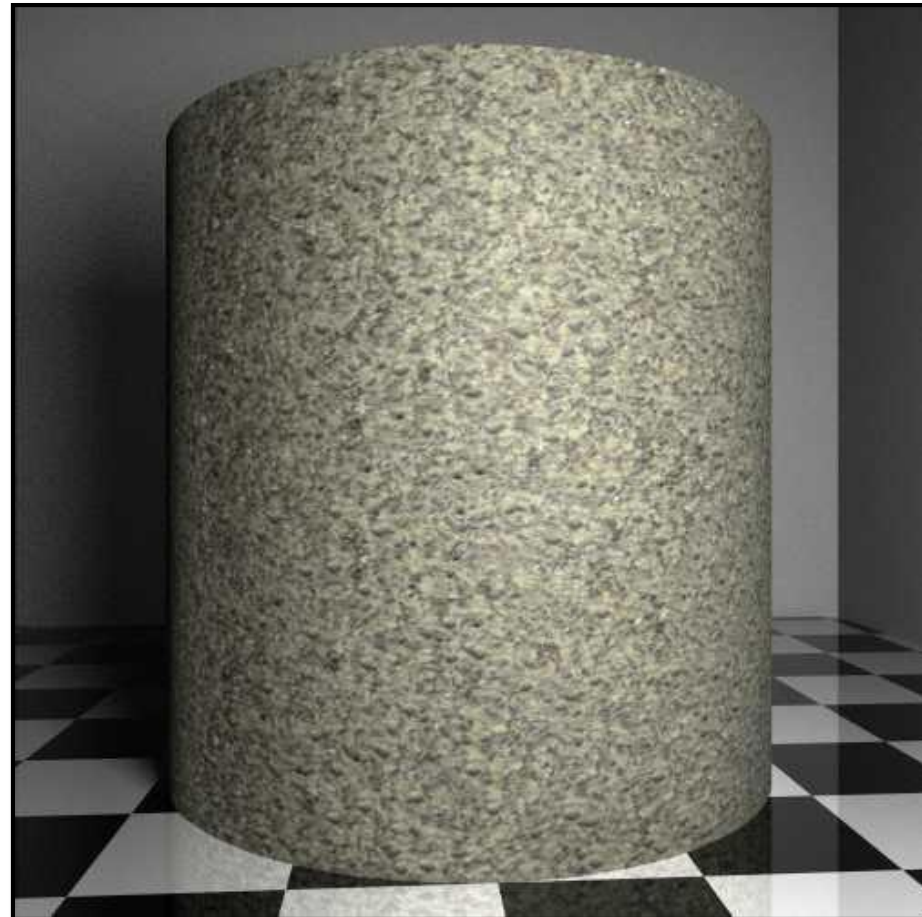
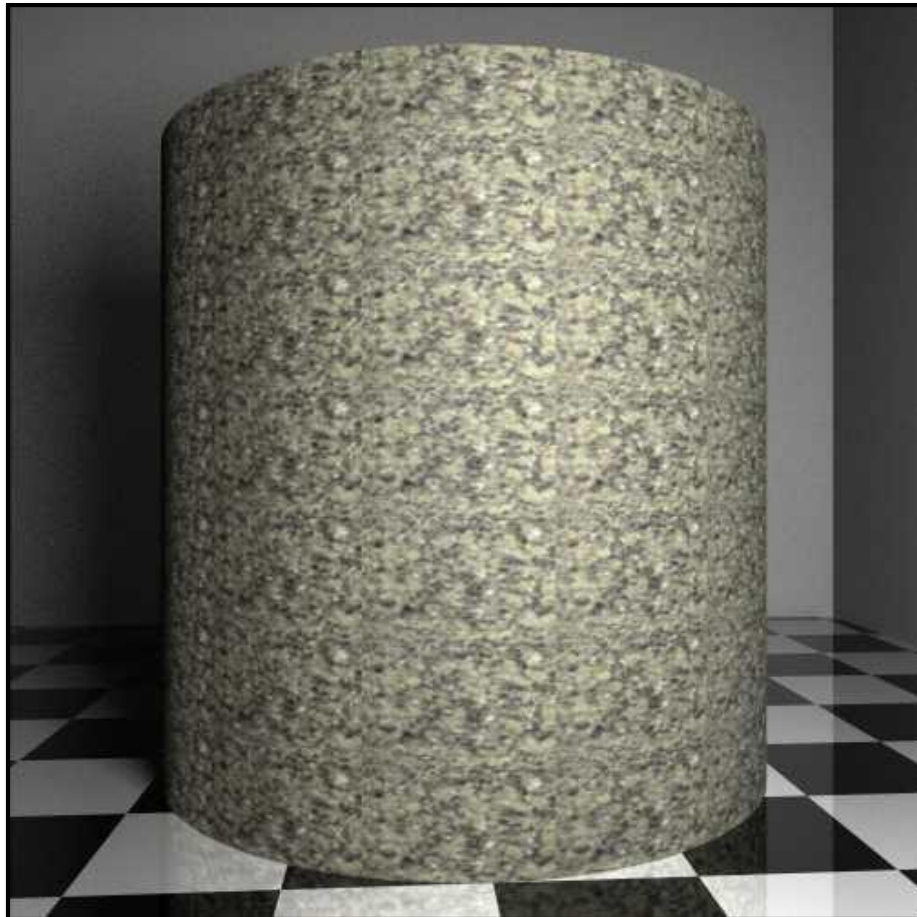
Überblick

- ▶ Motivation
- ▶ Rauschen, Turbulenz und prozedurale Texturen
- ▶ Hypertexturen und Distanzfelder
- ▶ Textursynthese
- ▶ L-Systeme
- ▶ kurzer Ausblick



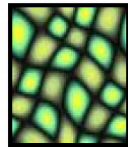
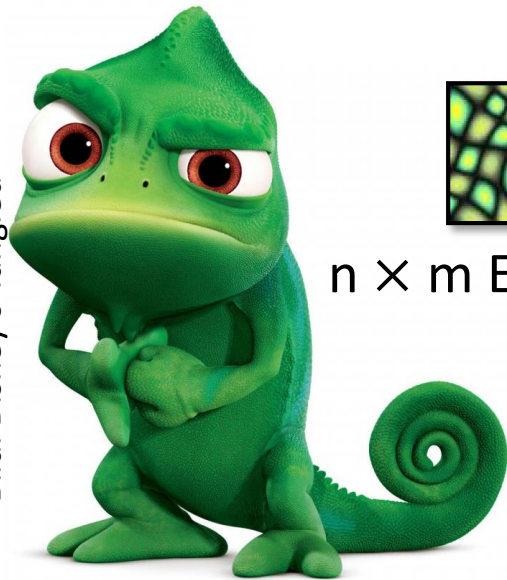
Textursynthese

- ▶ oft kleine Textur („Exemplar“) vorgegeben, z.B. extrahiert aus Fotografie
 - ▶ Tiling (Kachelung) führt zu sichtbaren Wiederholungen (Bild links)
- ▶ Ziel: Berechnen (**Synthese**) einer großen Textur die „genauso“ aussieht
 - ▶ Verfahren in dieser Vorlesung langsam: keine Auswertung zur Laufzeit

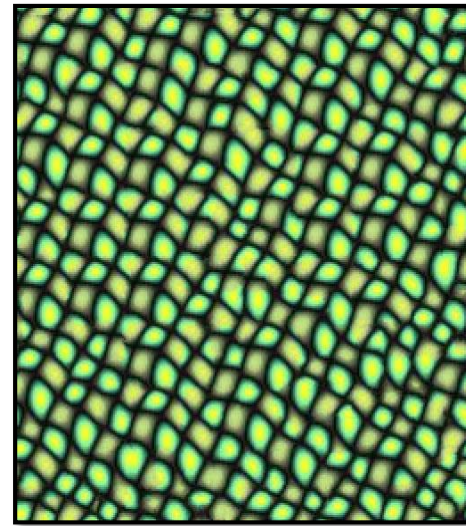


- ▶ **Ziel:** synthetisiere eine Textur die genau wie die Eingabetextur aussieht
 - ▶ „gleich aussehen“ bedeutet „gleiche statistische Eigenschaften“
 - ▶ achte auch darauf genügend Variation zu erzeugen
- ▶ es geht nur um „stochastischen Inhalt“ und Muster – Texturen mit semantischen Strukturen lassen sich so nicht erzeugen

Bild: Disney's Tangled



$n \times m$ Exemplar



$N \times M$ Ausgabertextur

Textursynthese (Photoshop)

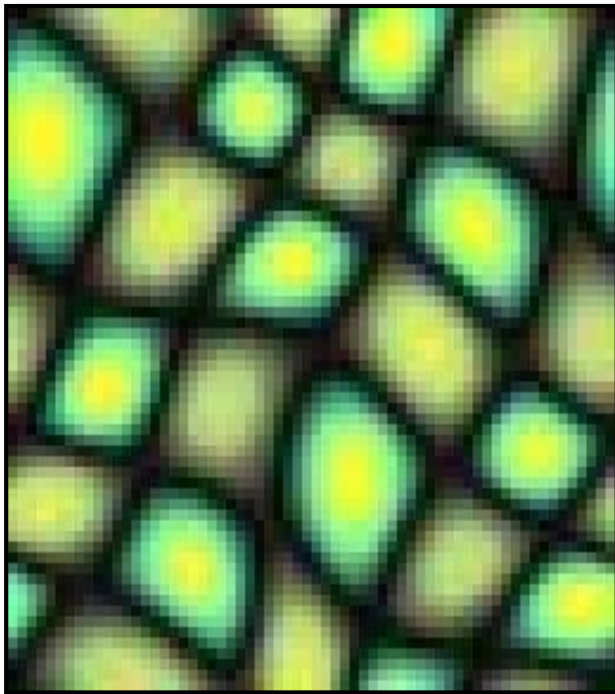


Textursynthese (Photoshop)



Pixelbasierte Textursynthese

- ▶ Ausgabetextur wird Pixel für Pixel erzeugt
 - ▶ z.B. von links nach rechts und von oben nach unten
 - ▶ Annahme für die Erklärung:
wir haben schon einen Teil der Textur erzeugt (oder ins Ziel kopiert)
(Anm. in diesem Beispiel sind Exemplar und Ausgabe gleich groß)



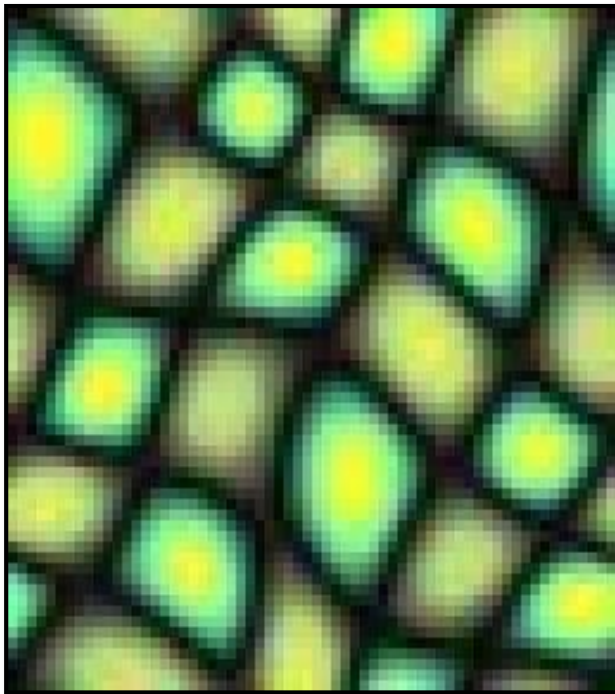
Exemplar



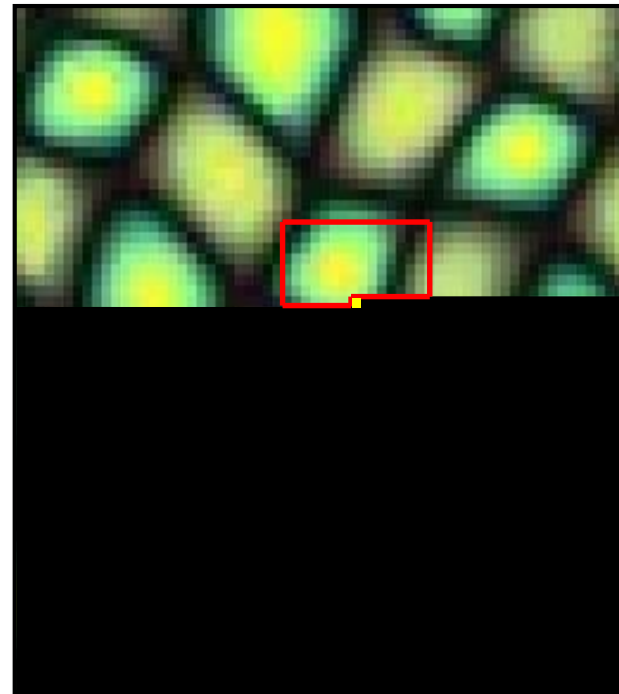
Resultat

Pixelbasierte Textursynthese

- ▶ Ausgabetextur wird Pixel für Pixel erzeugt
 - ▶ z.B. von links nach rechts und oben nach unten
- ▶ betrachte Nachbarschaft des nächsten zu erzeugenden Pixels
 - ▶ i.d.R. kleine Nachbarschaften ca. 30-100 Pixel
 - ▶ aber groß genug, um Strukturen in der Textur zu erfassen



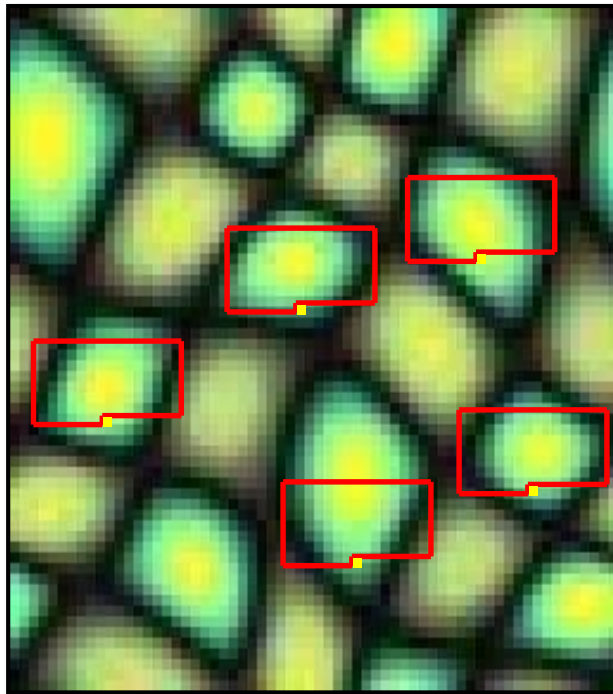
Exemplar



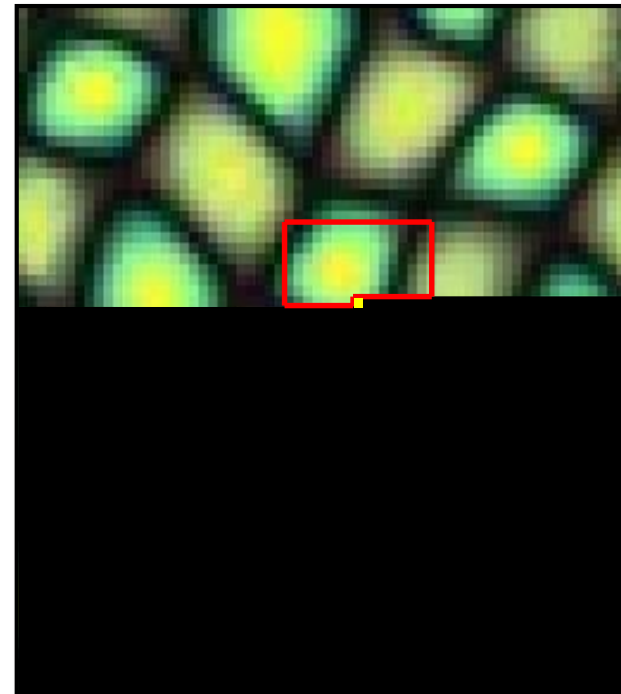
Resultat

Pixelbasierte Textursynthese

- ▶ suche ähnliche Nachbarschaften in der Eingabetextur
 - ▶ ähnlich = Summe über alle Pixelfarbdifferenzen klein



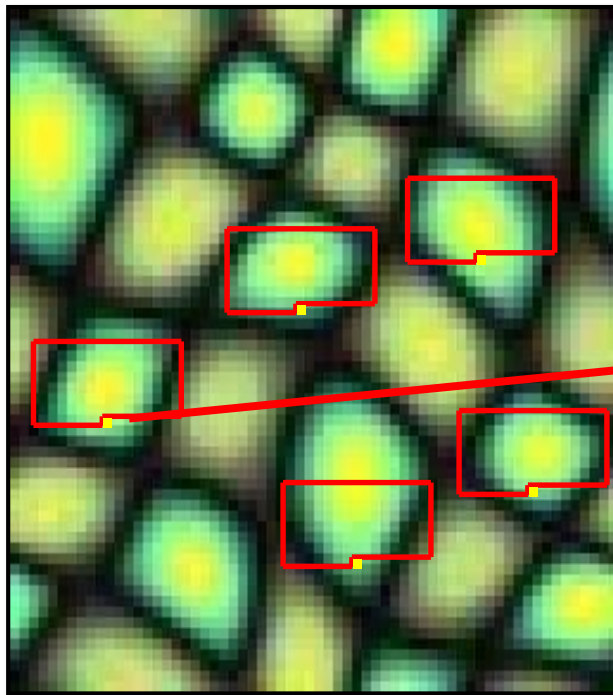
Exemplar



Resultat

Pixelbasierte Textursynthese

- ▶ suche ähnliche Nachbarschaften in der Eingabetextur
 - ▶ ähnlich = Summe über alle Pixelfarbdifferenzen klein
- ▶ kopiere den Pixel **einer der ähnlichsten** Nachbarschaften
 - ▶ zufällige Auswahl garantiert die stochastische Variation



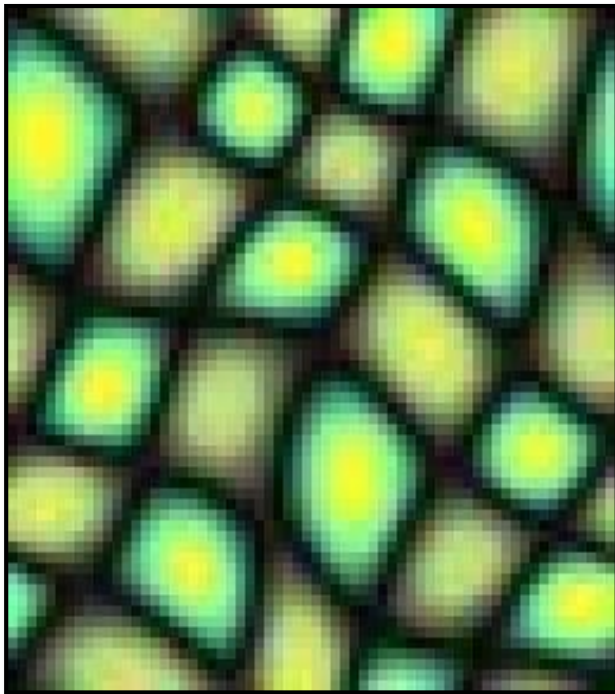
Exemplar



Resultat

Pixelbasierte Textursynthese

- ▶ suche ähnliche Nachbarschaften in der Eingabetextur
 - ▶ ähnlich = Summe über alle Pixelfarbdifferenzen klein
- ▶ kopiere den Pixel **einer der ähnlichsten** Nachbarschaften
 - ▶ zufällige Auswahl garantiert die stochastische Variation
- ▶ verfare so, bis alle Ausgabe-Pixel berechnet



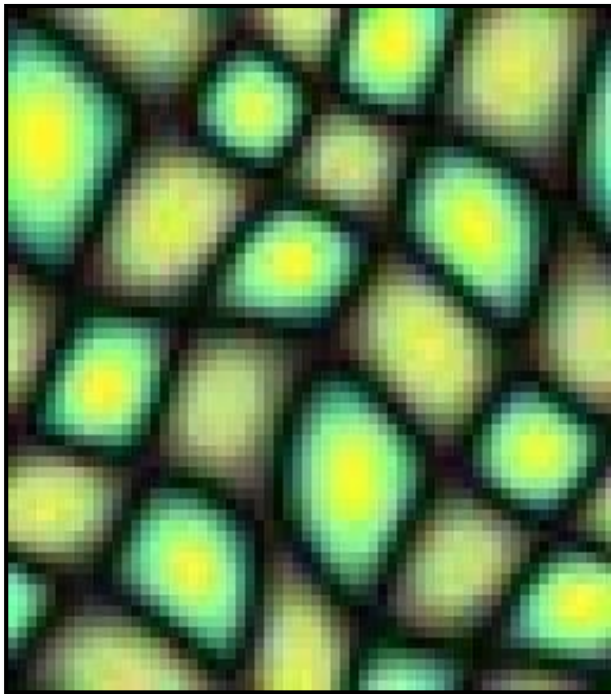
Exemplar



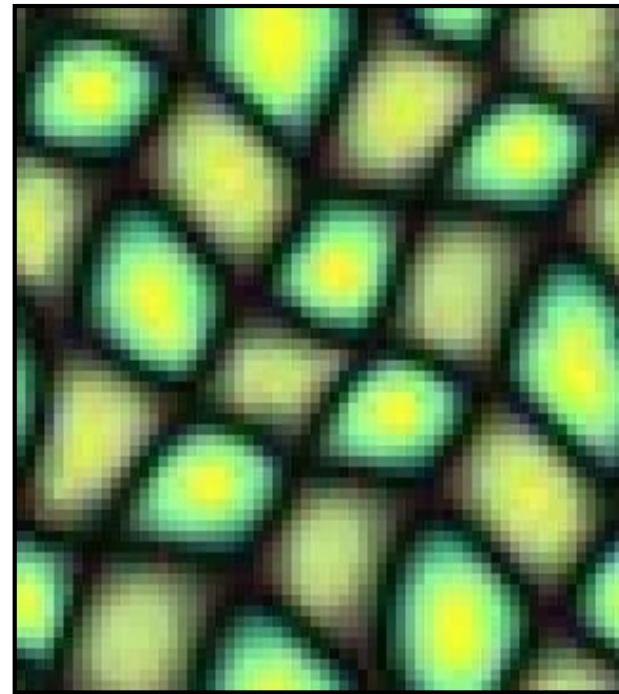
Resultat

Pixelbasierte Textursynthese

- ▶ das Prinzip / der Algorithmus ist sehr einfach
- ▶ sehr sensitiv gegenüber der Nachbarschaftsgröße
- ▶ **sehr langsam** durch die Suche nach passenden Nachbarschaften
(Optimierungen: Hauptachsentransformation, Auflösungspyramide, ...)

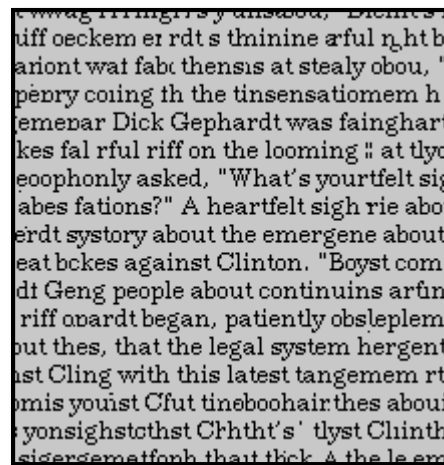
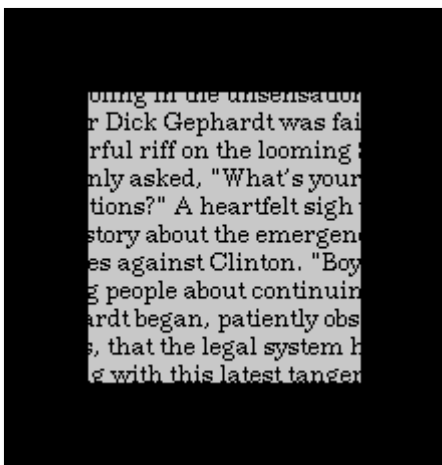
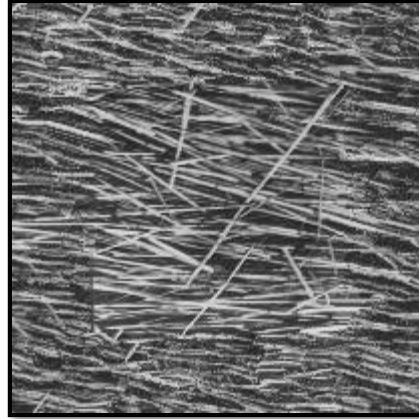
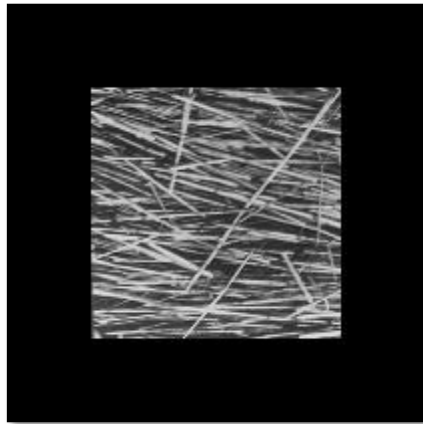
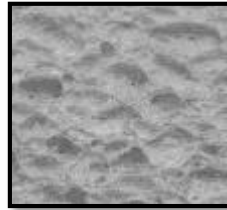
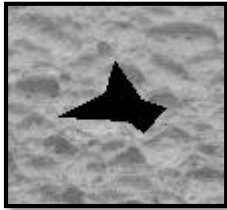


Exemplar



Resultat

Pixelbasierte Textursynthese [Efros99]



Exkurs: Pixelbasierte Textursynthese

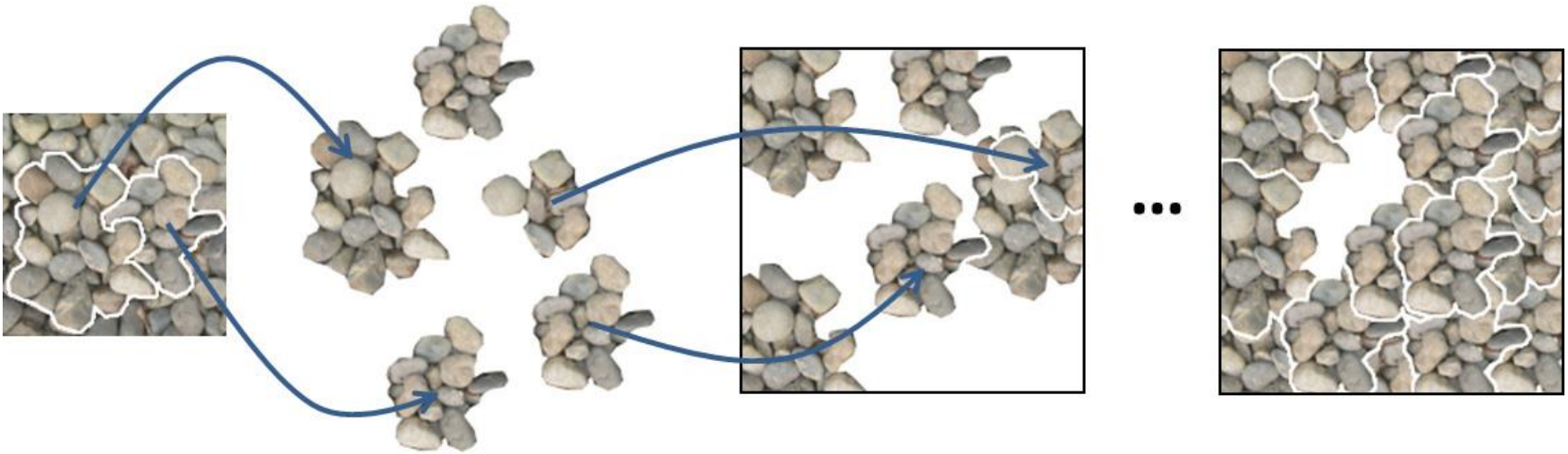
- ▶ Berücksichtigung der Perspektive der Eingabe- und Ausgabetextur ist ebenfalls direkt möglich [Eisenacher et al. 08]



- ▶ heute: diverse Deep Learning Ansätze zur Bildvervollständigung

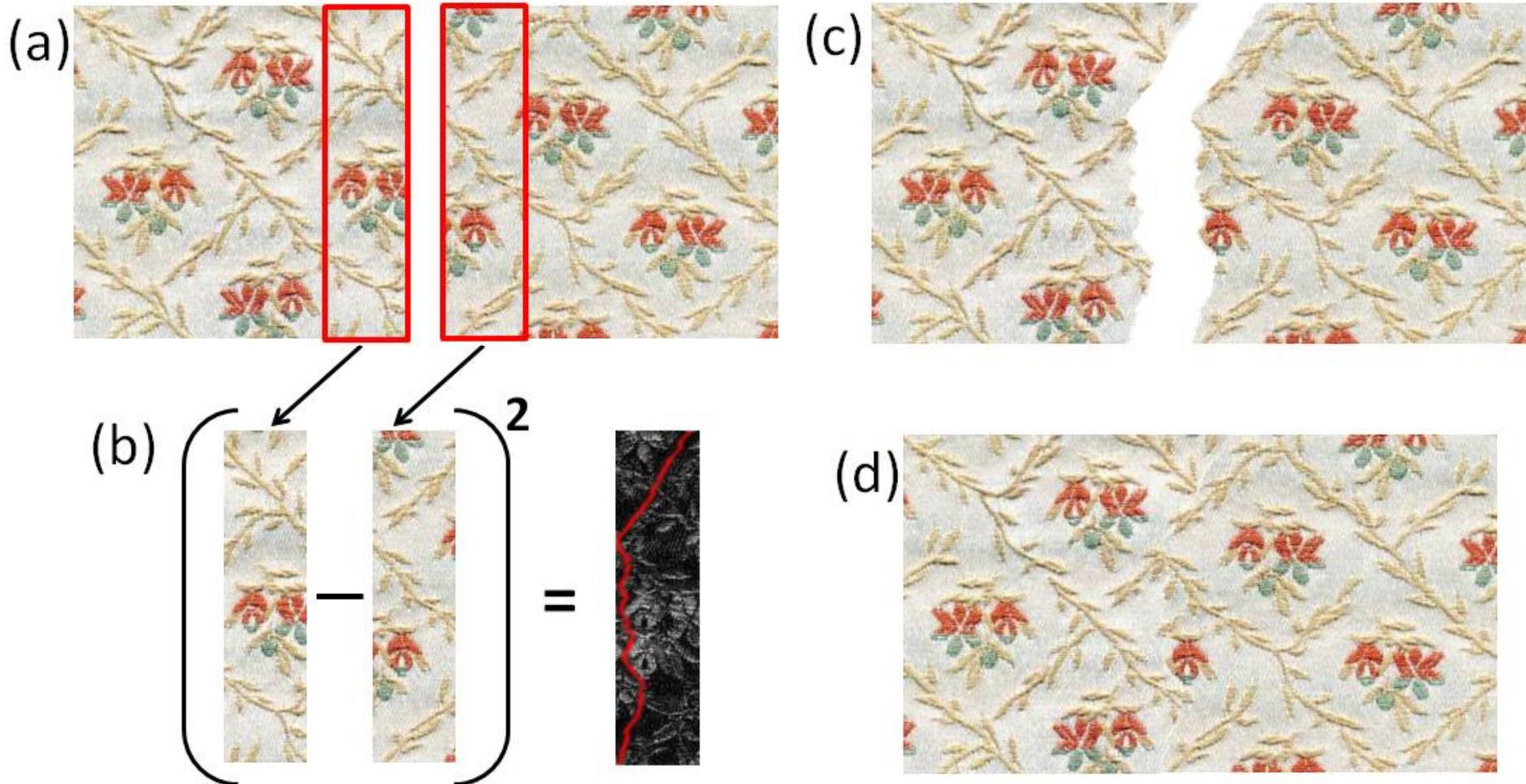
Exkurs: Patchbasierte Textursynthese

- ▶ Grundidee: verwende größere Bereiche des Exemplars
- ▶ ... aber nicht bei jeder Textur ist es einfach gute Patches (Texturstücke) zu extrahieren



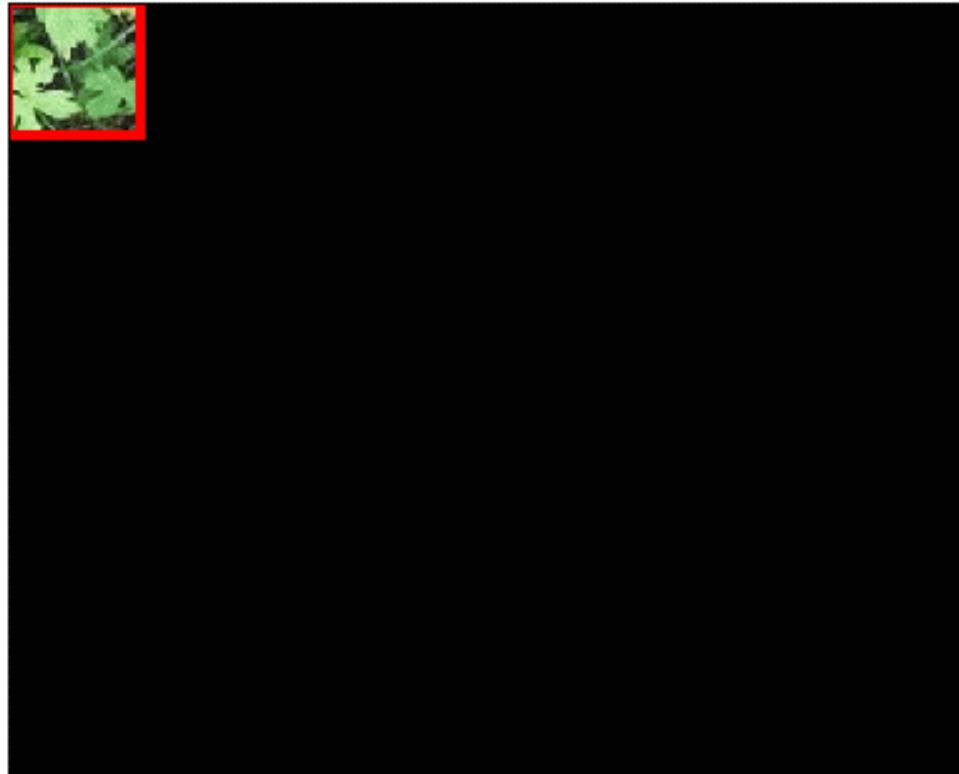
Exkurs: Patchbasierte Textursynthese

- ▶ Grundidee: verwende überlappende Bereiche des Exemplars und...
- ▶ ...was nicht passt, wird passend gemacht (Graph Cut/Partitionierung)



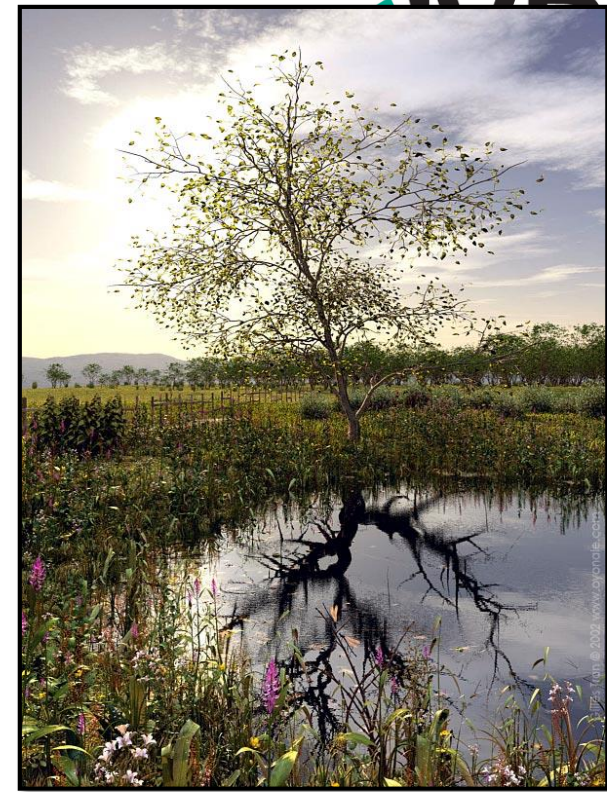
Exkurs: Image Quilting (patchbasierte Synthese)

▶ <http://graphics.cs.cmu.edu/people/efros/research/quilting.html>



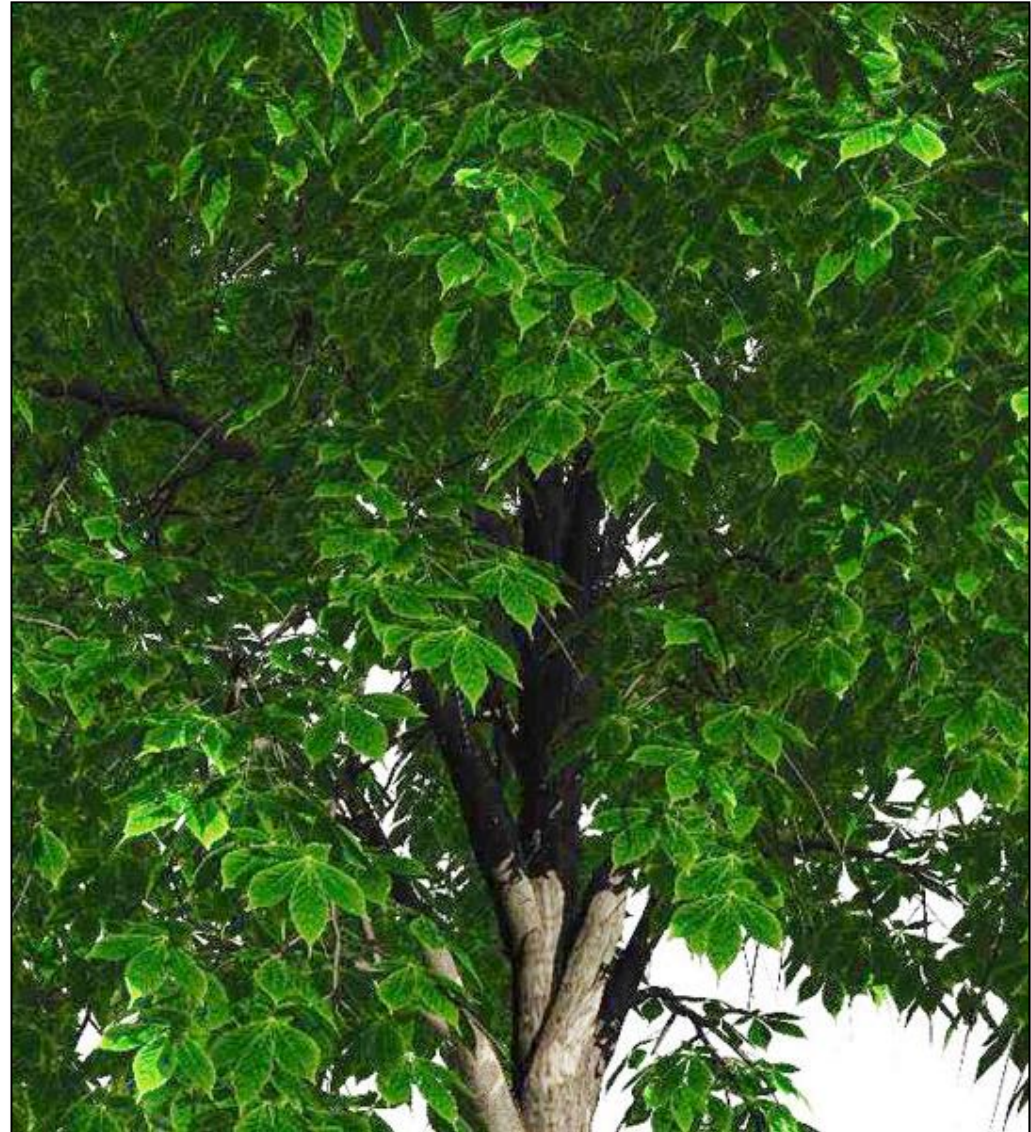
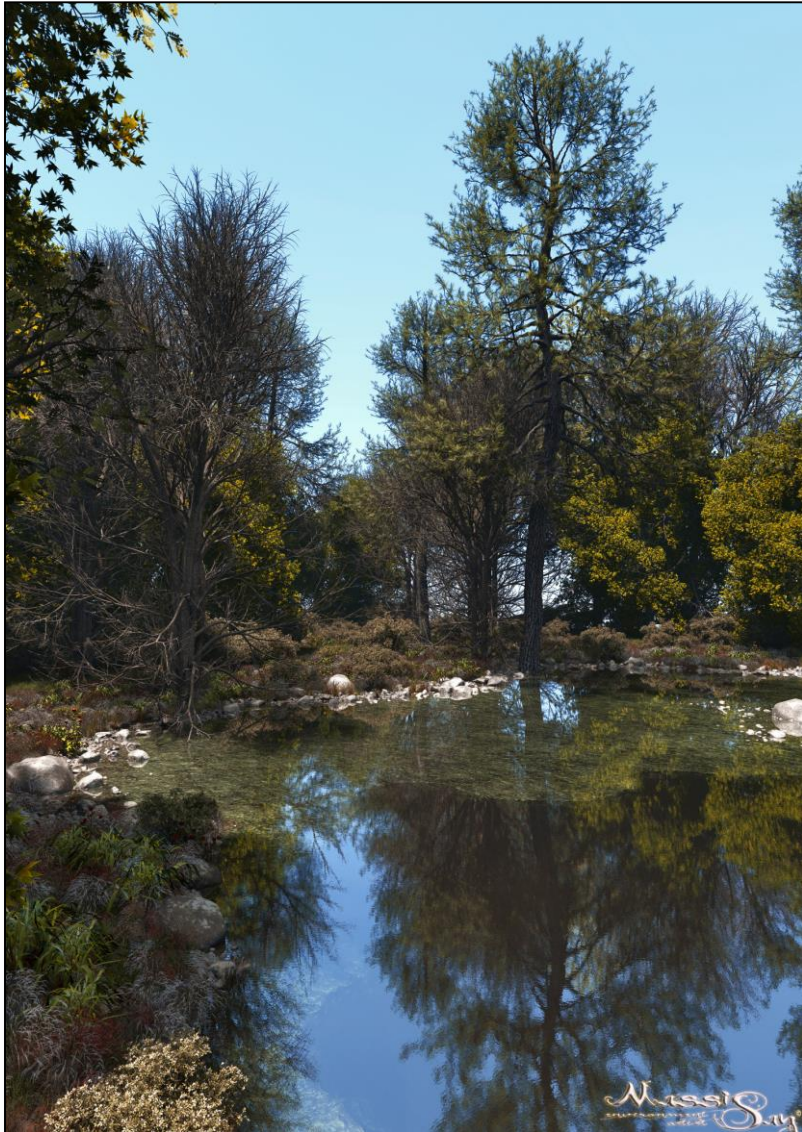
Überblick

- ▶ Motivation
- ▶ Rauschen, Turbulenz und prozedurale Texturen
- ▶ Hypertexturen und Distanzfelder
- ▶ Textursynthese
- ▶ L-Systeme
- ▶ kurzer Ausblick



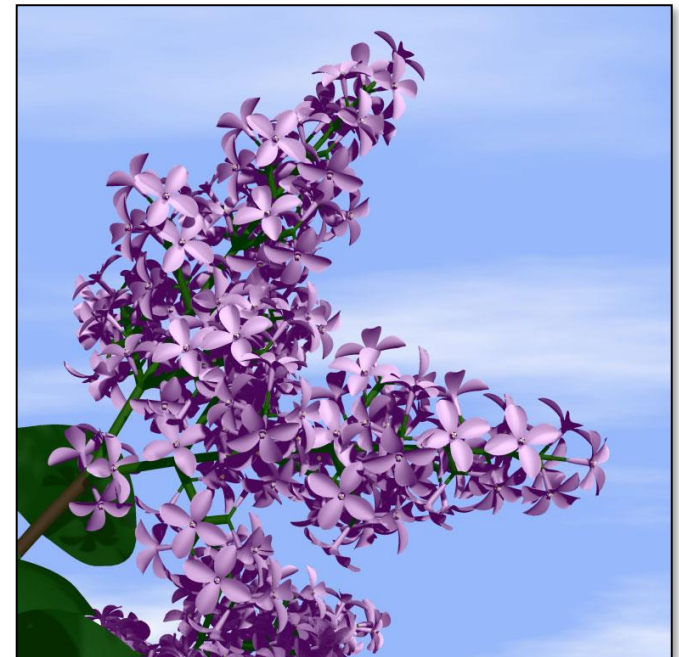
Vegetation

▶ manuelle Erstellung der Vegetation? 10^8 Dreiecke!



Lindenmayer-Systeme, L-Systeme

- ▶ theoretisches Modell für biologische Entwicklung und Morphogenese (= u.a. Entwicklung von Organismen)
 - ▶ nach Aristid Lindenmayer, 1968
 - ▶ basiert auf formalen Grammatiken
 - ▶ ursprünglich entworfen für die Beschreibung der Entwicklung von mehrzelligen Organismen
 - ▶ später: Erweiterung auf Pflanzen und Strukturen mit Verzweigungen
- ▶ Grundidee:
definiere ein komplexes Objekt durch sukzessives Ersetzen von Teilen eines einfacheren Objekts
(vgl. Wachstumsprozesse)

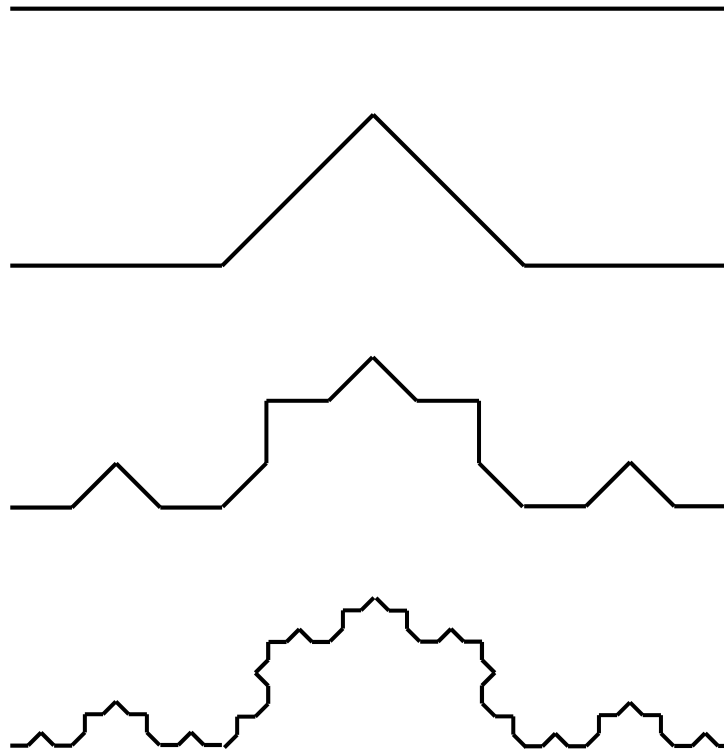


Selbstähnlichkeit durch sukzessives Ersetzen

▶ Bsp. Kochsche Kurve

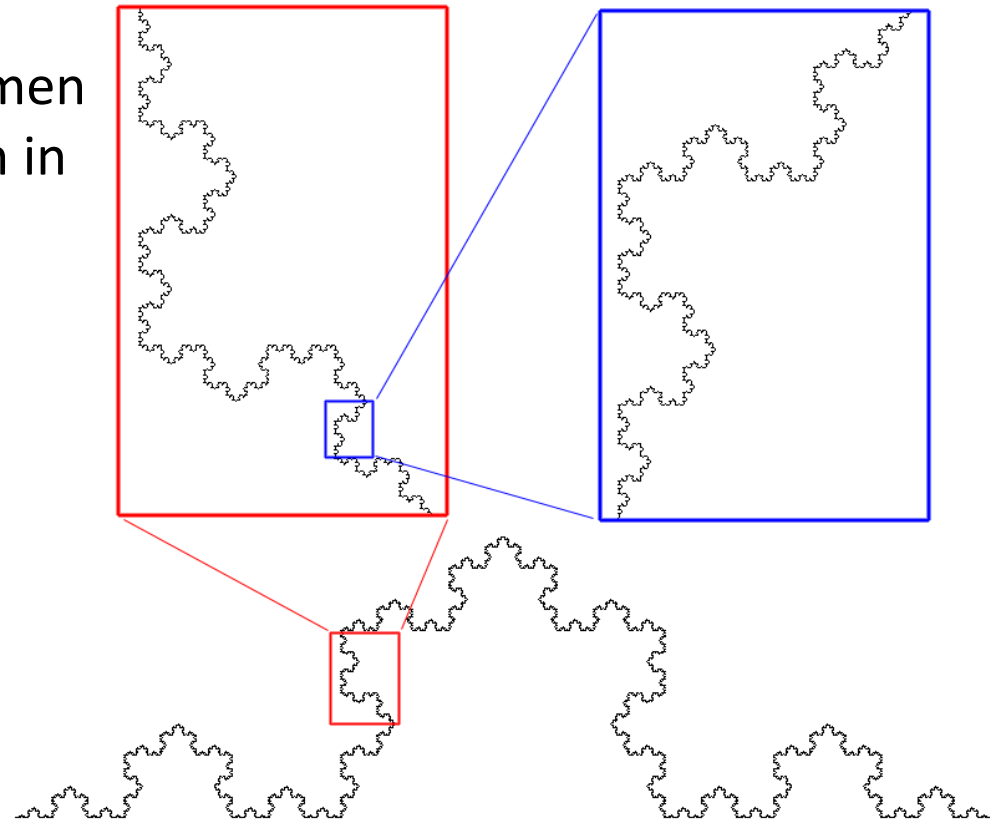
▶ beginnt mit einem Liniensegment

▶ in jeder Iteration: ersetze Linie durch 



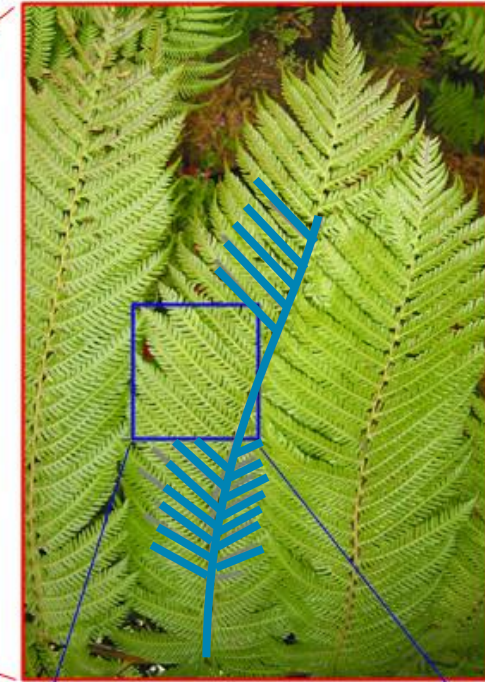
Selbstähnlichkeit in Fraktalen

- ▶ “When a piece of a shape is geometrically similar to the whole, both the shape and the cascade that generate it are called self-similar”
(Benoît Mandelbrot, 1982)
- ▶ Fraktal (nach Mandelbrot): geometrisches Muster/Gebilde mit hohem Grad an Selbstähnlichkeit, Skaleninvarianz, oft nicht-ganzzahlige Dimension
- ▶ natürlicher Fraktale sind z.B. Formen von Bergen, Flüssen, Sternhaufen in Galaxien, Blitze
- ▶ Bsp. Kochsche Kurve
 - ▶ Selbstähnlichkeit ist hier exakt
 - ▶ die Form findet sich bei Vergrößerung immer wieder



Selbstähnlichkeit in der Natur

- ▶ ... ist nicht exakt und tritt nur auf wenigen diskreten Skalen auf (hier 3)
- ▶ Selbstähnlichkeit bei Pflanzen ist ein Resultat der Wachstumsprozesse (Mandelbrot, 1982)



L-Systeme sind Ersetzungssysteme



- ▶ Grundidee: definiere komplexe Objekte durch sukzessives Ersetzen von Teilen eines einfacheren Objekts durch Ersetzungsregeln
- ▶ L-Systeme arbeiten (fast) wie **Chomskys formale Grammatiken**
- ▶ ein L-System ist definiert durch ein Quadrupel $G = (V, \Sigma, S, P)$
 - ▶ Alphabet (Zeichen) V
 - ▶ Terminalsymbole (Zeichen) $\Sigma \subset V$
 - ▶ Startwort/-symbol $S \in V^*$
 - ▶ Produktionsregeln $P \subset (V^* \setminus \Sigma^*) \times V^*$
 - ▶ **wichtiger Unterschied:** Produktionsregeln werden parallel angewendet, um biologische Prozesse nachzubilden
- ▶ ein L-System alleine macht noch kein geometrisches Objekt!
 - ▶ dazu wird noch eine Interpretationsvorschrift benötigt

Beispiel für ein D0L-System (kontext-frei und deterministisch)

▶ $G = (V, \Sigma, S, P)$ mit

▶ Alphabet $V = \{a, b\}$

▶ Startsymbol $S = b$

▶ Produktionsregeln $P = \{a \mapsto ab, b \mapsto a\}$

▶ Terminalsymbole $\Sigma = \{\}$

▶ Ableitung (5 Ersetzungsschritte, vorher festgelegt)

▶ b

▶ a

▶ ab (jetzt beide Produktionsregeln gleichzeitig anwenden...)

▶ aba

▶ $abaab$


▶ $abaababa$

Grafische Interpretation: Turtle-Grafik



- ▶ „Bildbeschreibungssprache“, wie bei einem Plotter:
Schildkröte ist ein Cursor mit Position (x, y) und Richtung α
 - ▶ Stift, der auf und ab bewegt werden kann, Farbe kontrollierbar
 - ▶ wird eine Schrittweite d und ein Winkelinkrement δ vorgegeben, dann kann die Schildkröte mit wenigen Kommandos gesteuert werden

Typische Turtle-Kommandos

- ▶ F Vorwärtsbewegung mit Länge d
 - ▶ neue Position: (x', y') mit $x' = x + d \cos \alpha$ und $y' = y + d \sin \alpha$
 - ▶ gezeichnetes Liniensegment von (x, y) nach (x', y')
- ▶ f Vorwärtsbewegung mit Länge d ohne eine Linie zu zeichnen **pen down** 
- ▶ $+$ Rechtsdrehung um den Winkel δ
 - ▶ neue Orientierung: $\alpha' = \alpha + \delta$
- ▶ $-$ Linksdrehung um den Winkel δ
 - ▶ neue Orientierung: $\alpha' = \alpha - \delta$

Turtle-Grafik

Beispiel mit Turtle-Kommandos als Zeichen des Alphabets

▶ $G = (V, \Sigma, S, P)$ mit

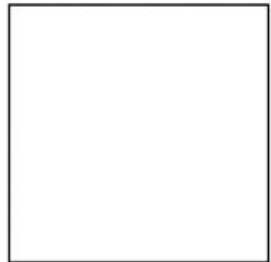
▶ Alphabet $V = \{F, +, -\}$

▶ Startwort $S = F + F + F + F$

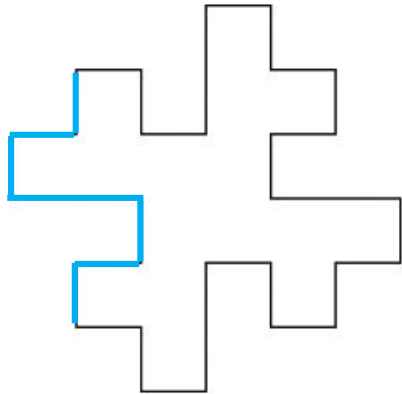
▶ Produktionsregel $P = \{F \mapsto F + F - F - FF + F + F - F\}$

▶ Terminalsymbole $\Sigma = \{\}$

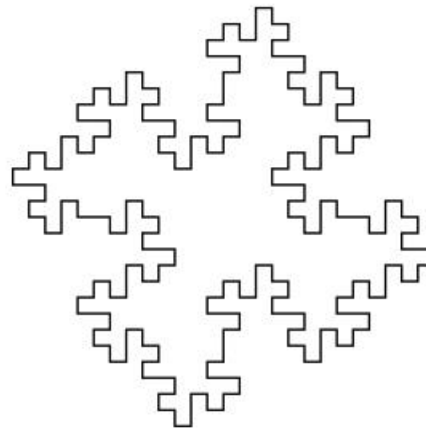
▶ $\alpha = 90^\circ$



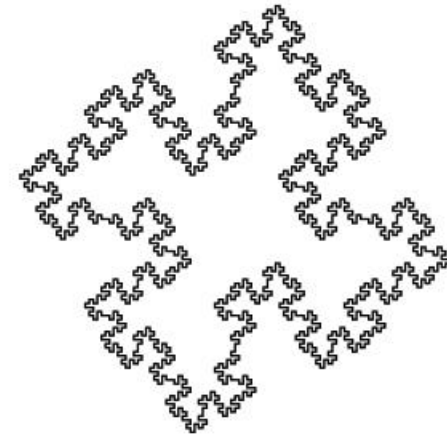
$n = 0$



$n = 1$



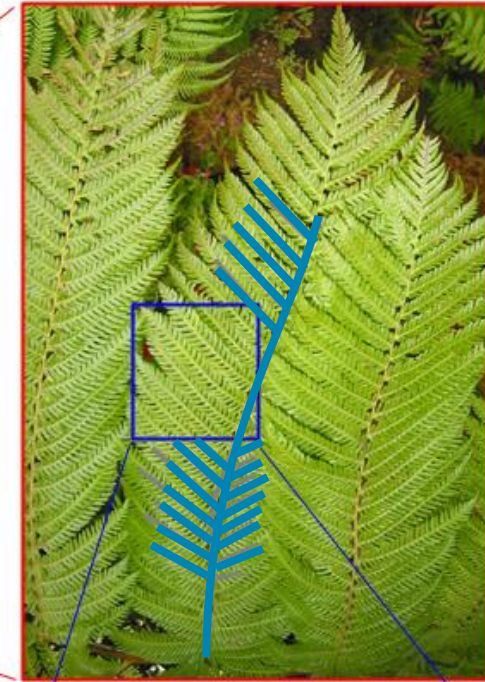
$n = 2$



$n = 3$

Wdh. Selbstähnlichkeit in der Natur

- ▶ ... ist nicht exakt und tritt nur auf wenigen diskreten Skalen auf (hier 3)
- ▶ Selbstähnlichkeit bei Pflanzen ist ein Resultat der Wachstumsprozesse (Mandelbrot, 1982)



Beispiel mit Turtle-Kommandos als Zeichen des Alphabets

▶ $G = (V, \Sigma, S, P)$ mit

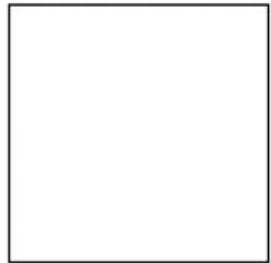
▶ Alphabet $V = \{F, +, -\}$

▶ Startwort $S = F + F + F + F$

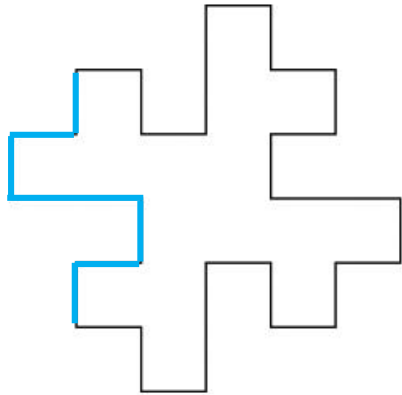
▶ Produktionsregel $P = \{F \mapsto F + F - F - FF + F + F - F\}$

▶ Terminalsymbole $\Sigma = \{\}$

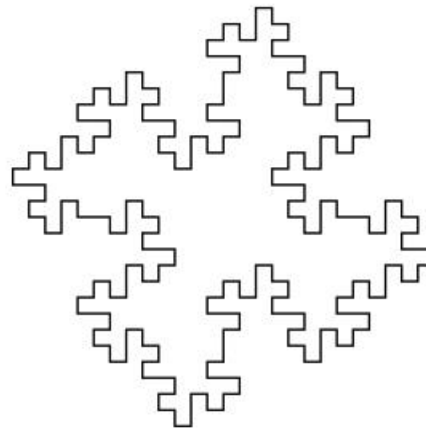
▶ $\alpha = 90^\circ$



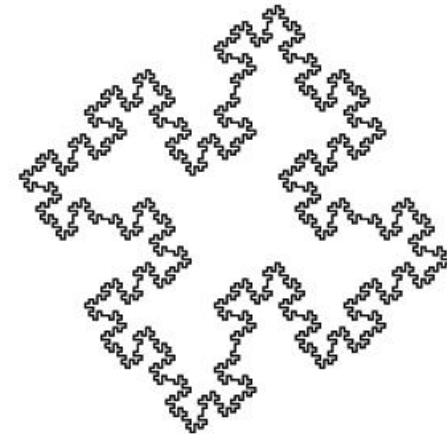
n = 0



n = 1



n = 2



n = 3

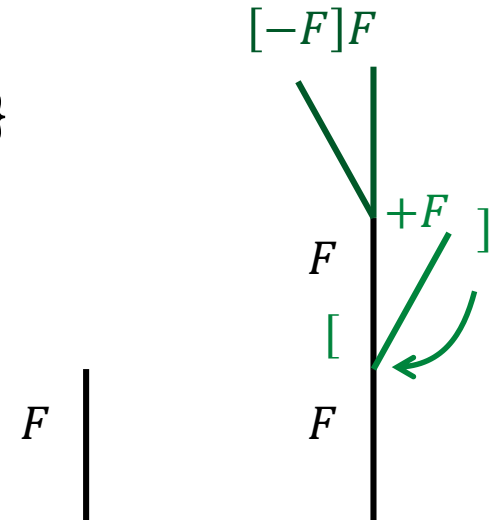
L-Systeme mit Verzweigungen



- ▶ um Verzweigungen darzustellen wird das Alphabet um zwei Symbole erweitert: „[“ und „]“
 - ▶ „[“ push: sichert den aktuellen Zustand (x, y, α) auf einem Stack
 - ▶ „]“ pop: holt den letzten gesicherten Zustand vom Stack (dabei wird keine Linie gezeichnet)

▶ Beispiel:

- ▶ Alphabet $V = \{F, +, -, [,]\}$
- ▶ Startsymbol $S = F$
- ▶ Produktionsregel $P = \{F \mapsto F[+F]F[-F]F\}$
- ▶ Terminale Symbole $\Sigma = \{F\}$
- ▶ $\alpha = 30^\circ$

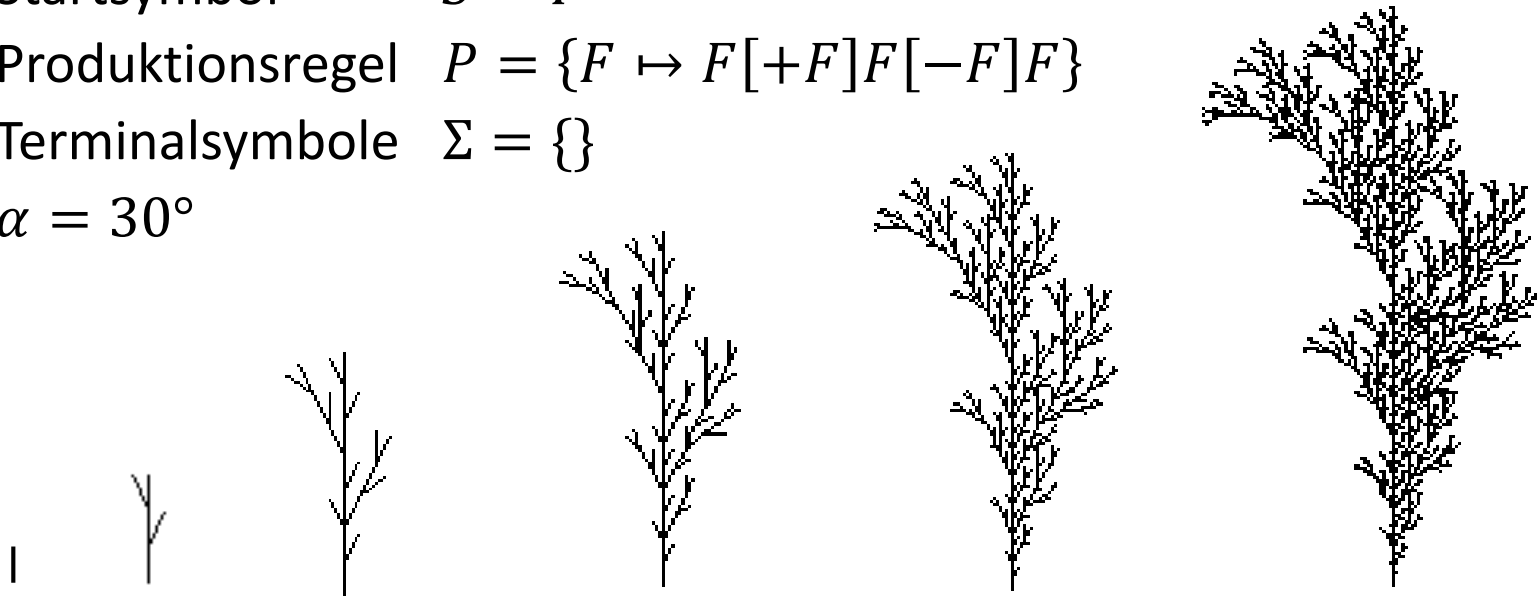


L-Systeme mit Verzweigungen

- ▶ um Verzweigungen darzustellen wird das Alphabet um zwei Symbole erweitert: „[“ und „]“
 - ▶ „[“ push: sichert den aktuellen Zustand (x, y, α) auf einem Stack
 - ▶ „]“ pop: holt den letzten gesicherten Zustand vom Stack (dabei wird keine Linie gezeichnet)

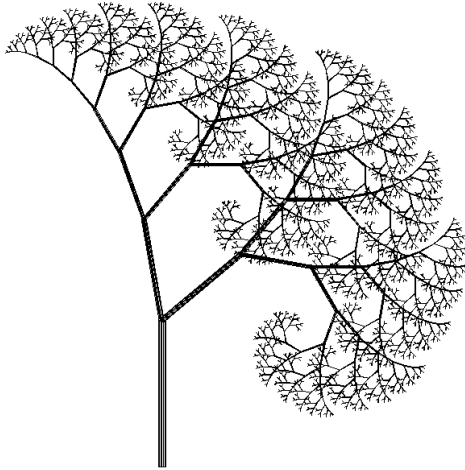
▶ Beispiel:

- ▶ Alphabet $V = \{F, +, -, [,]\}$
- ▶ Startsymbol $S = F$
- ▶ Produktionsregel $P = \{F \mapsto F[+F]F[-F]F\}$
- ▶ Terminale Symbole $\Sigma = \{F\}$
- ▶ $\alpha = 30^\circ$

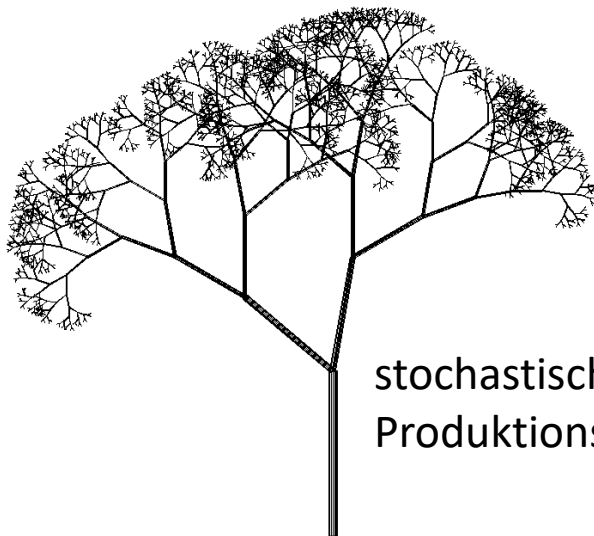


L-Systeme: Erweiterungen (siehe Bonus Material)

- ▶ parametrisierte Symbole (links-oben), stochastische Produktionsregeln (links-unten) und Mutationen (rechts), Orientierung in 3D



parametrisierte Symbole (z.B. Winkel)



stochastische Produktionsregeln



$F[+F][+F-F-F]-F[-F-F]$



$FF[+FF][-F+F][FFF]F$



$F[+F][+F-F-F]-F[-F][-F-F]$



$FF[+FF][-F+F][-F]F$



Bild: <https://en.wikipedia.org/wiki/L-system>

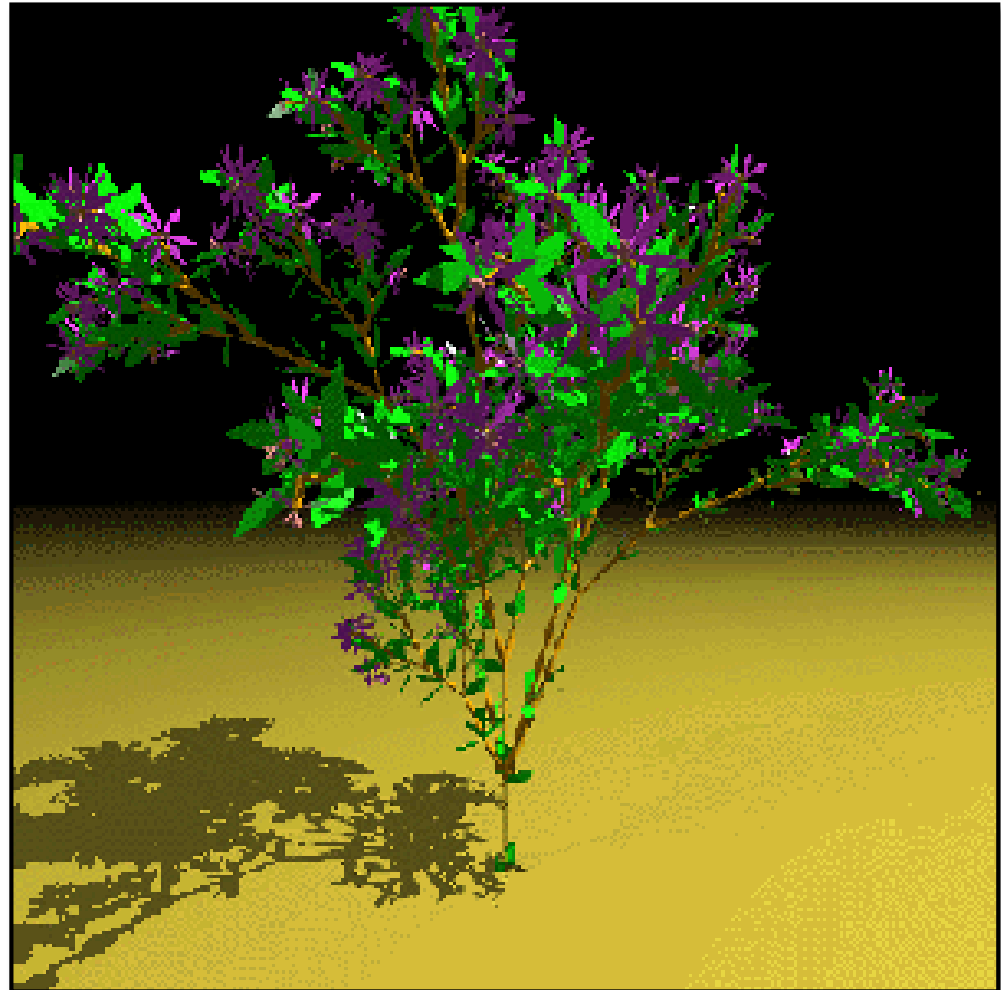
Ausblick: 3D L-Systeme

- ▶ The Algorithmic Beauty of Plants von Przemyslaw Prusinkiewicz und Aristid Lindenmayer, Buch zum Download: <http://algorithmicbotany.org/papers/#abop>
- ▶ grafische Interpretation in 3D aufwändiger, z.B. Kantenzug, der ein Polygon definiert



$n=7, \delta=22.5^\circ$

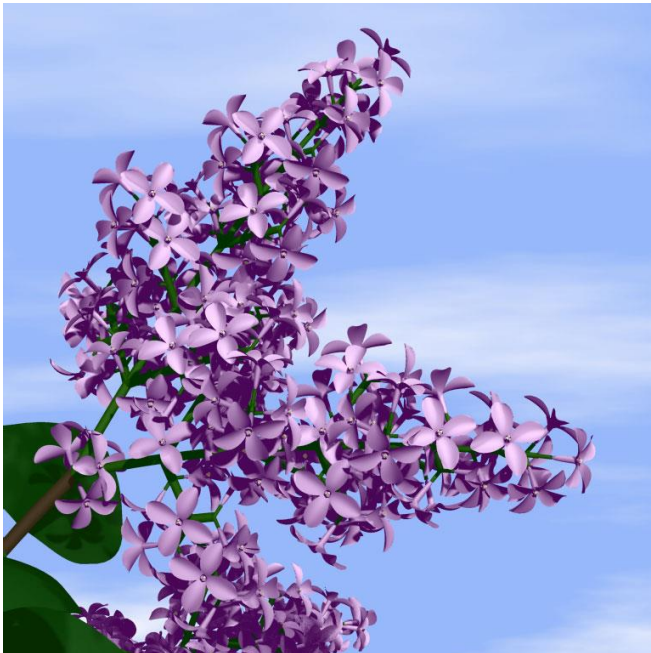
```
 $\omega$  : A  
 $p_1$  : A  $\rightarrow$  [&FL!A]///// [&FL!A]////////' [&FL!A]  
 $p_2$  : F  $\rightarrow$  S ///// F  
 $p_3$  : S  $\rightarrow$  F L  
 $p_4$  : L  $\rightarrow$  ['''^{\wedge}\{-f+f+f-|-f+f+f\}]
```



L-Systeme in der Praxis



- ▶ rein algorithmische Erzeugung bestimmter Pflanzen(teile), z.B. Knospenanordnung, ist manchmal unflexibel und erfordert viel Übung
- ▶ deshalb verfolgt man oft den Ansatz
 - ▶ parametrisierte, stochastische Ersetzungsregeln
 - ▶ Symbole mit komplexer Bedeutung
z.B. Symbol erzeugt Geometrie für ein vollständiges Blatt oder Blüte

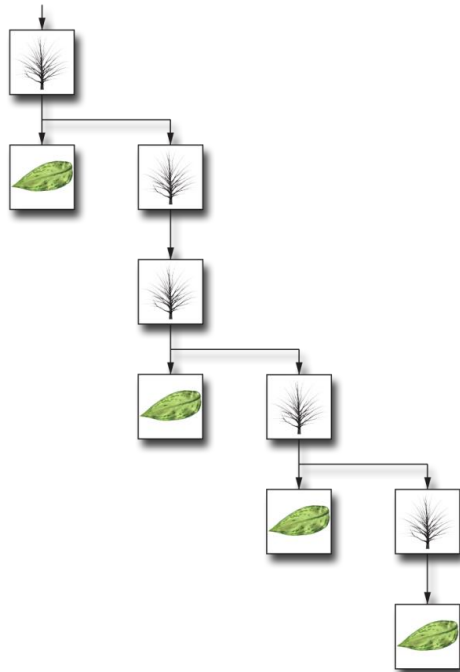


```
n=10, δ = 60 °  
#include K /* flower shape specification */  
ω : A~K  
p 1 : A : * → [-/~K] [+/~K] I(0) / (90) A  
p 2 : I(t) : !(t=2) → FI(t+1)  
p 3 : I(t) : t=2 → I(t+1) [-FFA] [+FFA]
```

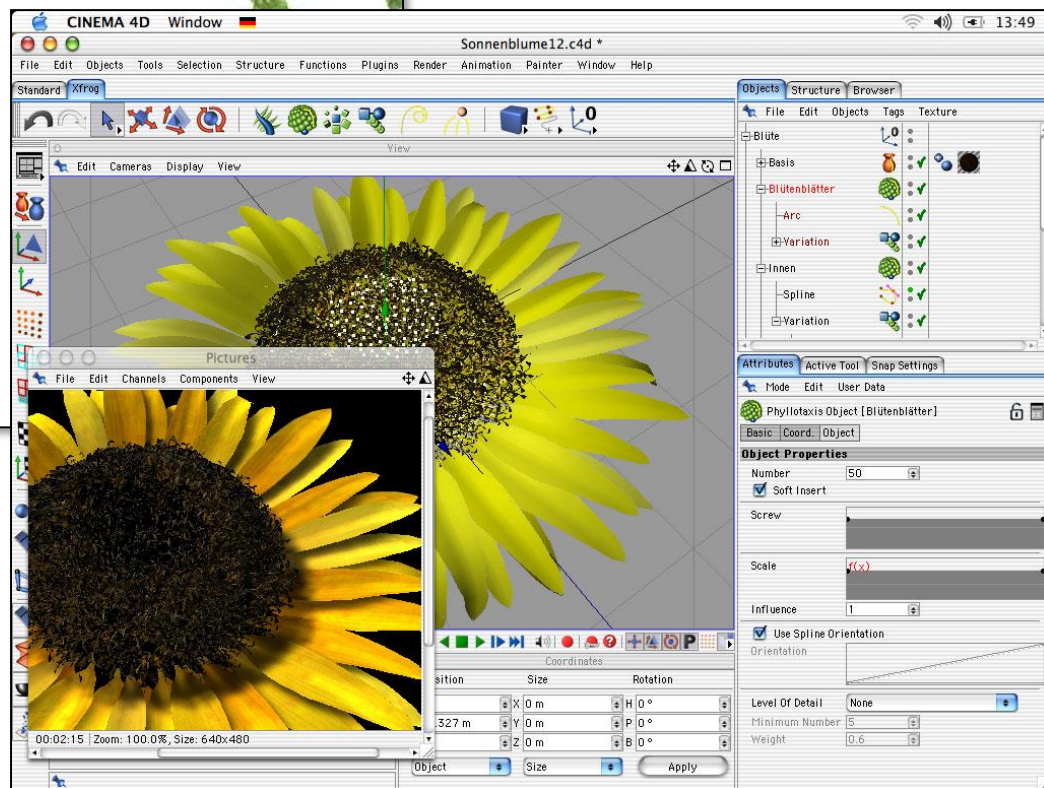
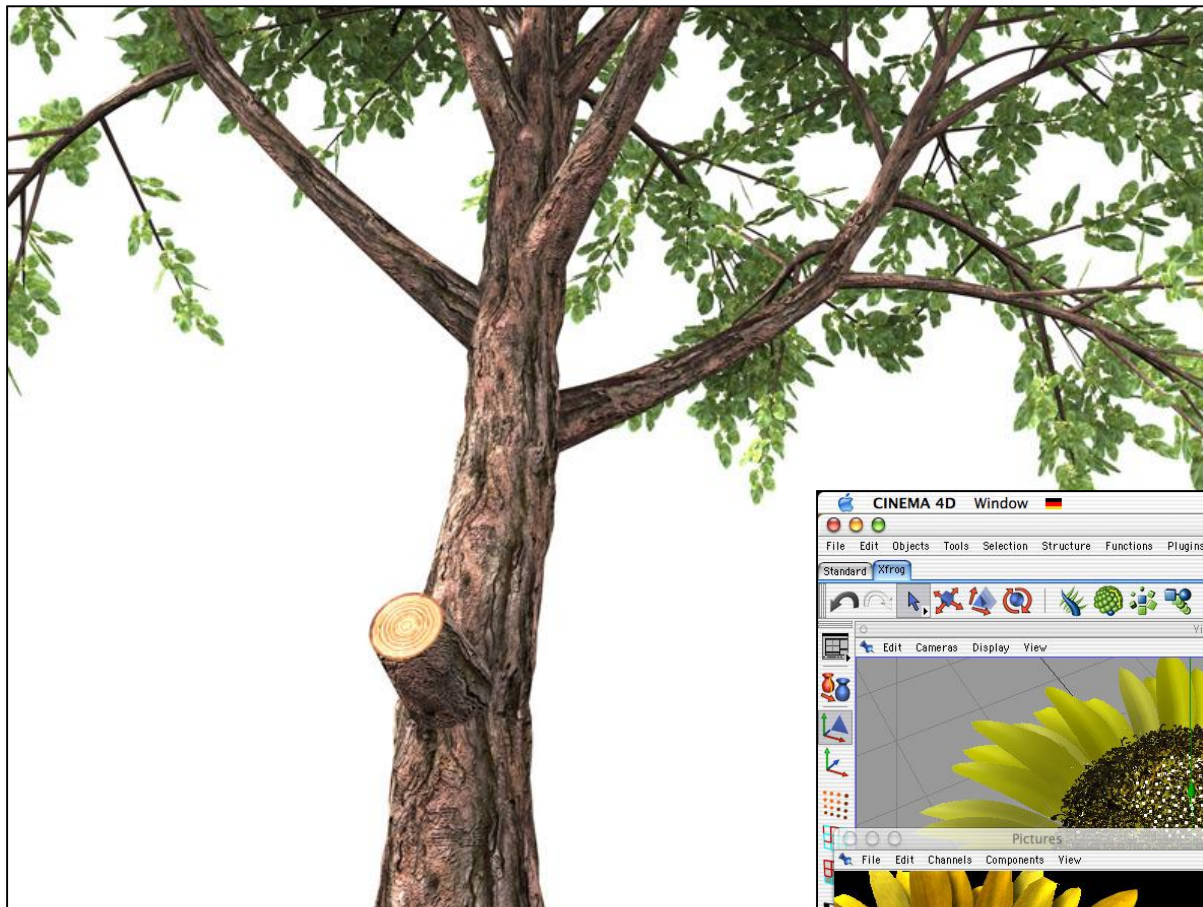
L-Systeme in der Praxis



- ▶ rein algorithmische Erzeugung bestimmter Pflanzen(teile), z.B. Knospenanordnung, ist manchmal unflexibel und erfordert viel Übung
- ▶ deshalb verfolgt man oft den Ansatz
 - ▶ parametrisierte, stochastische Ersetzungsregeln
 - ▶ Symbole mit komplexer Bedeutung
z.B. Symbol erzeugt Geometrie für ein vollständiges Blatt oder Blüte



Xfrog



- ▶ prozedurale Modellierung ist ein mächtiges Werkzeug...
- ▶ ...manchmal aber schwer zu kontrollieren oder zu erlernen
- ▶ zunehmend wichtiger: die Menge des grafische Inhalts von Spielen, Filmen etc. steigt schnell
- ▶ kompakte Beschreibung, ideale Form der „Datenkompression“



$n=7, \delta=22.5^\circ$

$\omega : A$
 $p_1 : A \rightarrow [\&FL!A] // // // ' [\&FL!A] // // // ' [\&FL!A]$
 $p_2 : F \rightarrow S // // // F$
 $p_3 : S \rightarrow F L$
 $p_4 : L \rightarrow [' ' ' \wedge \wedge \{ -f+f+f- | -f+f+f \}]$

Rendering komplexer Geometrie?





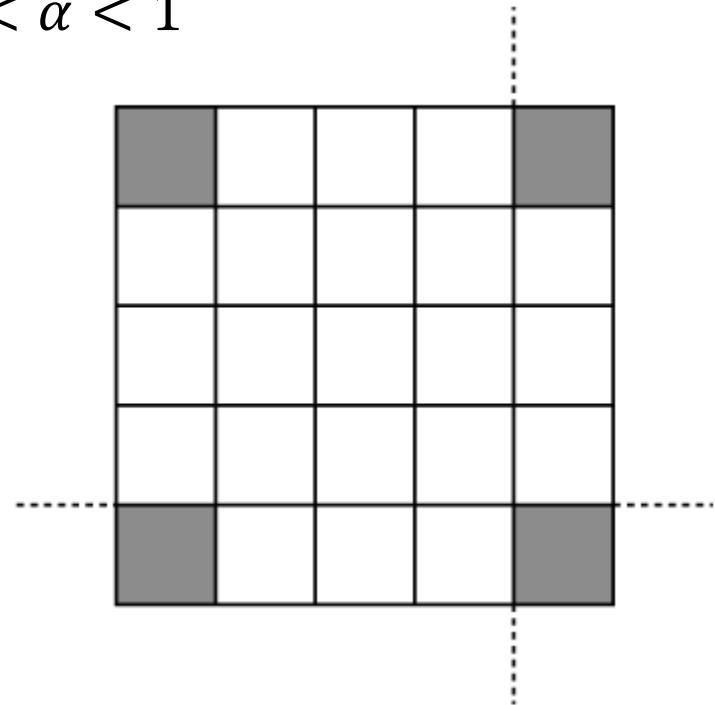
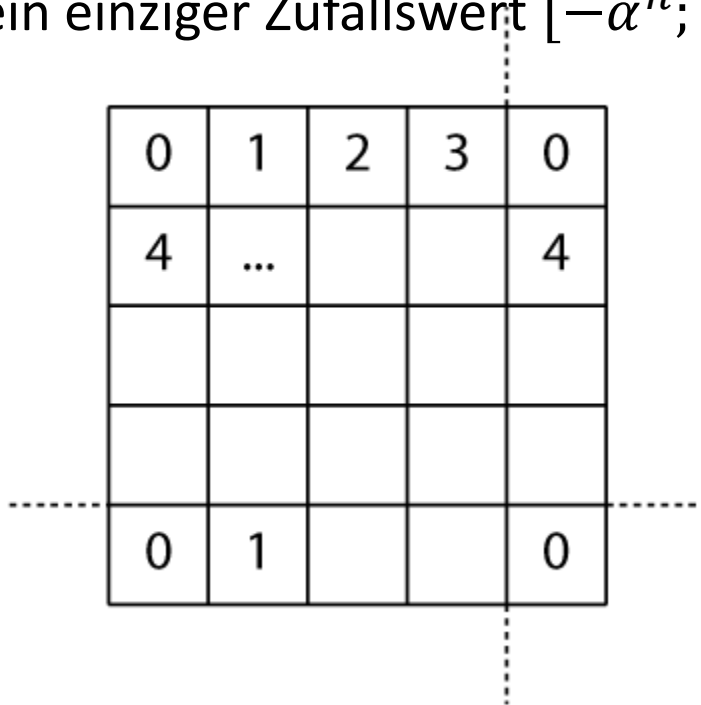
Bonus Material

Turbulenz Texturen (... schnell berechnet)



Diamond Square/Midpoint Displacement Algorithmus

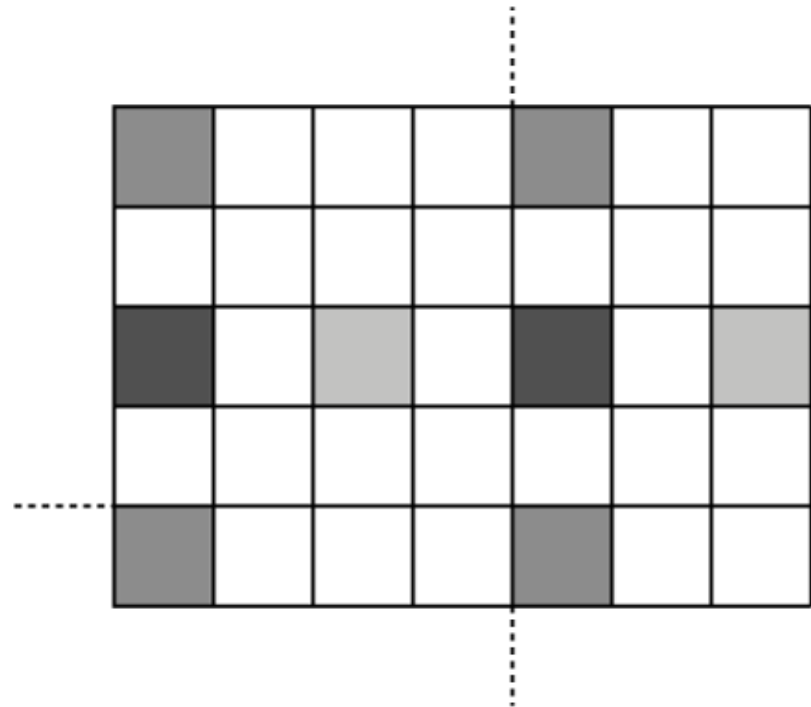
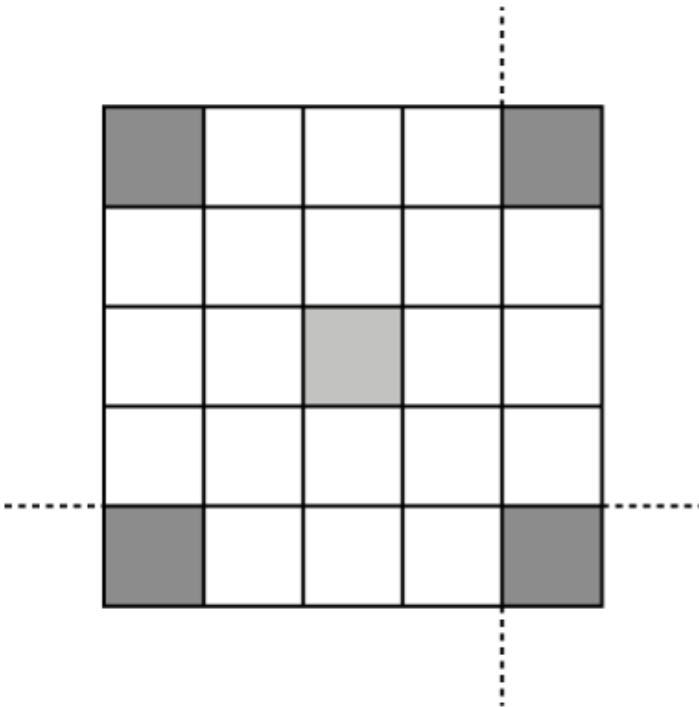
- ▶ erzeuge zunächst tiefe Frequenzen durch weit voneinander entfernte Zufallswerte, höhere Frequenzen durch Interpolation und Offset
- ▶ hier: Zugriff auf 2D Textur durch Wrapping
- ▶ Initialisierung: Schritt $n = 0$,
ein einziger Zufallswert $[-\alpha^n; \alpha^n]$, $0 < \alpha < 1$



„The Definition and Rendering of Terrain Maps“ Gavin S.P. Miller, SIGGRAPH 1986

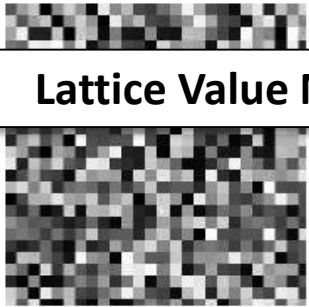
Diamond Square/Midpoint Displacement Algorithmus

- ▶ Verfeinerungsschritt $n > 0$
 - ▶ middle die 4 Werte an den Ecken und addiere Zufallszahl aus $[-\alpha^n; \alpha^n]$
 - ▶ middle je 2 Werte (horizontal bzw. vertikal), addiere Zufallszahl aus $[-\alpha^n; \alpha^n]$
- ▶ Zugriff mit Wrapping ergibt automatisch eine Textur, die ohne sichtbaren Rand kachelbar ist (engl. tileable)

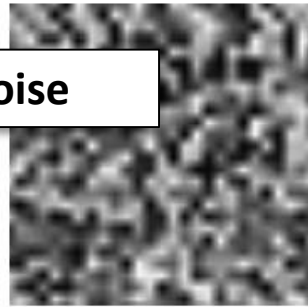


kubische Interpolation

Lattice Value Noise



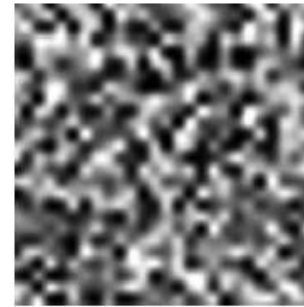
Nearest



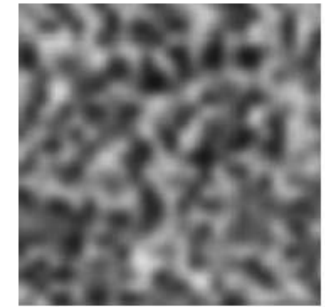
Linear



Hermite

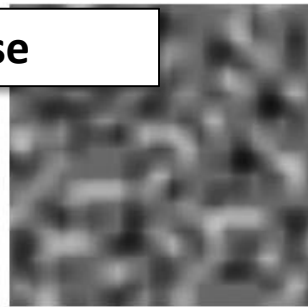


Catmull-Rom

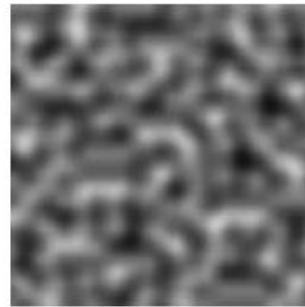


B-Spline

Gradient Noise



Linear



Cubic

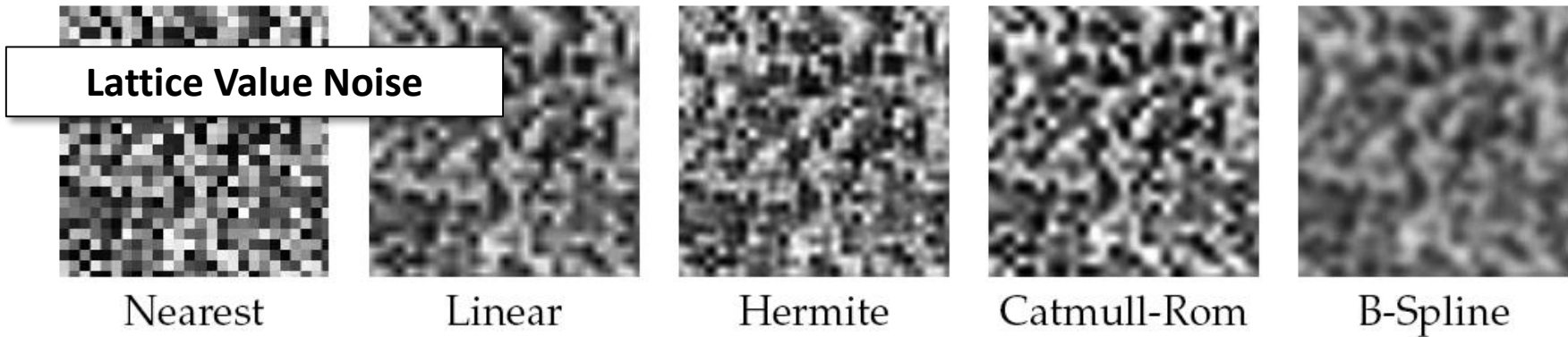


Quintic

Exkurs: Noise-Funktionen und -Interpolation

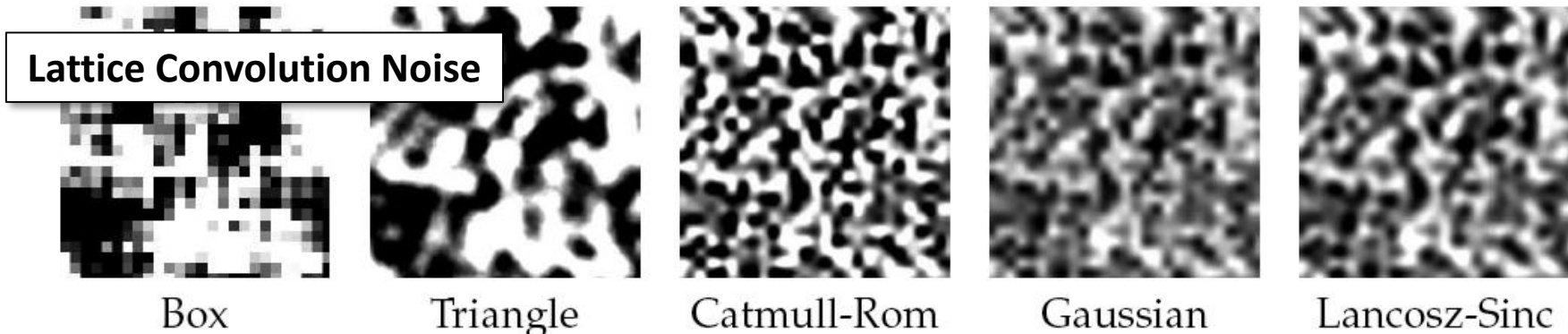
▶ Lattice Value Noise:

Gitterstruktur oft durch die Anisotropie der Filter sichtbar



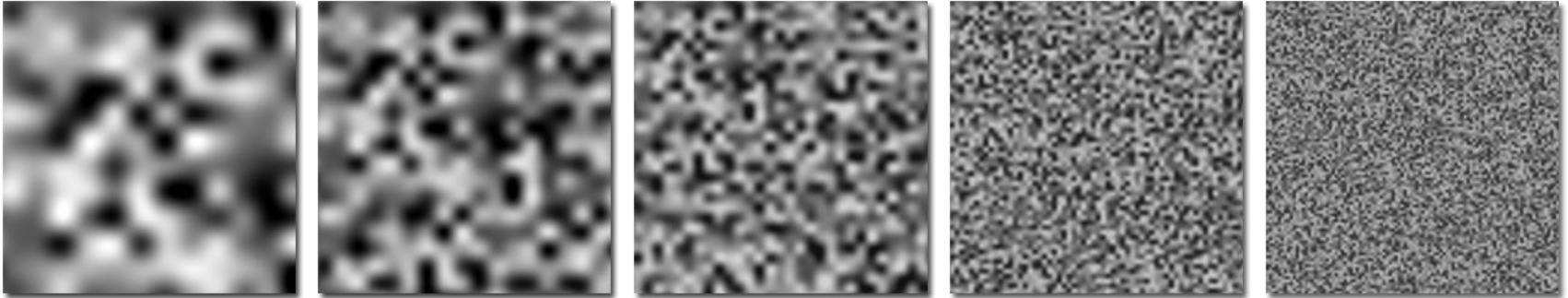
▶ Lattice Convolution Noise:

Zufallswerte sind Impulse, die mit einem radialsymmetrischen Filter gefaltet werden



Kombination von Noise-Texturen

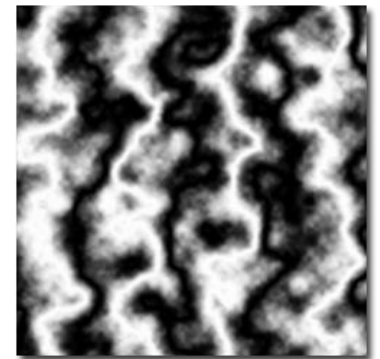
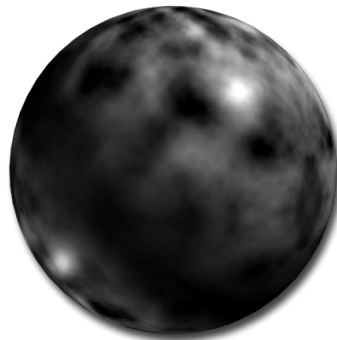
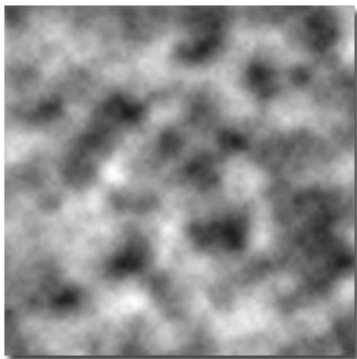
- ▶ Kombination kann additiv, multiplikativ, im Prinzip beliebig erfolgen
- ▶ Bsp. Turbulenz in 2D (also additiv)



- ▶ Bsp. Turbulenz normal und mit anschließender trigonometrischer Funkt.

$$\sum_k (1/2)^k n(2^k \mathbf{x})$$

$$\cos\left(\mathbf{x} + \sum_k (1/2)^k n(2^k \mathbf{x})\right)$$



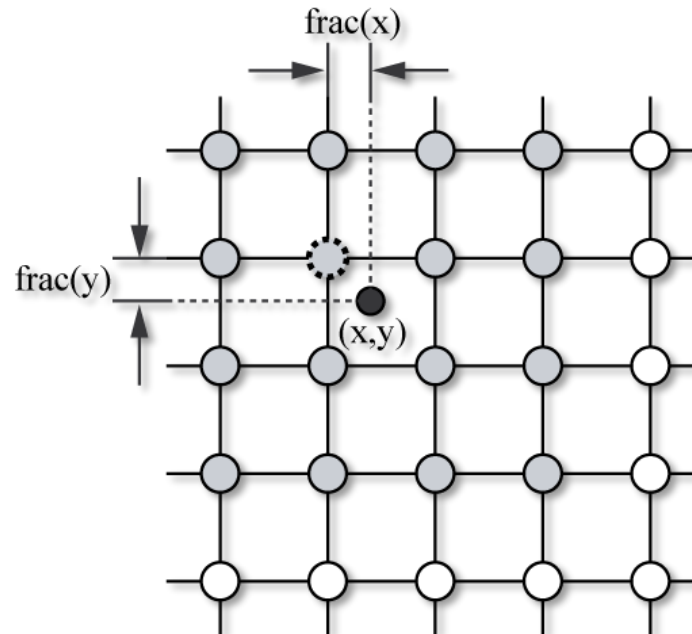
- ▶ trikubische Interpolation in 3D: 64 Textur Look-Ups

$$n(x, y, z) = \sum_{i=-1}^2 \sum_{j=-1}^2 \sum_{k=-1}^2 l([x] + i, [y] + j, [z] + k) a_{ijk}(x, y, z)$$

$$a_{ijk}(x, y, z) = R(i - \text{frac}(x))R(j - \text{frac}(y))R(k - \text{frac}(z))$$

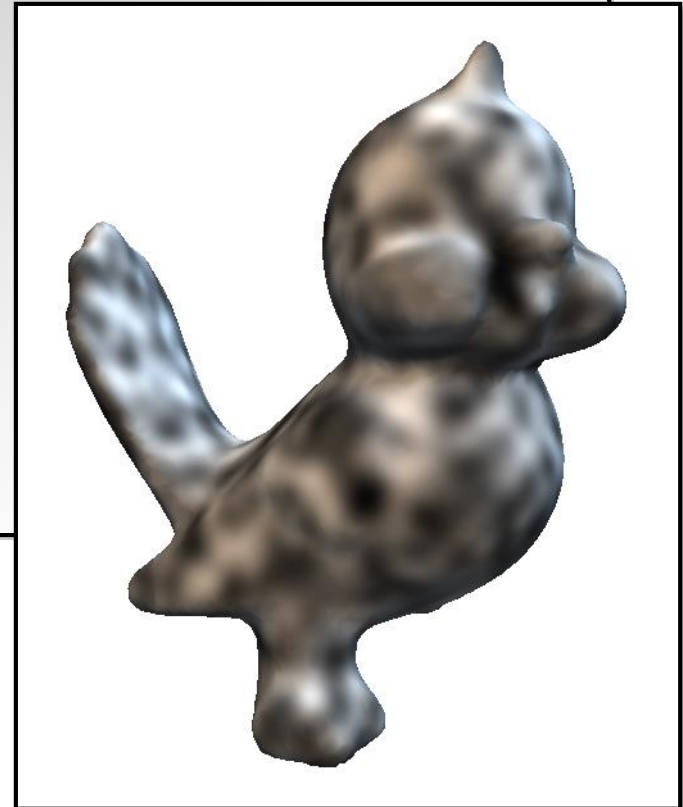
$$R(x) = \frac{1}{6} [\max(0, x + 2)^3 - 4 \max(0, x + 1)^3 + 6 \max(x, 0)^3 - 4 \max(0, x - 1)^3]$$

- ▶ Prinzip in 2D:



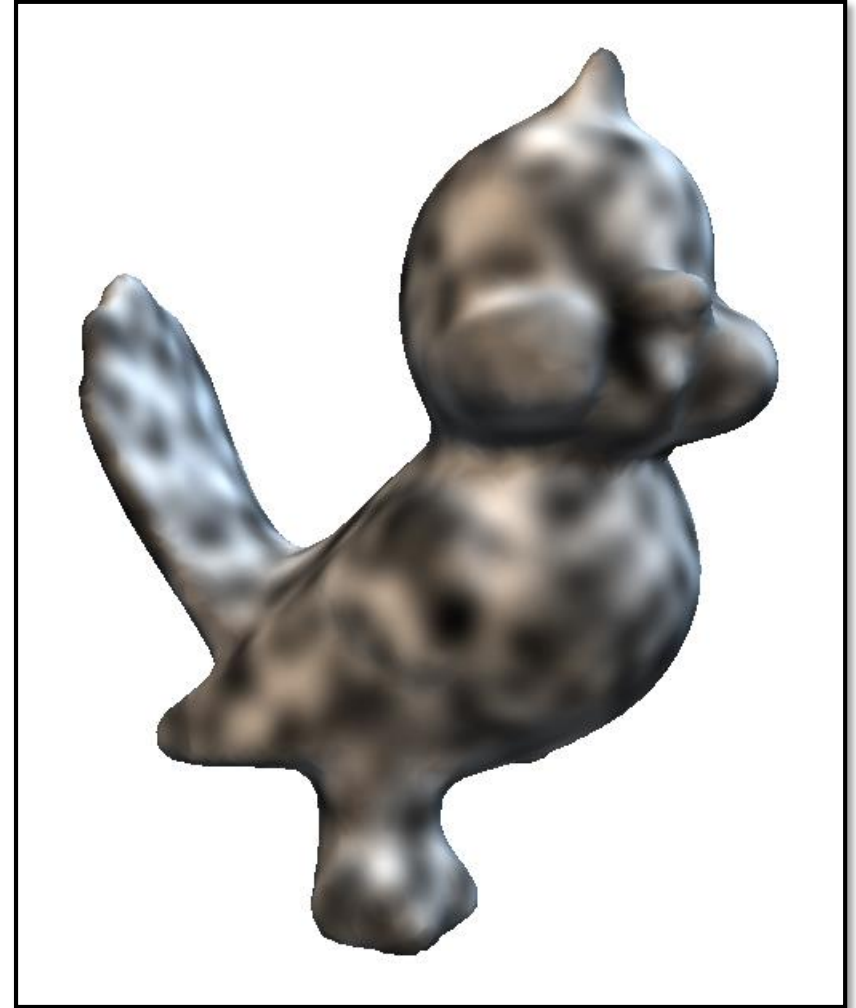
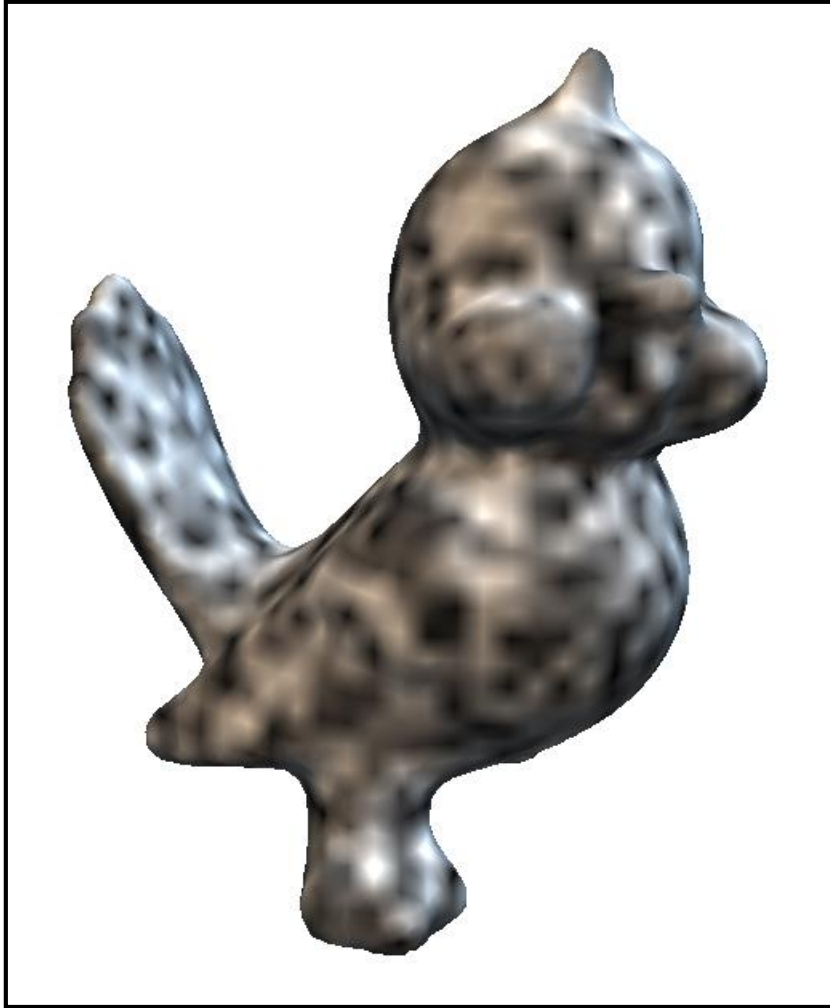
- ▶ trikubische Interpolation: 64 Textur Look-Ups

```
float tricubic_noise( vec3 v ) {  
    int3 iv = ivec3( v );           // Ganzzahlige Koordinaten  
    vec3 fr = v - iv;              // Nachkommastellen  
    ...  
    float n = 0.0;  
    for ( i = -1; i <= 2; i++ )  
        for ( j = -1; j <= 2; j++ )  
            for ( k = -1; k <= 2; k++ ) {  
                n += noise( iv + vec3(i,j,k) ) *  
                    R(i-fr.x)*R(j-fr.y)*R(k-fr.z);  
            }  
    return n;  
}
```



Prozedurale Shader

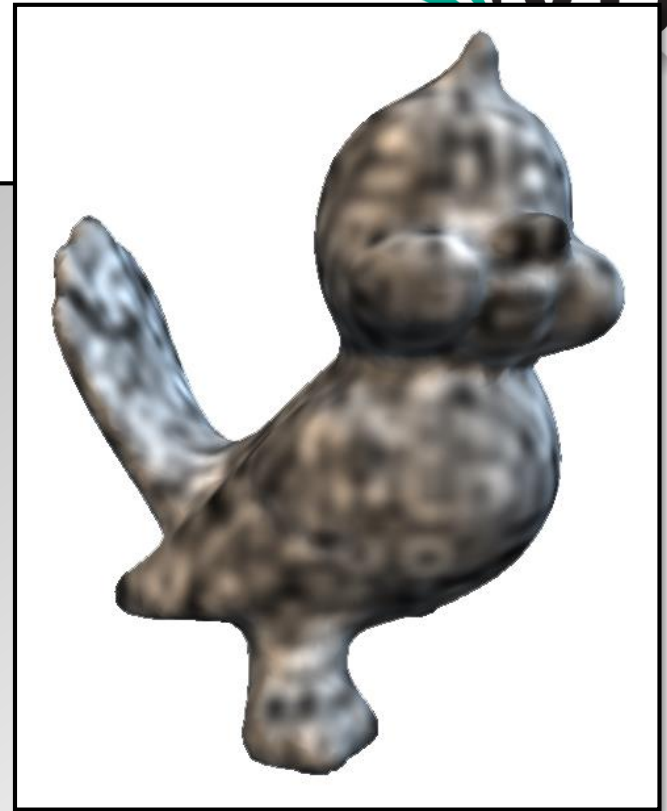
- ▶ trilineare vs. trikubische Interpolation



Prozedurale Shader

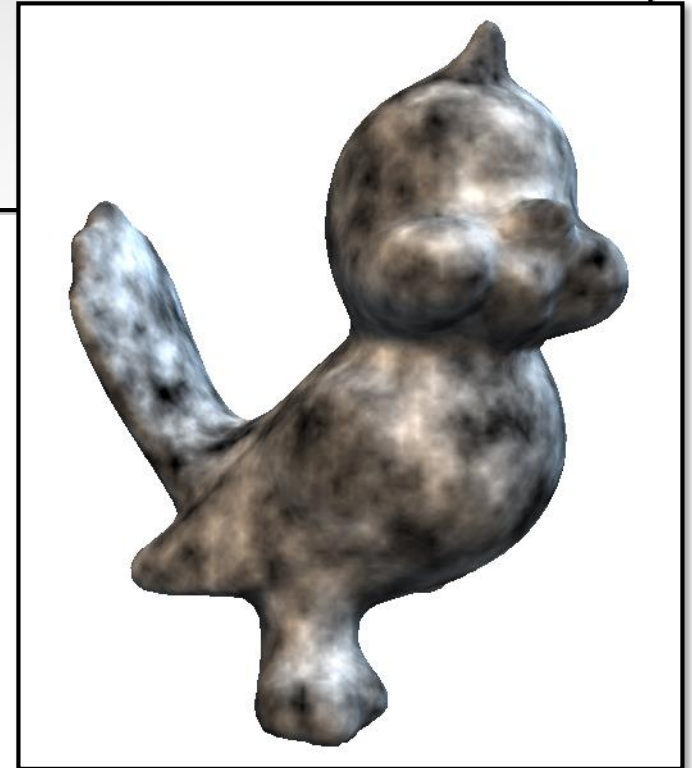
▶ 3D Gradient Noise

```
vec3 glattice( vec3 v, vec3 f ) {  
    int x = floor( v.x ), y = ..., z = ...;  
    return  
        dot( -f, g[ ( z*64 + y ) * 64 + x ] );  
}  
  
float tricubic_gnoise( vec3 v ) {  
    // Integer-Koordinaten & Nachkommateil  
    vec3 iv = floor( v );  
    vec3 fr = v - iv;  
    ...  
    a = glattice(iv+vec3(0,0,0), vec3(fr.x,fr.y,fr.z));  
    b = glattice(iv+vec3(1,0,0), vec3(1-fr.x,fr.y,fr.z ));  
    ...  
    h = glattice(iv+vec3(1,1,1), vec3(1-fr.x,1-fr.y,1-fr.z));  
    ...  
    // anschließend trilineare Interpolation der Werte a bis h,  
    // gemäß fr  
    ...  
}
```



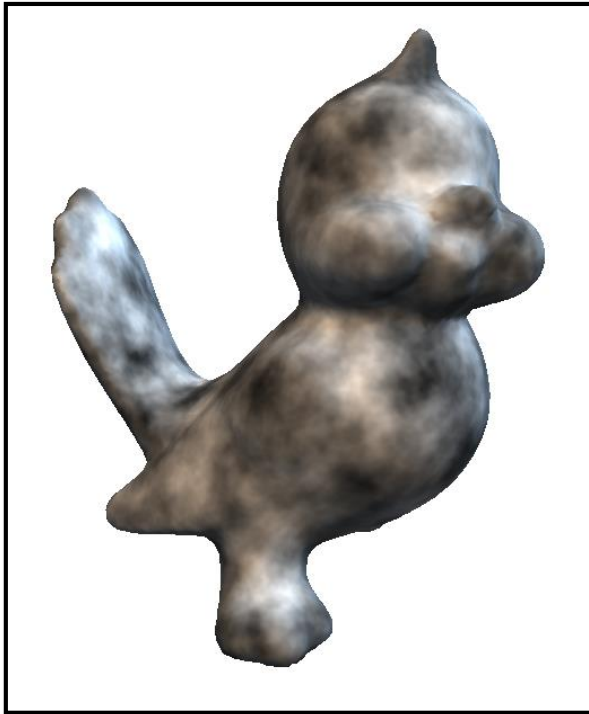
- ▶ Turbulence (hier mit trilinear interpolierter Noise)

```
// o = Anzahl Oktaven, L Lacunarity, H Fractal Increment
float turbulence( vec3 v, int o, float L, float H )
{
    float n = 0.0, w = 0.0;
    for ( int i = 0; i < o; i++ ) {
        n += trilinear_noise( v * pow( L, i ) ) / pow( L, i * H );
        w += 1.0 / pow( L, i * H );
    }
    return n / w;
}
```



Weiter Shader

- ▶ Noise als Basis für weitere Texturen



```
float turbulence(v,...)
```



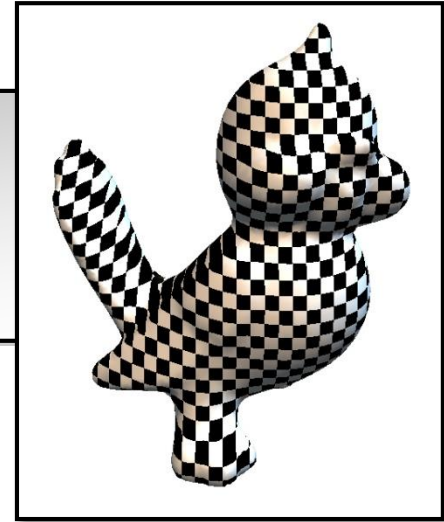
```
frac( scale *  
turbulence(v,...) )
```



```
cos( v * sc1 +  
turbulence(v,...)*sc2 )
```

- ▶ prozedurale Texturierung kann man direkt in einem Fragment Shader programmieren (Texturfilterung ist allerdings i.d.R. nicht trivial!)
- ▶ Schachbrett

```
// Eingabe: Oberflächenkoordinate x, y
int a = int( x * 30 );
int b = int( y * 30 );
vec3 color = ( a + b ) % 2;
```



- ▶ Hilfsfunktionen für Skalare und Vektoren
 - ▶ (komponentenweise) lineare Interpolation:
 $\text{lerp}(x, y, a) = x \cdot (1 - a) + y \cdot a$
 - ▶ Abrunden:
 $\text{floor}(x) = \lfloor x \rfloor$
 - ▶ Nachkommastelle:
 $\text{frac}(x) = x - \lfloor x \rfloor$

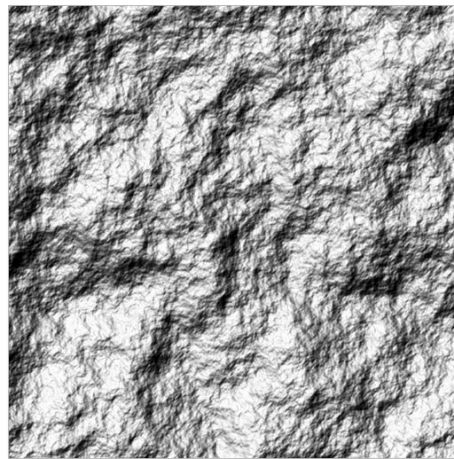
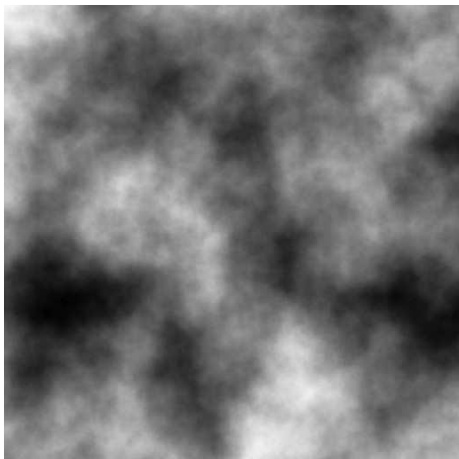
Exkurs: Höhenfelder aus Noise Funktionen

Allgemeine fractional Brownian Motion (fBM)

(nach F. Kenton Musgrave)

$$fBM(\mathbf{x}) = \sum_{i=0}^{k-1} n(\mathbf{x} \cdot L^i) L^{-iH}$$

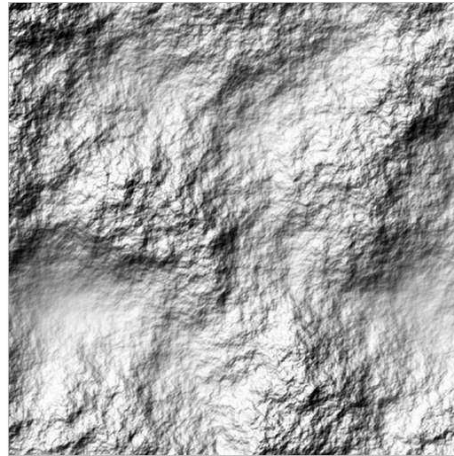
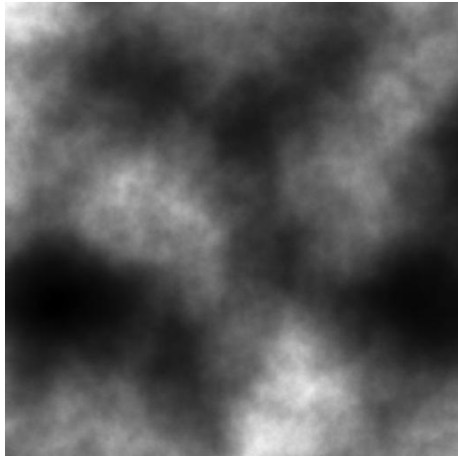
- ▶ k Anzahl der Oktaven
- ▶ L Lacunarity (Frequenzabstand zwischen Oktaven), $L = 1/f$
- ▶ H fraktales Rauschen (Gewichtung der Oktaven)
- ▶ gerade gesehener Spezialfall: Perlin's Turbulence mit $H = 1$, $L = 2$



Multifractals: Multiplikative Verknüpfung

$$M(\mathbf{x}) = \prod_{i=0}^{k-1} (n(\mathbf{x} \cdot L^i + \mathbf{o}) L^{-iH})$$

- ▶ Gewichtung von Oktaven abhängig vom Wert der vorherigen Oktave(n)
- ▶ schwache hohe Frequenzen, wo Niedrige geringere Werte annehmen
→ Nachempfinden von Erosion und Sedimentbildung



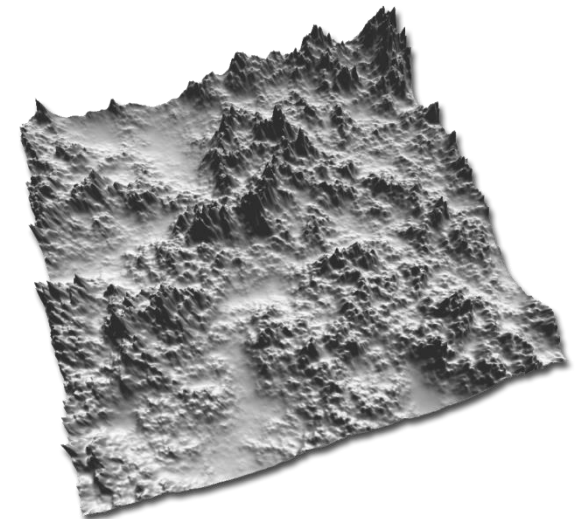
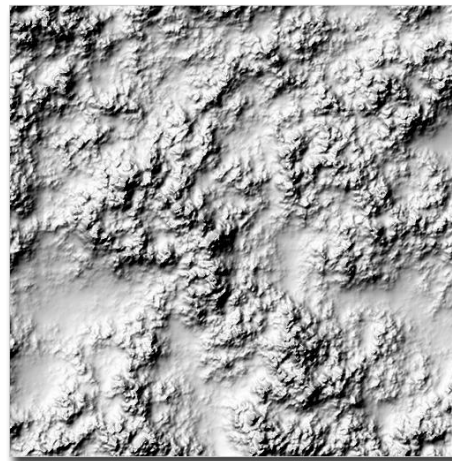
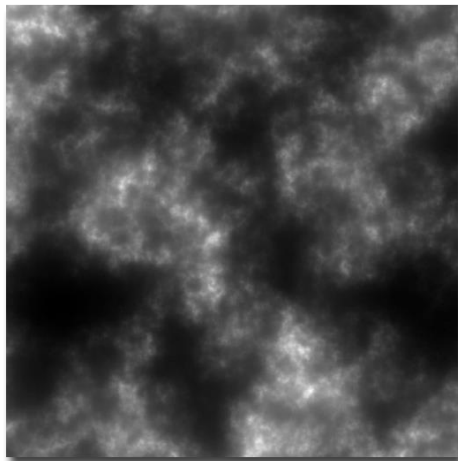
Heterogene Modelle

$$f_0(\mathbf{x}) = n(\mathbf{x} + \mathbf{o})$$

$$f_i(\mathbf{x}) = \left(n(\mathbf{x} \cdot L^i + \mathbf{o}) \right) L^{-iH} f_{i-1}(\mathbf{x})$$

$$H(\mathbf{x}) = \sum_{i=0}^{k-1} f_i(\mathbf{x})$$

- ▶ gegenseitige Beeinflussung und additive Verknüpfung der Oktaven



Exkurs: Höhenfelder aus Noise Funktionen



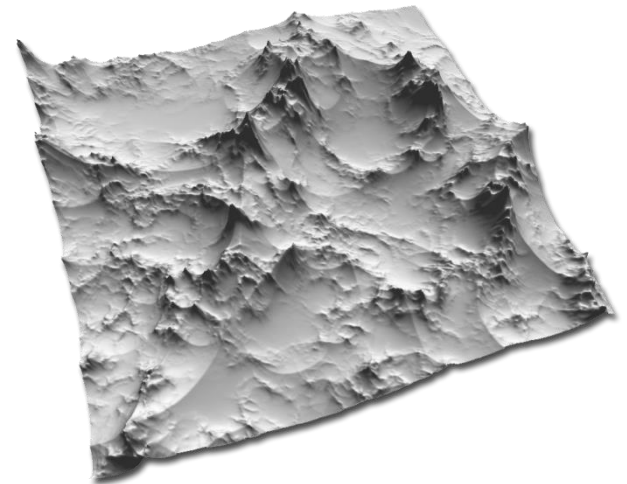
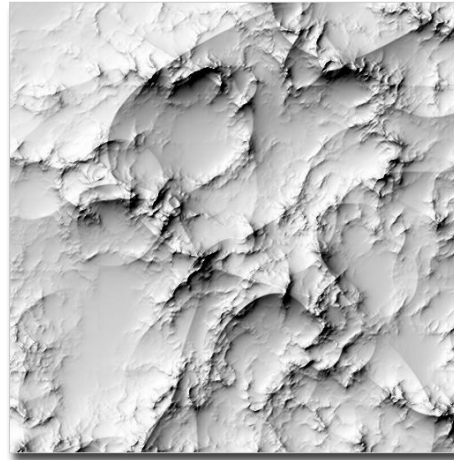
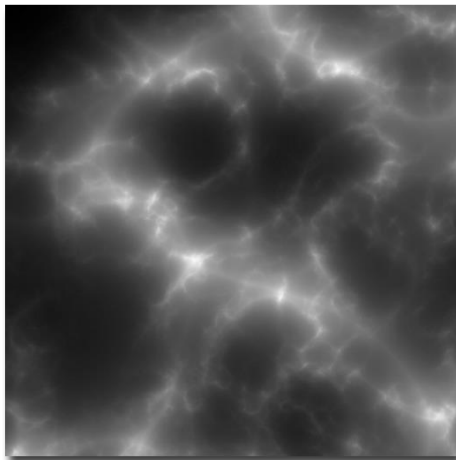
Heterogene Modelle mit Betragsfunktion

$$f_0(\mathbf{x}) = n(\mathbf{x} + \mathbf{o})$$

$$f_i(\mathbf{x}) = \left(n(\mathbf{x} \cdot L^i + \mathbf{o}) \right) L^{-iH} f_{i-1}(\mathbf{x})$$

$$H(\mathbf{x}) = \sum_{i=0}^{k-1} |f_i(\mathbf{x})| \quad n(.) \in [-1; 1]$$

► es bilden sich Bergkämme (Ridges)



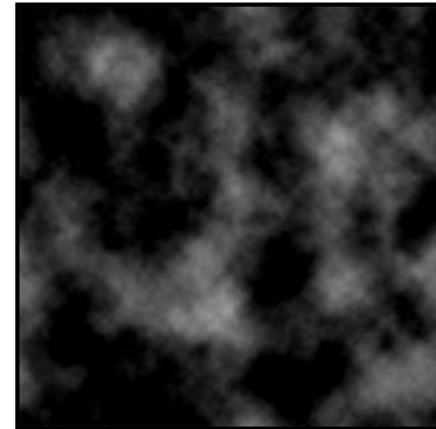
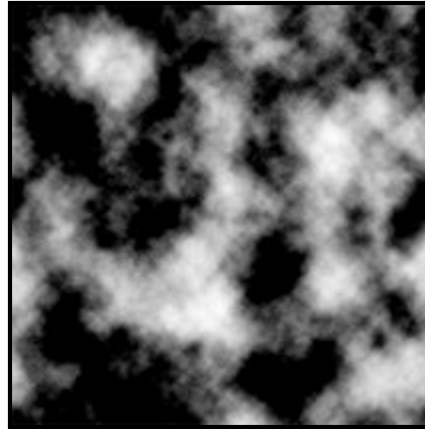
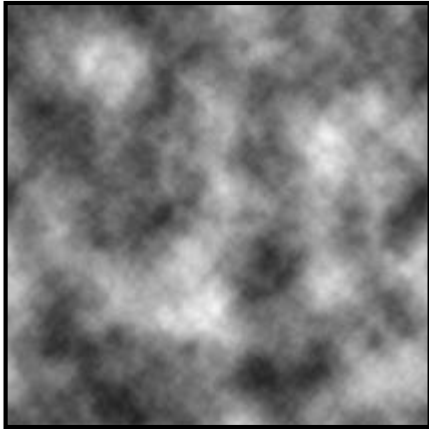
Exkurs: Prozedurale Texturierung von Landschaften

- ▶ effizient und realistisch, angepasst an Landschaftscharakteristika
- ▶ Grundidee:
 - ▶ Oberfläche der Erde besteht aus Schichten: Fels, Sand/Erde, Grass...
 - ▶ u.U. Abhängigkeit (Grass wächst nur auf Erde etc.)

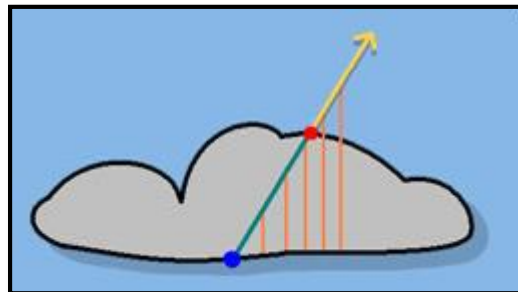


Wolkendicke durch animierte 2D Turbulenz Textur

- ▶ Animation über Offsets
- ▶ Höhe der Wolken: $h(\mathbf{x}) = \max(0, n(\mathbf{x} + \mathbf{o}) - c)$, $c = \text{const}$
- ▶ Transparenz: $\alpha(\mathbf{x}) = 1 - s^{n(\mathbf{x} + \mathbf{o})}$, Schärfe der Wolkenränder s



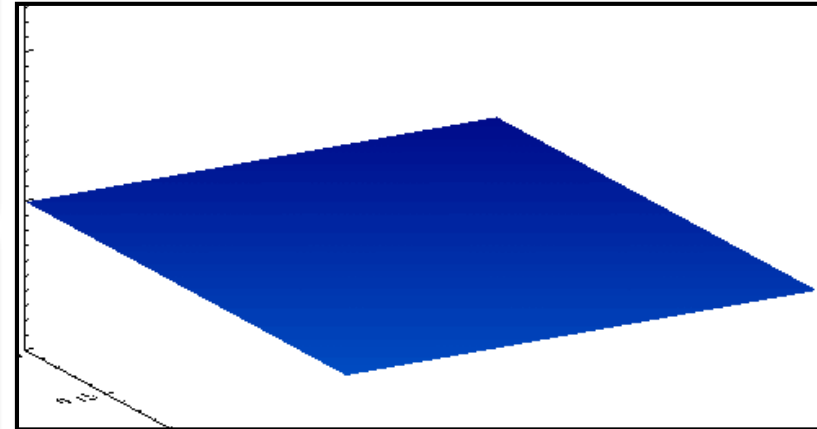
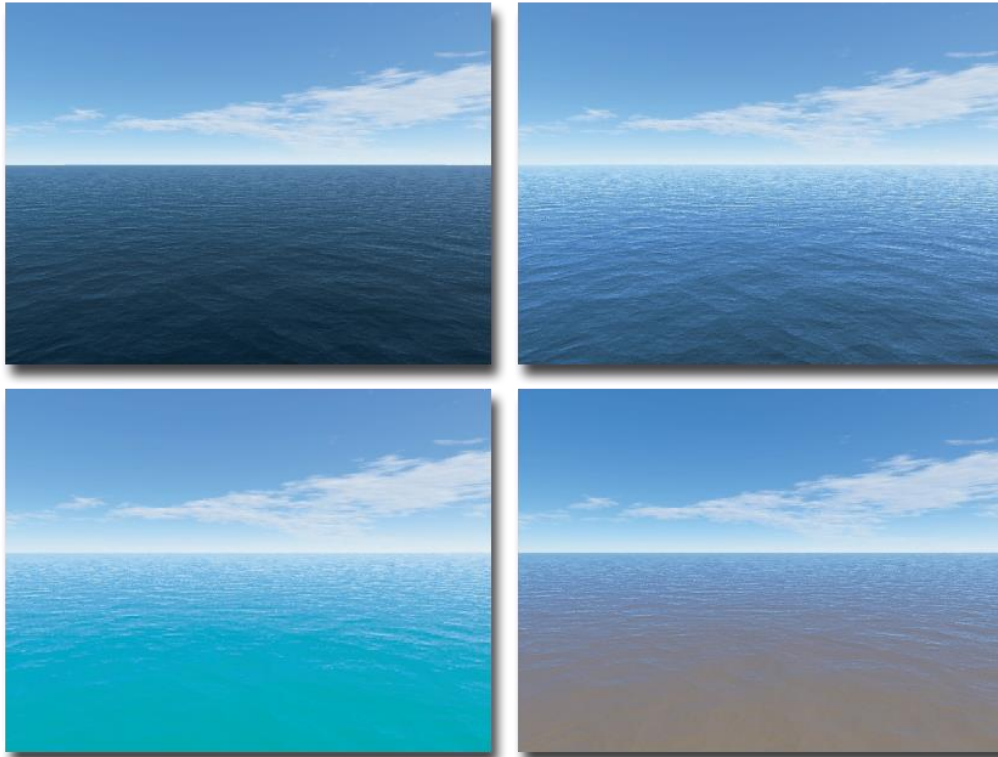
- ▶ Strahlverfolgung: je weiter der Weg durch die Wolke, desto weniger Licht





Exkurs: Darstellung von Gewässern

- ▶ Modelle für Lichtstreuung in Gewässern
- ▶ Modelle für Wasserbewegung:
 - ▶ empirische Modelle für spektrale Wellenverteilung
 - ▶ Flüssigkeitssimulation, Shallow-Water-Equations (2D)

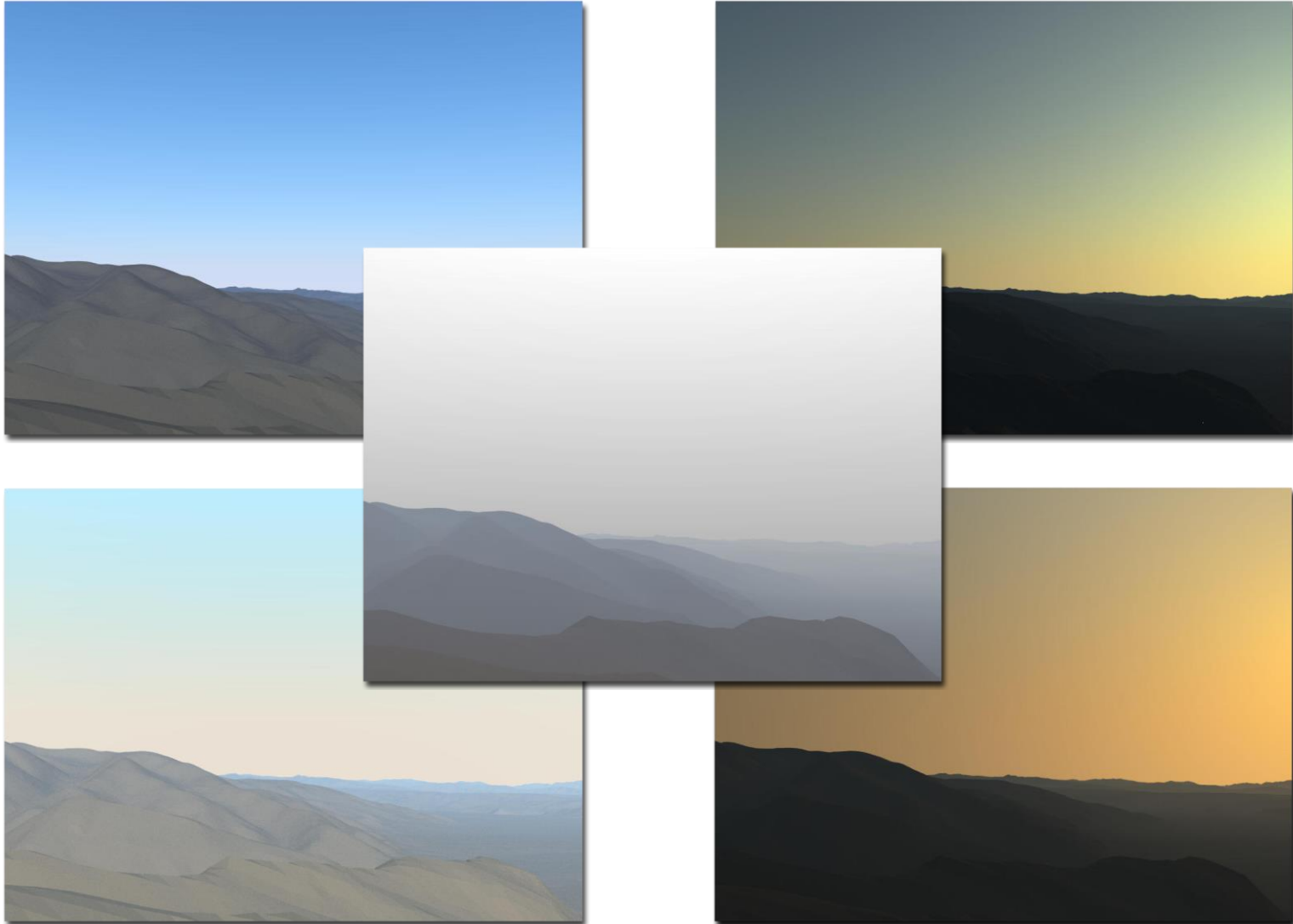






Exkurs: Sonne und Erdatmosphäre

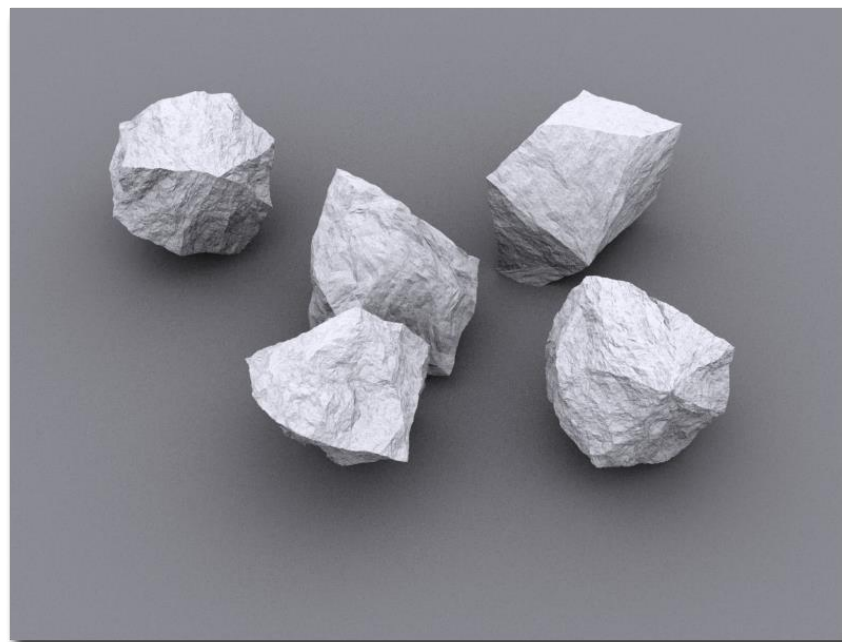
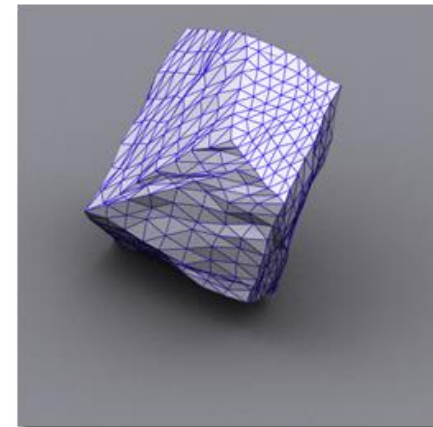
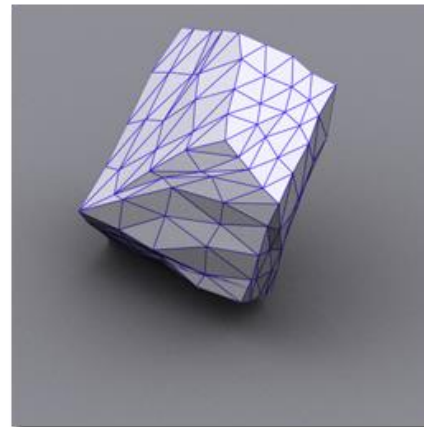
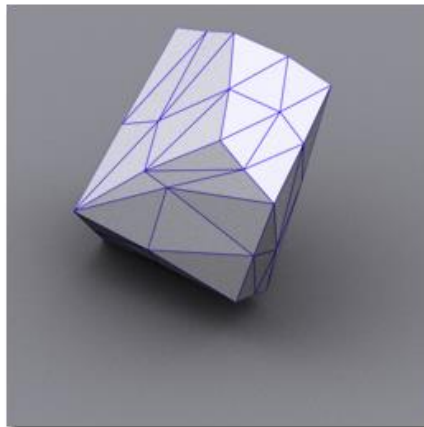
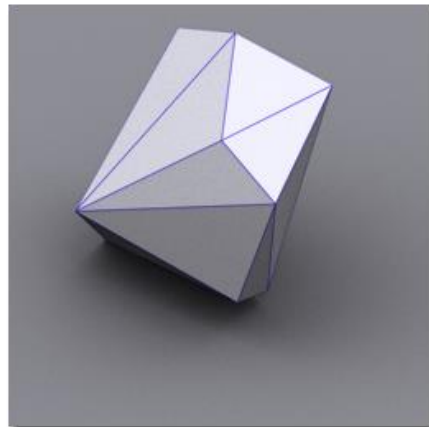
▶ Modelle für Lichtstreuung (Arcot Preetham)





Ausblick: Felsen erzeugen

- ▶ konvexe Hülle einiger Zufallspunkte
- ▶ Unterteilen und zufällige Verschiebung neuer Vertices



L-Systeme sind Ersetzungssysteme



- ▶ Grundidee: definiere komplexe Objekte durch sukzessives Ersetzen von Teilen eines einfacheren Objekts durch Ersetzungsregeln
- ▶ L-Systeme arbeiten wie Chomskys formale Grammatiken mit
 - ▶ Zeichen (Symbolen)
 - ▶ Produktionsregeln
 - ▶ wichtiger Unterschied: Produktionsregeln werden parallel angewendet, um die biologischen Prozesse nachzubilden
- ▶ ein L-System ist definiert durch ein Quadrupel $G = (V, \Sigma, S, P)$
 - ▶ Alphabet (Zeichen) V
 - ▶ Terminalsymbole (Zeichen) $\Sigma \subset V$
 - ▶ Startwort/-symbol $S \in V^*$
 - ▶ Produktionsregeln $P \subset (V^* \setminus \Sigma^*) \times V^*$
- ▶ ein L-System alleine macht noch kein geometrisches Objekt!
 - ▶ dazu wird noch eine Interpretationsvorschrift benötigt

Unterscheidung nach folgenden Kriterien

- ▶ **kontext-frei**: Produktionsregeln $P \subset (V \setminus \Sigma) \times V^*$
- ▶ **kontext-sensitiv**: enthält Produktionsregeln die ein Symbol nur ersetzen, wenn es bestimmte Nachbarsymbole hat

- ▶ **deterministisch**: genau eine Produktionsregel für jedes Symbol
- ▶ **stochastisch**: gibt es mehrere anwendbare Produktionsregeln, so wird eine Regel mit einer bestimmten Wahrscheinlichkeit angewendet

- ▶ **D0L-Systeme** sind kontext-frei und deterministisch
 - ▶ es wird eine vorher festgelegte Anzahl an Ersetzungsschritten durchgeführt

Beispiel für ein D0L-System (kontext-frei und deterministisch)

▶ $G = (V, \Sigma, S, P)$ mit

▶ Alphabet $V = \{a, b\}$

▶ Startsymbol $S = b$

▶ Produktionsregeln $P = \{a \mapsto ab, b \mapsto a\}$

▶ Ableitung (5 Ersetzungsschritte vorher festgelegt)

▶ b

▶ a

▶ ab

▶ aba

▶ $abaab$

▶ $abaababa$

- ▶ L-Systeme waren als formale Theorie für biologische Entwicklung gedacht – geometrische Aspekte wurden zunächst nicht berücksichtigt
- ▶ grafische Interpretation der Zeichenketten basierend auf Turtle-Grafik
 - ▶ damit war fraktales Modellieren möglich

- ▶ Turtle-Grafik (Programmiersprache Logo):

- ▶ die Schildkröte ist ein Cursor mit

- ▶ Position (x, y)

- ▶ Richtung α



- ▶ Stift, der auf und ab bewegt werden kann, Farbe kontrollierbar

- ▶ wird eine Schrittweite d und ein Winkelinkrement δ vorgegeben, dann kann die Schildkröte mit wenigen Kommandos gesteuert werden

Typische Turtle-Kommandos

- ▶ F Vorwärtsbewegung mit Länge d
 - ▶ neue Position: (x', y') mit $x' = x + d \cos \alpha$ und $y' = y + d \sin \alpha$
 - ▶ gezeichnetes Liniensegment von (x, y) nach (x', y')

- ▶ f Vorwärtsbewegung mit Länge d ohne eine Linie zu zeichnen

- ▶ $+$ Rechtsdrehung um den Winkel δ
 - ▶ neue Orientierung: $\alpha' = \alpha + \delta$

- ▶ $-$ Linksdrehung um den Winkel δ
 - ▶ neue Orientierung: $\alpha' = \alpha - \delta$

Beispiel

▶ $G = (V, \Sigma, S, P)$ mit

▶ Alphabet

$$V = \{F, +, -\}$$

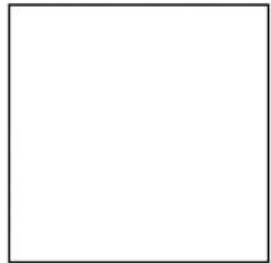
▶ Startwort

$$S = F + F + F + F$$

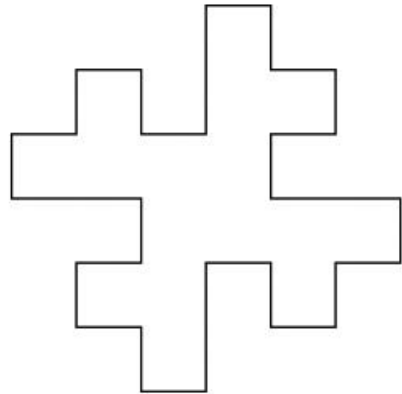
▶ Produktionsregel

$$P = \{F \mapsto F + F - F - FF + F + F - F\}$$

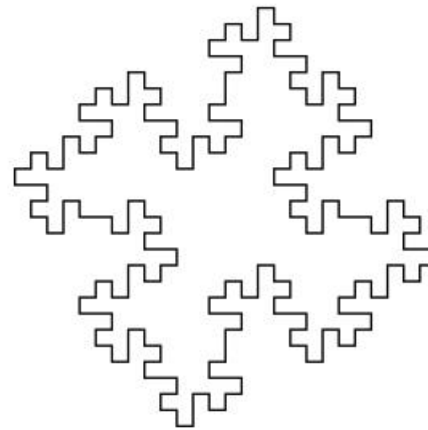
▶ $\alpha = 90^\circ$



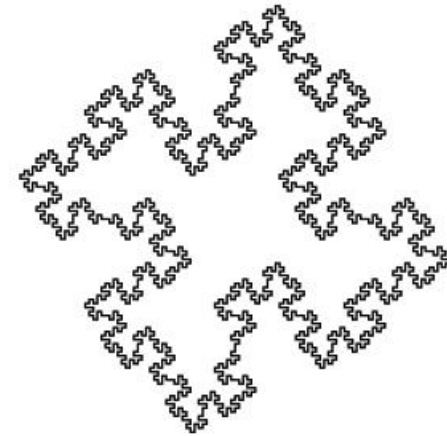
$n = 0$



$n = 1$



$n = 2$



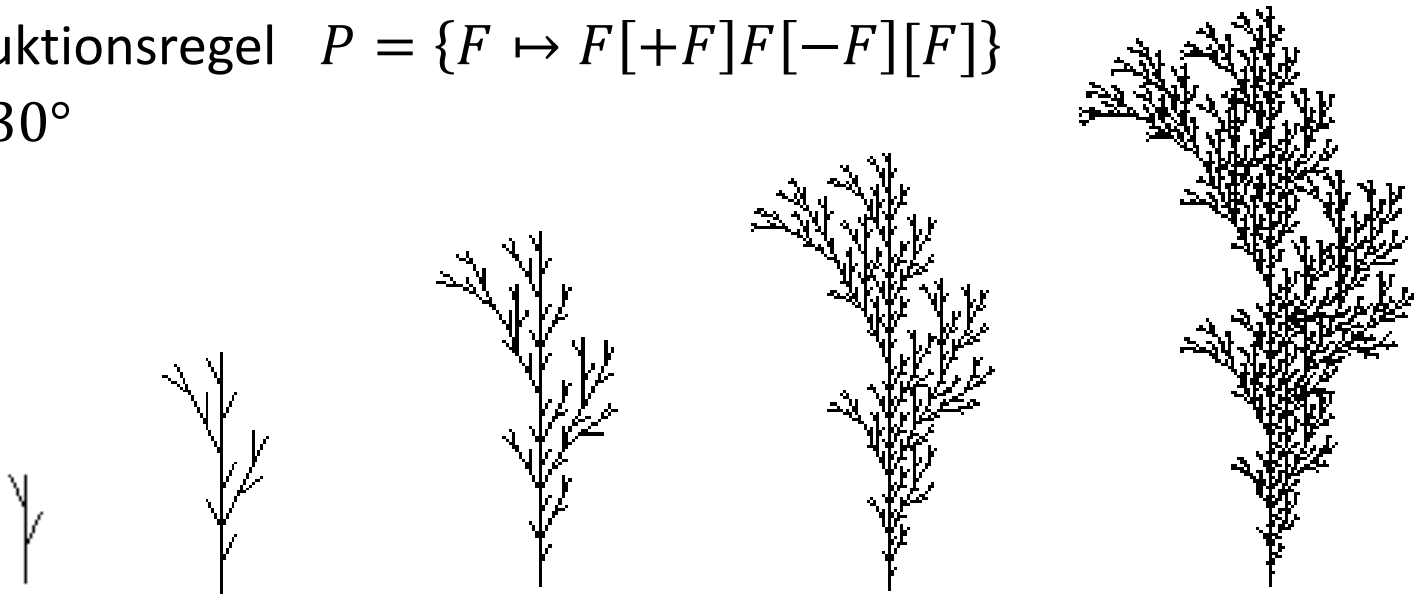
$n = 3$

L-Systeme mit Verzweigungen

- ▶ um Verzweigungen darzustellen wird das Alphabet um zwei Symbole erweitert: „[“ und „]“
 - ▶ „[“ push: sichert den aktuellen Zustand (x, y, α) auf einem Stack
 - ▶ „]“ pop: holt den letzten gesicherten Zustand vom Stack (dabei wird keine Linie gezeichnet)

▶ Beispiel:

- ▶ Alphabet $V = \{F, +, -, [,]\}$
- ▶ Startsymbol $S = F$
- ▶ Produktionsregel $P = \{F \mapsto F[+F]F[-F][F]\}$
- ▶ $\alpha = 30^\circ$



Erweiterung auf 3D

- ▶ aktuelle Orientierung repräsentiert durch 3 Vektoren:
Heading **H**, Left **L**, Up **U**
- ▶ 3 Rotationsmatrizen $R_{\mathbf{H}}$, $R_{\mathbf{L}}$, $R_{\mathbf{U}}$ für Drehung um den Winkel δ um die jeweilige Achse
- ▶ Symbole zur Kontrolle der Orientierung (nur eine mögliche Konvention)
 - ▶ +, - Links-/Rechtsdrehung über Matrix $R_{\mathbf{U}}(\delta)$
 - ▶ &, ^ Drehung nach oben bzw. unten über Matrix $R_{\mathbf{L}}(\delta)$
 - ▶ \, / Links-/Rechtsdrehung um die eigene Achse über $R_{\mathbf{H}}(\delta)$
 - ▶ | Umkehren mit $R_{\mathbf{U}}(180^\circ)$

Simulation der Evolution von künstlichen Pflanzen

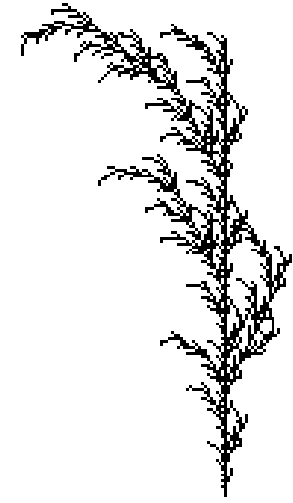
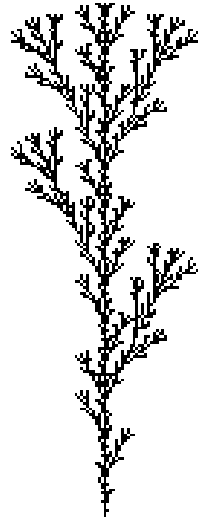
- ▶ „Erbgut“ (Genotyp): einfaches D0L-System
 - ▶ $S = F, P = \{F \mapsto F[-F]F[+F][F]\}$
 - ▶ „Chromosom“, „Erbinformation“: $F \mapsto F[-F]F[+F][F]$
- ▶ „Phänotyp“: 2D verzweigte Strukturen resultierend aus der Ersetzung und grafischen Interpretation des L-Systems
- ▶ „genetische Operatoren“: Rekombination und Mutationsoperatoren, die die syntaktischen Regeln einhalten

Rekombination

▶ Austausch der Bausteine $[-F - F]$ und $[+F]$

Eltern

Nachkommen



$F[-FF]+[FFF]-FF[-F-F]$

$F[+F]+[-F-F]-FF[+F][-F][F]$

$F[-FF]+[FFF]-FF[+F]$

$F[+F]+[-F-F]-FF[-F-F][-F][F]$

Mutation

▶ Mutation des Symbols F bzw. Blocks $[FFF]$



$F[+F][+F-F-F]-F[-F-F]$

Symbol
Mutation



$F[+F][+F-F-F]-F[-F][-F-F]$



$FF[+FF][-F+F][FFF]F$

Block
Mutation

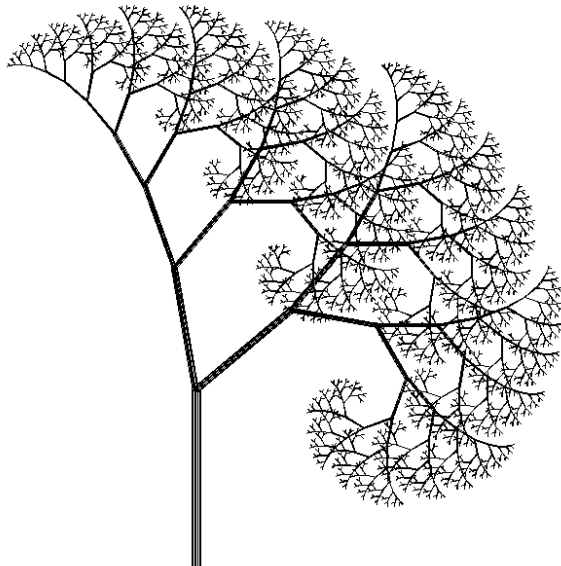


$FF[+FF][-F+F][-F]F$

Parametrisierte L-Systeme

Verwende weitere Symbole um die grafische Interpretation zu steuern

- ▶ Zustand **H**, **L**, **U**, Länge einer Linie s (zu Beginn $s = 1$)
- ▶ Alphabet $V = \{F, A, L\}$
- ▶ Startwort $S = L(1.0)F(1.0)A$
 - ▶ $L(x)$ Änderung der Länge einer Linie mit $s' = s \cdot x$
 - ▶ $F(d)$ zeichnet Linie der Länge $d \cdot s$
- ▶ Produktionsregel $P = \{A \mapsto F(1.0)L(0.7)[R_U(50^\circ)A][R_U(-10^\circ)A]\}$



Stochastische L-Systeme

Verwende weitere Symbole um die grafische Interpretation zu steuern

- ▶ Zustand **H**, **L**, **U**, Länge einer Linie s (zu Beginn $s = 1$)
- ▶ Alphabet $V = \{F, A, L\}$
- ▶ Startwort $S = L(1.0)F(1.0)A$
 - ▶ $L(x)$ Änderung der Länge einer Linie mit $s' = s \cdot x$
 - ▶ $F(d)$ zeichnet Linie der Länge $d \cdot s$
- ▶ Produktionsregel mit einer Zufallszahl $0 \leq \psi < 1$

$$P = \left\{ A \mapsto \begin{cases} FL(0.7)[R_U(50^\circ)A][R_U(-10^\circ)A], & \text{wenn } \psi < 0.5 \\ FL(0.7)[R_U(-50^\circ)A][R_U(10^\circ)A], & \text{wenn } \psi \geq 0.5 \end{cases} \right\}$$

